

COMMITTENTE:



ALTA
SORVEGLIANZA:



GENERAL CONTRACTOR:



**INFRASTRUTTURE FERROVIARIE STRATEGICHE DEFINITE DALLA LEGGE
OBIETTIVO N. 443/01**

LINEA AV/AC TORINO – VENEZIA Tratta VERONA – PADOVA

Lotto funzionale Verona – Bivio Vicenza



PROGETTO ESECUTIVO

SL - SOTTOPASSO



SL23 - SOTTOPASSO CICLOPEDONALE VIA BUGGIA AL KM 14+848.87

GENERALE


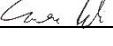


Relazione di calcolo muri ad U rampa Nord

GENERAL CONTRACTOR		DIRETTORE LAVORI		SCALA -
IL PROGETTISTA INTEGRATORE  MALAVENDA Ingegnere di origine degli Ingegneri di Venezia n. 4289 Data: Settembre 2021	Consorzio Iricav Due ing. Paolo CARMONA  Data: Settembre 2021			

COMMESSA	LOTTO	FASE	ENTE	TIPO DOC.	OPERA/DISCIPLINA	PROGR.	REV.	FOGLIO
I N 1 7	1 2	E	I 2	CL	SL 2 3 0 0	0 0 3	A	- - - P - - -

	VISTO CONSORZIO IRICAV DUE	
	Firma	Data
	Luca RANDOLFI 	



Progettazione:

Rev.	Descrizione	Redatto	Data	Verificato	Data	Approvato	Data	IL PROGETTISTA
A	EMISSIONE	CODING 	30/09/21	C. Pinti 	30/09/21	P. Luciani 	30/09/21	

CIG. 8377957CD1	CUP: J41E9100000009	File: IN1712EI2CLSL2300003A.DOC Cod. origine:
-----------------	---------------------	--





Progetto cofinanziato
dalla Unione Europea



<p>GENERAL CONTRACTOR</p> 	<p>ALTA SORVEGLIANZA</p> 			
	<p>Progetto</p> <p>IN17</p>	<p>Lotto</p> <p>12</p>	<p>Codifica</p> <p>EI2CLSL2300003</p>	<p>A</p>

INDICE

1	PREMESSA	4
2	NORMATIVA DI RIFERIMENTO	6
3	UNITÀ DI MISURA	7
4	CARATTERISTICHE DEI MATERIALI	8
4.1	Calcestruzzo	8
4.2	Acciaio per armature ordinarie	8
4.3	Copriferrì	8
4.4	Durabilità e prescrizioni sui materiali	9
5	PARAMETRI SISMICI	10
6	CARATTERIZZAZIONE GEOTECNICA	12
6.1	Rilevati e rinterri	12
6.2	Stratigrafia e parametri geotecnici	12
6.3	Liquefacibilità dei terreni	13
7	CRITERI DI VERIFICA STRUTTURALI	14
7.1	Verifica agli Stati Limite di Esercizio	14
7.1.1	Verifica a fessurazione	14
7.1.2	Verifica delle tensioni in esercizio	15
7.2	Verifica agli Stati Limite Ultimi	16
7.2.1	Sollecitazioni flettenti	16
7.2.2	Sollecitazioni taglianti	16
8	SEZIONE 1	18
8.1	Geometria della struttura	18
8.2	Analisi dei carichi	18
8.2.1	Condizioni di carico	18
8.2.2	Azioni sismiche	21
8.3	Combinazioni di carico	22
8.4	Modellazione strutturale	25
8.4.1	Codice di calcolo	25
8.4.2	Modello di calcolo	25
8.4.3	Interazione terreno-struttura	26
8.5	Analisi delle sollecitazioni	27
8.6	Verifiche di resistenza ultima e di esercizio	31
8.6.1	Soletta inferiore – sezione di mezzzeria	32
8.6.2	Soletta inferiore – sezione di incastro	38
8.6.3	Piedritti – sezione di incastro	42
8.6.4	Piedritti – sezione mezzzeria	48
8.7	Verifiche geotecniche	53

<p>GENERAL CONTRACTOR</p> 	<p>ALTA SORVEGLIANZA</p> 			
	<p>Progetto</p> <p>IN17</p>	<p>Lotto</p> <p>12</p>	<p>Codifica</p> <p>EI2CLSL2300003</p>	<p>A</p>

8.7.1	Verifica della capacità portante	53
8.7.2	Valutazione dei cedimenti	63
8.7.3	Verifica a sollevamento	65
9	SEZIONE 2	67
9.1	Geometria della struttura	67
9.2	Analisi dei carichi	67
9.2.1	Condizioni di carico	67
9.2.2	Azioni sismiche	70
9.3	Combinazioni di carico	71
9.4	Modellazione strutturale	74
9.4.1	Codice di calcolo	74
9.4.2	Modello di calcolo	74
9.4.3	Interazione terreno-struttura	75
9.5	Analisi delle sollecitazioni	76
9.6	Verifiche di resistenza ultima e di esercizio	80
9.6.1	Soletta inferiore – sezione di mezzeria	81
9.6.2	Soletta inferiore – sezione di incastro	86
9.6.3	Piedritti – sezione di incastro	92
9.6.4	Piedritti – sezione mezzeria	97
9.7	Verifiche geotecniche	102
9.7.1	Verifica della capacità portante	102
9.7.2	Valutazione dei cedimenti	113
9.7.3	Verifica a sollevamento	115
10	DICHIARAZIONE SECONDO NTC2008 (§ 10.2)	117

GENERAL CONTRACTOR 	ALTA SORVEGLIANZA 			
	Progetto IN17	Lotto 12	Codifica EI2CLSL2300003	A

1 PREMESSA

La presente relazione afferisce ai calcoli e alle verifiche strutturali dei muri ad U di approccio lato rampa Nord al nuovo sottopasso ferroviario ciclopedonale di via Buggia denominato 'SL23', ubicato al km 14+848.87, nell'ambito della redazione dei documenti tecnici relativi alla progettazione esecutiva della Linea AV/AC Verona - Padova, Sub tratta Verona – bivio Vicenza, 1° Sub Lotto Montebello Vicentino - Vicenza.

L'opera in esame consente la connessione al nuovo sottopasso rispetto all'insieme linea ferroviaria storica esistente e linea AV/AC.

L'opera di imbocco oggetto della presente relazione è caratterizzata da due sezioni tipologiche a U in cls gettato in opera, di seguito descritte:

- **Sezione 1:** il muro ad U è costituito da una struttura scatolare realizzata in conglomerato cementizio gettato in opera, di larghezza interna pari a 2.70 m ed altezza dei piedritti pari a 3.70 m, con piedritti di spessore 0.50 m e soletta di fondazione di spessore 0.70 m. La lunghezza del concio di calcolo è pari a 11.00 m;
- **Sezione 2:** il muro ad U è costituito da una struttura scatolare realizzata in conglomerato cementizio gettato in opera, di larghezza interna pari a 2.70 m ed altezza dei piedritti variabile fra 2.40 m e 3.10 m, con piedritti di spessore 0.50 m e soletta di fondazione di spessore 0.60 m. La lunghezza del concio di calcolo è pari a 11.00 m;

Si riportano le sezioni di calcolo:

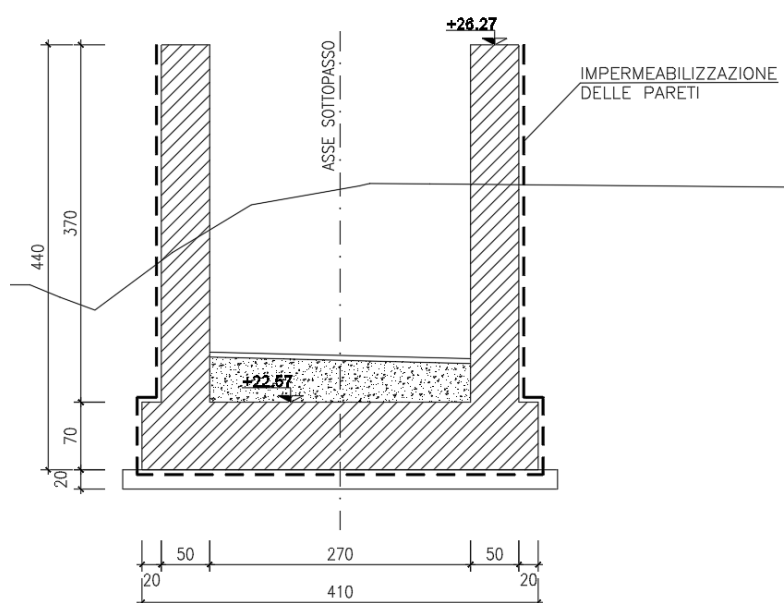




Figura 1.1: Sezione di calcolo 1 muri di imbocco SL23

<p>GENERAL CONTRACTOR</p> 	<p>ALTA SORVEGLIANZA</p> 			
	<p>Progetto IN17</p>	<p>Lotto 12</p>	<p>Codifica E12CLSL2300003</p>	<p>A</p>

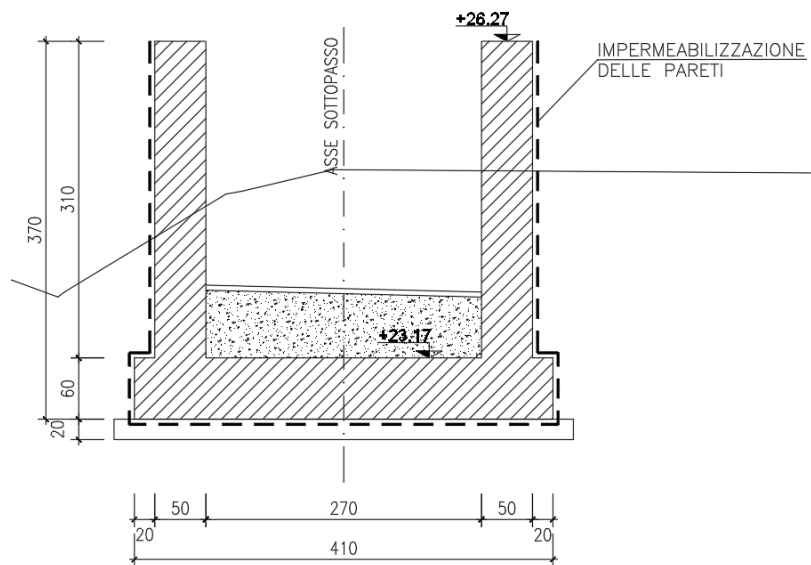


Figura 1.2: Sezione di calcolo 2 muri di imbocco SL23

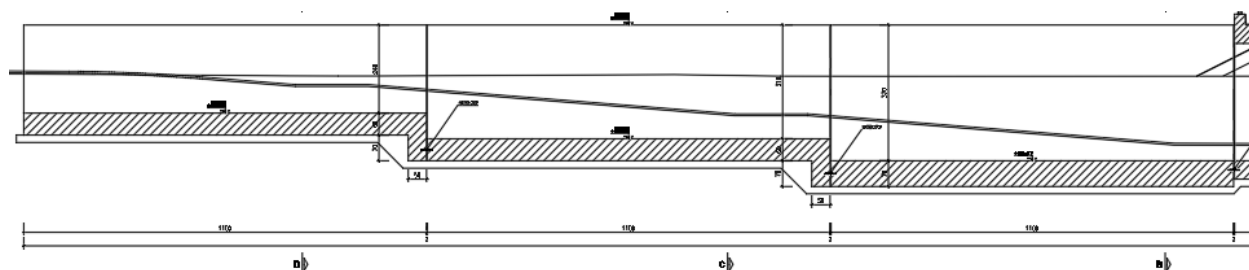




Figura 1.3: Profilo longitudinale muri di imbocco SL23

Le strutture sono state progettate coerentemente con quanto previsto dalla normativa "Norme Tecniche per le Costruzioni"- DM 14.1.2008 e Circolare n .617 "Istruzioni per l'applicazione delle Nuove Norme Tecniche per le Costruzioni".

GENERAL CONTRACTOR 	ALTA SORVEGLIANZA 			
	Progetto IN17	Lotto 12	Codifica EI2CLSL2300003	A



2 NORMATIVA DI RIFERIMENTO

L'analisi dell'opera e le verifiche degli elementi strutturali sono state condotte in accordo con le disposizioni legislative in elenco e in particolare con le seguenti norme e circolari:

- Decreto Ministeriale del 14 gennaio 2008: "Norme Tecniche per le Costruzioni".
- Circolare M.LL.PP. n. 617 del 2 febbraio 2009: Istruzioni per l'applicazione delle "Nuove norme tecniche per le costruzioni di cui al Decreto Ministeriale del 14/01/2008".

Si è tenuto inoltre conto dei seguenti documenti:



- UNI EN 1990 – Settembre 2006: Eurocodice: Criteri generali di progettazione strutturale.
- UNI EN 1991-1-1 – Agosto 2004: Eurocodice 1 – Parte 1-1: Azioni in generale – Pesì per unità di volume, pesì propri e sovraccarichi variabili.
- UNI EN 1991-1-4 – Luglio 2005: Eurocodice 1. Azioni sulle strutture. Parte 1-4: Azioni in generale - Azioni del vento.
- UNI EN 1992-1-1 – Novembre 2005: Eurocodice 2 – Progettazione delle strutture di calcestruzzo - Parte 1-1: Regole generali e regole per gli edifici.
- UNI EN 1992-2 – Gennaio 2006: Eurocodice 2. Progettazione delle strutture di calcestruzzo. Parte 2: Ponti di calcestruzzo – Progettazione e dettagli costruttivi.
- UNI-EN 1997-1 – Febbraio 2005: Eurocodice 7. Progettazione geotecnica. Parte 1: Regole generali.
- UNI-EN 1998-1 – Marzo 2005: Eurocodice 8: Progettazione delle strutture per la resistenza sismica. Parte 1: Regole generali, azioni sismiche e regole per gli edifici.
- UNI-EN 1998-5 – Gennaio 2005: Eurocodice 8: Progettazione delle strutture per la resistenza sismica. Parte 5: Fondazioni, strutture di contenimento ed aspetti geotecnici.
- Legge 5-11-1971 n° 1086: "Norme per la disciplina delle opere di conglomerato cementizio armato, normale e precompresso, ed a struttura metallica".
- Legge. 2 febbraio 1974, n. 64.: "Provvedimenti per le costruzioni con particolari prescrizioni per le zone sismiche".
- UNI EN 206-1-2016: Calcestruzzo. "Specificazione, prestazione, produzione e conformità".
- UNI 11104:2016 "Calcestruzzo - Specificazione, prestazione, produzione e conformità - Specificazioni complementari per l'applicazione della EN 206".
- RFI DTC SI MA IFS 001 B – Dicembre 2017: Manuale di progettazione delle opere civili.

GENERAL CONTRACTOR 	ALTA SORVEGLIANZA 			
	Progetto IN17	Lotto 12	Codifica EI2CLSL2300003	A

3 UNITÀ DI MISURA

Le unità di misura usate nella presente relazione sono:

- lunghezze [m]
- forze [kN]
- momenti [kNm]
- tensioni [MPa]

GENERAL CONTRACTOR 	ALTA SORVEGLIANZA 			
	Progetto IN17	Lotto 12	Codifica EI2CLSL2300003	A

4 CARATTERISTICHE DEI MATERIALI

4.1 CALCESTRUZZO

Per la realizzazione del muro ad U si prevede l'utilizzo di calcestruzzo avente classe di resistenza 32/40 ($R_{ck} \geq 40.00 \text{ N/mm}^2$) che presenta le seguenti caratteristiche:

Resistenza caratteristica a compressione (cilindrica)

$$f_{ck} = 0.83 \times R_{ck} = 33.20 \quad \text{N/mm}^2$$

Resistenza media a compressione

$$f_{cm} = f_{ck} + 8 = 41.20 \quad \text{N/mm}^2$$

Modulo elastico

$$E_{cm} = 22000 \times (f_{cm}/10)^{0.3} = 33643 \quad \text{N/mm}^2$$

Resistenza di calcolo a compressione

$$f_{cd} = a_{cc} \times f_{ck} / \gamma_c = 0.85 \times f_{ck} / 1.5 = 18.81 \quad \text{N/mm}^2$$

Resistenza a trazione media

$$f_{ctm} = 0.30 \times f_{ck}^{2/3} = 3.10 \quad \text{N/mm}^2$$

Resistenza a trazione

$$f_{ctk} = 0.7 \times f_{ctm} = 2.17 \quad \text{N/mm}^2$$

Resistenza a trazione di calcolo

$$f_{ctd} = f_{ctk} / \gamma_c = 1.45 \quad \text{N/mm}^2$$

Resistenza a compressione (comb. Rara)

$$\sigma_c = 0.55 \times f_{ck} = 18.26 \quad \text{N/mm}^2$$

Resistenza a compressione (comb. Quasi permanente)

$$\sigma_c = 0.40 \times f_{ck} = 13.28 \quad \text{N/mm}^2$$

4.2 ACCIAIO PER ARMATURE ORDINARIE

Classe acciaio per armature ordinarie

B450C

Tensione di snervamento caratteristica

$$f_{yk} \geq 450 \text{ MPa}$$

Tensione caratteristica di rottura

$$f_t \geq 540 \text{ MPa}$$

Modulo di elasticità



$$E_s = 210000 \text{ MPa}$$

4.3 COPRIFERRI

Si riportano di seguito i copriferri nominali per le strutture in calcestruzzo armato:

Strutture di elevazione 5.0 cm

Strutture di fondazione 5.0 cm



GENERAL CONTRACTOR 	ALTA SORVEGLIANZA 			
	Progetto IN17	Lotto 12	Codifica E12CLSL2300003	A

4.4 DURABILITÀ E PRESCRIZIONI SUI MATERIALI

Per garantire la durabilità delle strutture in calcestruzzo armato ordinario, esposte all'azione dell'ambiente, si devono adottare i provvedimenti atti a limitare gli effetti di degrado indotti dall'attacco chimico, fisico e derivante dalla corrosione delle armature e dai cicli di gelo e disgelo.

Si adotta quanto segue:

Fondazione - elevazione Classe di esposizione XC4

GENERAL CONTRACTOR 	ALTA SORVEGLIANZA 			
	Progetto IN17	Lotto 12	Codifica EI2CLSL2300003	A

5 PARAMETRI SISMICI

Per la definizione dell'azione sismica occorre definire il periodo di riferimento P_{VR} in funzione dello stato limite considerato. La vita nominale (V_N) dell'opera è stata assunta pari a 100 anni. La classe d'uso assunta è la III. Il periodo di riferimento (V_R) per l'azione sismica, data la vita nominale e la classe d'uso, vale:

$$V_R = V_N \times C_u = 100 \times 1.5 = 150 \text{ anni.}$$

Il valore di probabilità di superamento del periodo di riferimento P_{VR} , cui riferirsi per individuare l'azione sismica agente, è:

$$P_{VR} (SLV) = 10\%.$$

Il periodo di ritorno dell'azione sismica T_R espresso in anni vale:

$$T_R (SLV) = - \frac{V_r}{\ln(1 - P_{VR})} = 1424 \text{ anni}$$

Dato il valore del periodo di ritorno suddetto, tramite le tabelle riportate nell'Allegato B della norma o tramite la mappatura messa a disposizione in rete dall'Istituto Nazionale di Geofisica e Vulcanologia (INGV), è possibile definire i valori di a_g , F_0 , T^*c :

a_g → accelerazione orizzontale massima del terreno su suolo di categoria A, espressa come frazione dell'accelerazione di gravità;

F_0 → valore massimo del fattore di amplificazione dello spettro in accelerazione orizzontale;

T^*c → periodo di inizio del tratto a velocità costante dello spettro in accelerazione orizzontale;

S → coefficiente che comprende l'effetto dell'amplificazione stratigrafica (S_s) e dell'amplificazione topografica (S_t);

Il calcolo viene eseguito con il metodo pseudostatico (N.T.C. par. 7.11.6). In queste condizioni l'azione sismica è rappresentata da una forza statica equivalente pari al prodotto delle forze di gravità per un opportuno coefficiente sismico.

Le spinte delle terre, considerando lo scatolare una struttura rigida e priva di spostamenti (NTC par. 7.11.6.2.1 e EC8-5 par.7.3.2.1), sono calcolate in regime di spinta a riposo, condizione che comporta il calcolo delle spinte in condizione sismica con l'incremento dinamico di spinta del terreno calcolato secondo la formula di Wood:

$$\Delta P_d = S a_g / g \gamma h_{tot}^2$$

L'azione sismica è rappresentata da un insieme di forze statiche orizzontali e verticali, date dal prodotto delle forze di gravità per le accelerazioni sismiche massime attese al suolo, considerando la componente verticale agente verso l'alto o verso il basso, in modo da produrre gli effetti più sfavorevoli.



I valori delle caratteristiche sismiche per lo SLV sono i seguenti:

Latitudine: 45.243965

Longitudine: 11.121540

$$a_g = 0.218 g;$$

$$F_0 = 2.435;$$

GENERAL CONTRACTOR 	ALTA SORVEGLIANZA 			
	Progetto IN17	Lotto 12	Codifica EI2CLSL2300003	A

$$T_c^* = 0.285 \text{ s.}$$

Il sottosuolo su cui insiste l'opera ricade in categoria sismica "C" e categoria topografica "T1". I coefficienti di amplificazione stratigrafica e topografica risultano quindi:

$$S_S = 1.382;$$

$$S_T = 1.0.$$

Risulta quindi:

$$a_{\max} = 2.955 \text{ m/s}^2;$$

$$k_h = 0.218;$$



$$k_v = \pm 0.109$$

con:

$$a_{\max} = S \cdot a_g = S_S \cdot S_T \cdot a_g$$

$$k_h = \beta_m \cdot \frac{a_{\max}}{g}$$

$$k_v = \pm 0,5 \cdot k_h$$

GENERAL CONTRACTOR 		ALTA SORVEGLIANZA 			
		Progetto	Lotto	Codifica	
		IN17	12	EI2CLSL2300003	A

6 CARATTERIZZAZIONE GEOTECNICA

6.1 RILEVATI E RINTERRI

Sono riassunte nel prospetto riportato di seguito le caratteristiche del terreno dei rilevati ferroviari esistenti e di nuova progettazione (con γ pari al peso specifico del terreno; γ_{sat} pari al peso specifico saturo del terreno; c' pari alla coesione; ϕ' pari all'angolo di attrito; K_0 coefficiente di spinta a riposo):

Parametri del rilevato ferroviario				
γ	γ_{sat}	c'	ϕ'	k_0
(kN/m ³)	(kN/m ³)	(kPa)	(°)	(-)
20.00	20.00	0.0	38.0	0.384

6.2 STRATIGRAFIA E PARAMETRI GEOTECNICI

Si riportano di seguito le caratteristiche geotecniche relative al terreno di fondazione della tratta in cui ricade il muro ad U in esame, desunte dagli esiti delle indagini disponibili. Le formazioni indicate nei prospetti di seguito fanno riferimento alle unità geotecniche descritte nel seguente elenco:

- Unità 2 – Limi argillosi (da compatti a molto compatti);
- Unità 3b – Argilla limosa/Limo argilloso debolmente sabbioso;
- Unità 4 – Sabbie da limose a debolmente limose;
- Unità 6 – Ghiaie con sabbia.



La quota rispetto alla quale è individuata la stratigrafia riportata a seguire, corrispondente a 24.75 m s.l.m. , è assunta coincidente col p.c. locale dell'opera in esame intercettato sulla linea.

Per quanto riguarda la falda di progetto, questa è assunta alla quota di 23.01 m s.l.m. , ossia a circa 1.75 m dalla quota del p.c.locale. Per ulteriori dettagli circa la posizione della falda di progetto si faccia riferimento alla relazione geotecnica della WBS SL23 in oggetto.

Tabella 1 Stratigrafia e valori caratteristici dei parametri geotecnici di calcolo

Strato	Formazione	spessore strato	z_{base} strato	γ	ϕ'_k	c'_k	c_{uk}	E'	Note
		(m)	(m da p.c.)	(kN/m ³)	(°)	(kPa)	(kPa)	(kN/m ²)	
1	UG3b	5.5	5.5	17.5	26	0	25-50	4000 - 15000	
2	UG6	5.0	10.5	19	39	0	-	80000	
3	UG4	3.0	13.5	19	37	0	-	100000	
4	UG2	2.5	16.0	19	26	0-10	60-80	20000 - 40000	
5	UG4	14.0	30.0	19	37	0	-	100000	

z_w Profondità della falda dal p.c. locale 1.75 m

GENERAL CONTRACTOR 	ALTA SORVEGLIANZA 			
	Progetto IN17	Lotto 12	Codifica E12CLSL2300003	A

LEGENDA

γ = peso di volume naturale;

ϕ_k' = valore caratteristico dell'angolo di attrito;



c_k' = valore caratteristico della resistenza al taglio in condizioni drenate;

c_{uk} = valore caratteristico della coesione non drenata;

E' = modulo elastico del terreno.

6.3 LIQUEFACIBILITA' DEI TERRENI

Non sono stati rilevati livelli di terreni potenzialmente liquefacibili in corrispondenza dell'opera in esame; per maggiori dettagli si rimanda alla relazione geotecnica relativa alla WBS in esame.

GENERAL CONTRACTOR 		ALTA SORVEGLIANZA 		
	Progetto	Lotto	Codifica	
	IN17	12	EI2CLSL2300003	A

7 CRITERI DI VERIFICA STRUTTURALI

Le verifiche di sicurezza strutturali sono state effettuate sulla base dei criteri definiti nelle vigenti norme tecniche - "Norme tecniche per le costruzioni"- DM 14.1.2008 -, tenendo inoltre conto delle integrazioni riportate nel "Manuale di progettazione delle opere civili".

In particolare vengono effettuate le verifiche agli stati limite di servizio, riguardanti gli stati tensionale e di fessurazione, ed allo stato limite ultimo. Le combinazioni di carico considerate ai fini delle verifiche sono quelle indicate nei precedenti paragrafi.

Si espongono di seguito i criteri di verifica adottati per le verifiche degli elementi strutturali in c.a..

7.1 VERIFICA AGLI STATI LIMITE DI ESERCIZIO

7.1.1 Verifica a fessurazione

Le verifiche a fessurazione sono eseguite adottando i criteri definiti nel paragrafo 4.1.2.2.4.5 del DM 14.1.2008, tenendo inoltre conto delle ulteriori prescrizioni riportate nel "Manuale di progettazione delle opere civili RFI".

Con riferimento alle classi di esposizione delle varie parti della struttura (si veda il paragrafo relativo alle caratteristiche dei materiali impiegati), alle corrispondenti condizioni ambientali ed alla sensibilità delle armature alla corrosione (armature sensibili per gli acciai da precompresso; poco sensibili per gli acciai ordinari), si individua lo stato limite di fessurazione per assicurare la funzionalità e la durata delle strutture, in accordo con il DM 14.1.2008:



Le verifiche a fessurazione sono eseguite adottando i criteri definiti nel paragrafo 4.1.2.2.4.5 del DM 14.1.2008.

Con riferimento alle classi di esposizione delle varie parti della struttura (si veda il paragrafo relativo alle caratteristiche dei materiali impiegati), alle corrispondenti condizioni ambientali ed alla sensibilità delle armature alla corrosione (armature sensibili per gli acciai da precompresso; poco sensibili per gli acciai ordinari), si individua lo stato limite di fessurazione per assicurare la funzionalità e la durata delle strutture, in accordo con il DM 14.1.2008:

Gruppi di esigenze	Condizioni ambientali	Combinazione di azioni	Armatura			
			Sensibile		Poco sensibile	
			Stato limite	w_d	Stato limite	w_d
a	Ordinarie	frequente	ap. fessure	$\leq w_2$	ap. fessure	$\leq w_3$
		quasi permanente	ap. fessure	$\leq w_1$	ap. fessure	$\leq w_2$
b	Aggressive	frequente	ap. fessure	$\leq w_1$	ap. fessure	$\leq w_2$
		quasi permanente	decompressione	-	ap. fessure	$\leq w_1$
c	Molto aggressive	frequente	formazione fessure	-	ap. fessure	$\leq w_1$
		quasi permanente	decompressione	-	ap. fessure	$\leq w_1$

Figura 7.1: Criteri di scelta dello stato limite di fessurazione - Tabella 4.1.IV del DM 14.1.2008

Nella Tabella sopra riportata, $w_1 = 0.2$ mm, $w_2 = 0.3$ mm; $w_3 = 0.4$ mm.

GENERAL CONTRACTOR 	ALTA SORVEGLIANZA 			
	Progetto IN17	Lotto 12	Codifica EI2CLSL2300003	A

Più restrittivi risultano i limiti di apertura delle fessure riportati nel “Manuale di progettazione delle opere civili”. L’apertura convenzionale delle fessure, calcolata con la combinazione caratteristica (rara) per gli SLE, deve risultare:

a) $\delta_f \leq w_1$ per strutture in condizioni ambientali aggressive e molto aggressive, così come identificate nel par. 4.1.2.2.4.3 del DM 14.1.2008, per tutte le strutture a permanente contatto con il terreno e per le zone non ispezionabili di tutte le strutture;

b) $\delta_f \leq w_2$ per strutture in condizioni ambientali ordinarie secondo il citato paragrafo del DM 14.1.2008.

Si assume pertanto per tutti gli elementi strutturali analizzati nel presente documento:

- Stato limite di fessurazione: $w_d \leq w_1 = 0.2$ mm - combinazione di carico rara

In accordo con la normativa seguita, il valore di calcolo di apertura delle fessure w_d è dato da:

$$w_d = 1,7 w_m$$

dove w_m rappresenta l’ampiezza media delle fessure calcolata come prodotto della deformazione media delle barre d’armatura ε_{sm} per la distanza media tra le fessure Δ_{sm} :

$$w_m = \varepsilon_{sm} \Delta_{sm}$$

Per il calcolo di ε_{sm} e Δ_{sm} vanno utilizzati i criteri consolidati riportati nella letteratura tecnica.

7.1.2 Verifica delle tensioni in esercizio

Valutate le azioni interne nelle varie parti della struttura, dovute alle combinazioni caratteristica e quasi permanente delle azioni, si calcolano le massime tensioni sia nel calcestruzzo sia nelle armature; si verifica che tali tensioni siano inferiori ai massimi valori consentiti, di seguito riportati.

Le prescrizioni riportate di seguito fanno riferimento al par. 2.5.1.8.3.2.1 del “Manuale di progettazione delle opere civili”.

La massima tensione di compressione del calcestruzzo σ_c , deve rispettare la limitazione seguente:



$$\sigma_c < 0,55 f_{ck} \text{ per combinazione caratteristica (rara)}$$

$$\sigma_c < 0,40 f_{ck} \text{ per combinazione quasi permanente.}$$

Per l’acciaio ordinario, la tensione massima σ_s per effetto delle azioni dovute alla combinazione caratteristica deve rispettare la limitazione seguente:

$$\sigma_s < 0,75 f_{yk}$$

dove f_{yk} per armatura ordinaria è la tensione caratteristica di snervamento dell’acciaio.

GENERAL CONTRACTOR 	ALTA SORVEGLIANZA 			
	Progetto IN17	Lotto 12	Codifica EI2CLSL2300003	A

7.2 VERIFICA AGLI STATI LIMITE ULTIMI

7.2.1 Sollecitazioni flettenti

La verifica di resistenza (SLU) è stata condotta attraverso il calcolo dei domini di interazione N-M, ovvero il luogo dei punti rappresentativi di sollecitazioni che portano in crisi la sezione di verifica secondo i criteri di resistenza da normativa.

Nel calcolo dei domini sono state mantenute le consuete ipotesi, tra cui:

- conservazione delle sezioni piane;
- legame costitutivo del calcestruzzo parabola-rettangolo non reagente a trazione, con plateau ad una deformazione pari a 0.002 e a rottura pari a 0.0035 ($\sigma_{max} = 0.85 \times 0.83 \times R_{ck} / 1.5$);
- legame costitutivo dell'armatura d'acciaio elastico-perfettamente plastico con deformazione limite di rottura a 0.01 ($\sigma_{max} = f_{yk} / 1.15$)

7.2.2 Sollecitazioni taglianti

La resistenza a taglio V_{Rd} di elementi sprovvisti di specifica armatura è stata calcolata sulla base della resistenza a trazione del calcestruzzo.

Con riferimento all'elemento fessurato da momento flettente, la resistenza al taglio si valuta con:

$$V_{Rd} = \left\{ 0,18 \cdot k \cdot (100 \cdot \rho_1 \cdot f_{ck})^{1/3} / \gamma_c + 0,15 \cdot \sigma_{cp} \right\} \cdot b_w \cdot d \geq (v_{min} + 0,15 \cdot \sigma_{cp}) \cdot b_w \cdot d$$

con:

$$k = 1 + (200/d)^{1/2} \leq 2$$

$$v_{min} = 0,035 k^{3/2} f_{ck}^{1/2}$$

e dove:

d è l'altezza utile della sezione (in mm);



$\rho_1 = A_{sl} / (b_w \times d)$ è il rapporto geometrico di armatura longitudinale ($\leq 0,02$);

$\sigma_{cp} = N_{Ed} / A_c$ è la tensione media di compressione nella sezione ($\leq 0,2 f_{cd}$);

b_w è la larghezza minima della sezione (in mm).

La resistenza a taglio V_{Rd} di elementi strutturali dotati di specifica armatura a taglio deve essere valutata sulla base di una adeguata schematizzazione a traliccio. Gli elementi resistenti dell'ideale traliccio sono: le armature trasversali, le armature longitudinali, il corrente compresso di calcestruzzo e i puntoni d'anima inclinati. L'inclinazione θ dei puntoni di calcestruzzo rispetto all'asse della trave deve rispettare i limiti seguenti:

$$1 \leq ctg \theta \leq 2.5$$

GENERAL CONTRACTOR 	ALTA SORVEGLIANZA 			
	Progetto IN17	Lotto 12	Codifica EI2CLSL2300003	A

La verifica di resistenza (SLU) si pone con:

$$V_{Rd} \geq V_{Ed}$$

dove V_{Ed} è il valore di calcolo dello sforzo di taglio agente.

Con riferimento all'armatura trasversale, la resistenza di calcolo a "taglio trazione" è stata calcolata con:

$$V_{Rsd} = 0,9 \cdot d \cdot \frac{A_{sw}}{s} \cdot f_{yd} \cdot (\operatorname{ctg}\alpha + \operatorname{ctg}\theta) \cdot \sin\alpha$$

Con riferimento al calcestruzzo d'anima, la resistenza di calcolo a "taglio compressione" è stata calcolata con:



$$V_{Rcd} = 0,9 \cdot d \cdot b_w \cdot \alpha_c \cdot f'_{cd} \cdot (\operatorname{ctg}\alpha + \operatorname{ctg}\theta) / (1 + \operatorname{ctg}^2\theta)$$

La resistenza al taglio della trave è la minore delle due sopra definite:

$$V_{Rd} = \min (V_{Rsd}, V_{Rcd})$$

In cui:

- d è l'altezza utile della sezione;
- b_w è la larghezza minima della sezione;
- s_{cp} è la tensione media di compressione della sezione;
- A_{sw} è l'area dell'armatura trasversale;
- S è interasse tra due armature trasversali consecutive;
- θ è l'angolo di inclinazione dell'armatura trasversale rispetto all'asse della trave;
- f'_{cd} è la resistenza a compressione ridotta del calcestruzzo d'anima ($f'_{cd}=0.5f_{cd}$);
- α è un coefficiente maggiorativo, pari ad 1 per membrature non compresse.

GENERAL CONTRACTOR 	ALTA SORVEGLIANZA 			
	Progetto IN17	Lotto 12	Codifica EI2CLSL2300003	A

8 SEZIONE 1

8.1 GEOMETRIA DELLA STRUTTURA

Nel seguito sarà esaminata una striscia della sezione 1 muro ad U avente lunghezza 1.00 m. Si riportano di seguito le dimensioni geometriche della sezione in retto.

Larghezza totale del muro ad U	$L_{tot} =$	3.70 m
Larghezza utile del muro ad U	$L_{int} =$	2.70 m
Larghezza mensola di fondazione sinistra	$L_{msx} =$	0.20 m
Larghezza mensola di fondazione destra	$L_{mdx} =$	0.20 m
Spessore piedritti	$S_p =$	0.50 m
Spessore ritto centrale	$S_{pc} =$	0.00 m
Spessore della soletta di fondazione	$S_f =$	0.70 m
Altezza libera del muro ad U	$H_{int} =$	3.70 m
Altezza totale del muro ad U	$H_{tot} =$	4.40 m
Quota falda da intradosso fondazione	$H_w =$	1.14 m
Larghezza striscia di calcolo	$b =$	1.00 m

8.2 ANALISI DEI CARICHI

Nel seguente paragrafo si descrivono le condizioni di carico elementari assunte per l'analisi delle sollecitazioni e per le verifiche della struttura in esame. Tali condizioni di carico elementari saranno opportunamente combinate secondo quanto previsto dalla normativa vigente.

Per il calcestruzzo armato si assume il seguente peso specifico:

calcestruzzo armato: $\gamma_{c.a.} = 25 \text{ kN/m}^3$.

8.2.1 Condizioni di carico



8.2.1.1 Peso proprio strutturale (PP)

Il peso proprio della soletta e dei piedritti risulta:

Peso soletta di fondazione $P_{si} = 25.00 \times 0.70 = 17.50 \text{ kN/m}$

Peso piedritti $P_p = 25.00 \times 0.50 = 12.50 \text{ kN/m}$

Peso setto centrale $P_{sc} = 25.00 \times 0.00 = 0.00 \text{ kN/m}$

<p>GENERAL CONTRACTOR</p> 	<p>ALTA SORVEGLIANZA</p> 			
	<p>Progetto</p> <p>IN17</p>	<p>Lotto</p> <p>12</p>	<p>Codifica</p> <p>EI2CLSL2300003</p>	<p>A</p>

8.2.1.2 Carichi permanenti portati (PERM)

Sulla soletta di fondazione sono stati considerati i carichi permanenti relativi alla sovrastruttura ciclopedonale:

Spessore medio sovrastruttura ciclopedonale	0.48	m
Peso specifico sovrastruttura ciclopedonale	18.0	kN/m ³
Peso sovrastruttura ciclopedonale	8.64	kN/m

8.2.1.3 Spinta del terreno (SPTSX e SPTDX)

La struttura è stata analizzata nella condizione di spinta a riposo.

$$K_0 = 0.384$$

La pressione del terreno è stata calcolata come:

$$P = (P_b + h_{\text{variabile}} * \gamma_{\text{terreno_piedritto}}) * K_0$$

al di sopra della falda

$$P = [P_b + h_{\text{variabile}} * (\gamma_{\text{terreno_piedritto}} - \gamma_w)] * K_0$$

al di sotto della falda

per cui risulta quanto segue.

Pressione in asse soletta inferiore $P_1 = 26.39$ kN/m

Pressione intradosso soletta inferiore $P_2 = 27.74$ kN/m

Inoltre sono stati considerati, come carichi concentrati nei nodi della fondazione, i contributi delle spinte del terreno esercitate su metà spessore delle soletta di fondazione.

Spinta semispessore soletta di fondazione $P_{H.t.fond} = 9.47$ kN

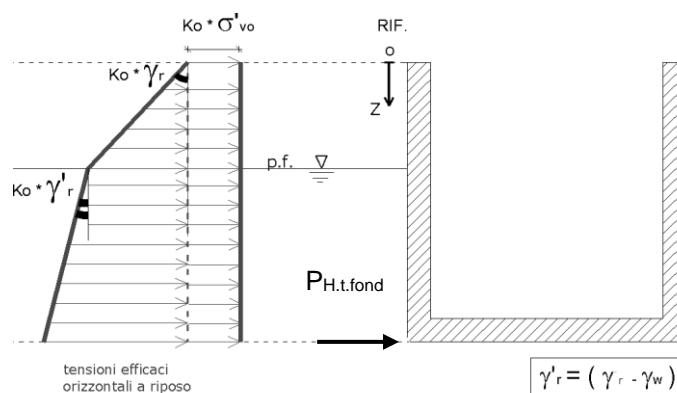




Figura 8.1: SPTSX

8.2.1.4 Azioni della falda (SPTW)

Qualora la falda fosse posizionata al di sopra del piano di posa della fondazione si considera, in aggiunta alla spinta delle terre sopra definita, la spinta idrostatica esercitata dall'acqua sulle pareti

<p>GENERAL CONTRACTOR</p> 	<p>ALTA SORVEGLIANZA</p> 			
	<p>Progetto IN17</p>	<p>Lotto 12</p>	<p>Codifica EI2CLSL2300003</p>	<p>A</p>

verticali, pari a $S_w = \gamma_w \cdot z$, e la sottospinta idraulica diretta verso l'alto sulla soletta inferiore, pari al prodotto del peso specifico dell'acqua, per l'altezza dello scatolare immerso, $P_w = \gamma_w \cdot h_{imm}$.

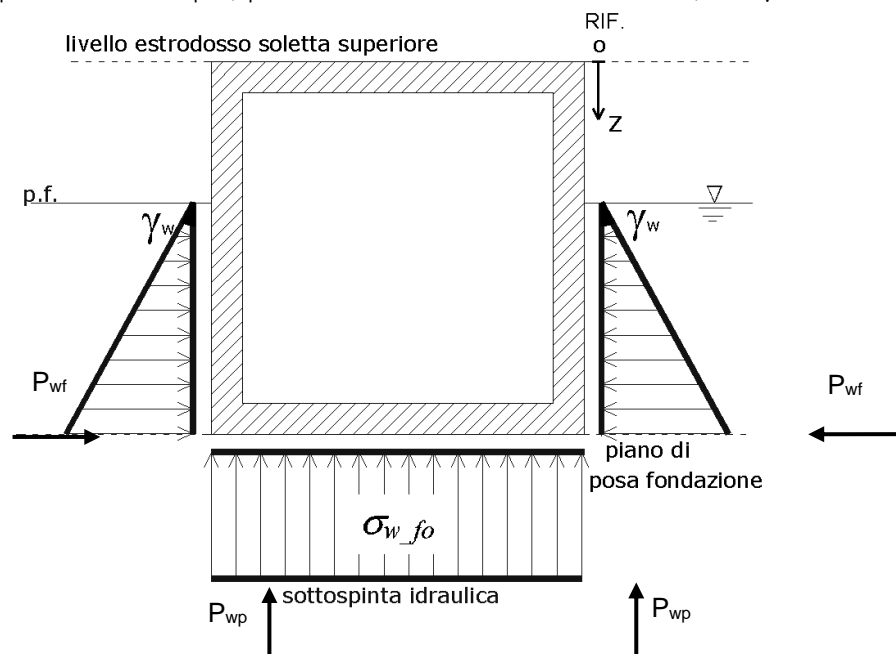


Figura 8.2: SPTW

8.2.1.5 Sovraccarico variabile in condizioni statiche e sismiche (SPACCDX e SPACCSX)

La spinta orizzontale dovuta al sovraccarico variabile è calcolata come

$$P_{qacc} = k_0 \times q$$

con q sovraccarico variabile.

Per le pareti a sostegno delle scarpate dei rilevati, si considera un sovraccarico pari a 10 kN/m^2 , rappresentativo degli eventuali mezzi meccanici adottati nelle operazioni di manutenzione ordinaria e straordinaria che possono transitare sulla scarpata del rilevato.



Nel caso in esame risulta:

$$P_{qacc} = 0.384 \times 10.00 = 3.84 \text{ kN/m}^2$$

Il sovraccarico variabile in condizioni sismiche è assunto nullo.

8.2.1.6 Azioni variabili da traffico (ACC_SOLINF)

Si applica un carico uniformemente distribuito pari a 5 kPa , equivalente allo Schema di Carico 5 del § 5 delle NTC2008 (folla compatta).

GENERAL CONTRACTOR 	ALTA SORVEGLIANZA 			
	Progetto IN17	Lotto 12	Codifica EI2CLSL2300003	A

8.2.2 Azioni sismiche

8.2.2.1 Forze di inerzia:

Per il calcolo dell'azione sismica si è utilizzato il metodo dell'analisi pseudo-statica in cui l'azione sismica è rappresentata da una forza statica equivalente pari al prodotto delle forze di gravità per un opportuno coefficiente sismico k .

Le forze sismiche sono pertanto le seguenti:

$$\text{Forza sismica orizzontale} \quad F_h = k_h \times W$$

$$\text{Forza sismica verticale} \quad F_v = k_v \times W$$

I valori dei coefficienti sismici orizzontale k_h e verticale k_v possono essere valutati mediante le espressioni:

$$k_h = a_{max}/g$$

$$k_v = \pm 0.5 \times k_h$$

Gli effetti dell'azione sismica sono stati valutati tenendo conto delle masse associate ai seguenti carichi gravitazionali:

$$G_1 + G_2 + \psi_{2j} Q_{kj}$$

Si ha:

$$\text{Massa associata al peso proprio piedritti} \quad G_1 = 12.50 \text{ kN/m}$$

$$\text{Massa associata al peso del setto centrale} \quad G_2 = 0.00 \text{ kN/m}$$

8.2.2.2 Forze sismiche orizzontali (SISMA_H)

Forza orizzontale sui piedritti (carico orizzontale uniformemente distribuito applicato ai piedritti):

$$F_h = k_h G_p = 2.73 \text{ kN/m}$$

8.2.2.3 Spinta delle terre in fase sismica (SPSDX e SPSSX)



Le spinte delle terre sono state determinate con la teoria di Wood, secondo la quale la risultante dell'incremento di spinta per effetto del sisma su una parete di altezza H viene determinata con la seguente espressione:

$$\Delta S_E = (a_{max}/g) \cdot \gamma \cdot H^2 = 84.4 \text{ kN/m}$$

con risultante applicata ad un'altezza pari ad $H/2$.

Sisma proveniente da sinistra

Sisma proveniente da destra

<p>GENERAL CONTRACTOR</p> 	<p>ALTA SORVEGLIANZA</p> 			
	<p>Progetto IN17</p>	<p>Lotto 12</p>	<p>Codifica EI2CLSL2300003</p>	<p>A</p>

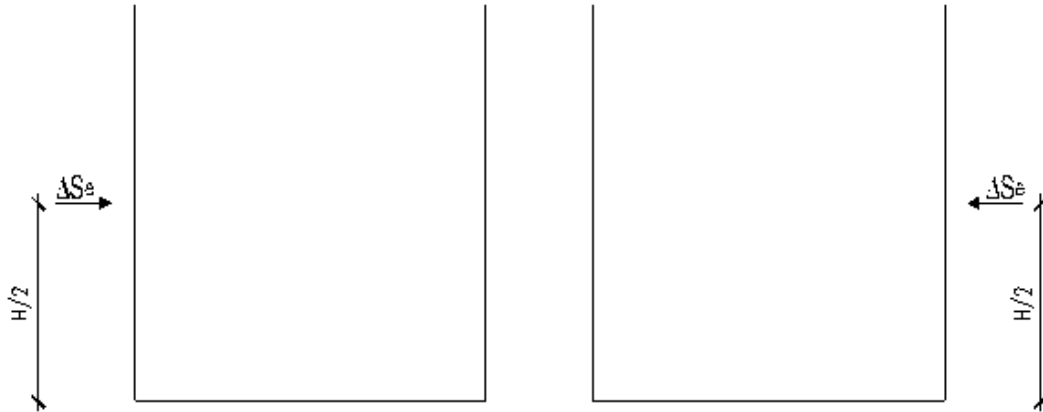


Figura 8.3: Spinta sismica del terreno secondo la teoria di Wood

Nel modello di calcolo si è applicato il valore della forza sismica per unità di superficie agente su un piedritto, pari a:

$$\Delta_{SE} = \Delta_{SE} / H = 19.2 \text{ kN/m}^2$$

8.3 COMBINAZIONI DI CARICO

Ai fini delle verifiche degli stati limite si è fatto riferimento alle seguenti combinazioni delle azioni.

Combinazione fondamentale, generalmente impiegata per gli stati limite ultimi (SLU):

$$\gamma_{G1} \cdot G_1 + \gamma_{G2} \cdot G_2 + \gamma_P \cdot P + \gamma_{Q1} \cdot Q_{k1} + \gamma_{Q2} \cdot \psi_{02} \cdot Q_{k2} + \gamma_{Q3} \cdot \psi_{03} \cdot Q_{k3} + \dots$$

Combinazione caratteristica (rara), generalmente impiegata per gli stati limite di esercizio (SLE) irreversibili:

$$G_1 + G_2 + P + Q_{k1} + \psi_{02} \cdot Q_{k2} + \psi_{03} \cdot Q_{k3} + \dots$$

Combinazione frequente, generalmente impiegata per gli stati limite di esercizio (SLE) reversibili:

$$G_1 + G_2 + P + \psi_{11} \cdot Q_{k1} + \psi_{22} \cdot Q_{k2} + \psi_{23} \cdot Q_{k3} + \dots$$

Combinazione quasi permanente, generalmente impiegata per gli stati limite di esercizio (SLE) a lungo termine:

$$G_1 + G_2 + P + \psi_{21} \cdot Q_{k1} + \psi_{22} \cdot Q_{k2} + \psi_{23} \cdot Q_{k3} + \dots$$

Combinazione sismica, impiegata per gli stati limite ultimi e di esercizio connessi all'azione sismica E:

$$E + G_1 + G_2 + P + \psi_{21} \cdot Q_{k1} + \psi_{22} \cdot Q_{k2} + \dots$$



Dove:

$$E = \pm 1.00 \times E_Y \pm 0.30 \times E_Z \quad \text{oppure} \quad E = \pm 0.30 \times E_Y \pm 1.00 \times E_Z$$

avendo indicato con E_Y e E_Z rispettivamente le componenti orizzontale e verticale dell'azione sismica.

Si ripeta la Tabella 5.2.V delle NTC08 dei coefficienti parziali di sicurezza per le combinazioni di carico SLU:

Tabella 5.2.V: Coefficienti parziali di sicurezza per le combinazioni di carico agli SLU, eccezionali e sismica (da DM 14/01/2008)

GENERAL CONTRACTOR 	ALTA SORVEGLIANZA 			
	Progetto IN17	Lotto 12	Codifica EI2CLSL2300003	A

		Coefficiente	EQU ⁽¹⁾	A1 STR	A2 GEO	Combinazione eccezionale	Combinazione Sismica
Carichi permanenti	favorevoli	γ_{G1}	0,90	1,00	1,00	1,00	1,00
	sfavorevoli		1,10	1,35	1,00	1,00	1,00
Carichi permanenti non strutturali ⁽²⁾	favorevoli	γ_{G2}	0,00	0,00	0,00	1,00	1,00
	sfavorevoli		1,50	1,50	1,30	1,00	1,00
Ballast ⁽³⁾	favorevoli	γ_B	0,90	1,00	1,00	1,00	1,00
	sfavorevoli		1,50	1,50	1,30	1,00	1,00
Carichi variabili da traffico ⁽⁴⁾	favorevoli	γ_Q	0,00	0,00	0,00	0,00	0,00
	sfavorevoli		1,45	1,45	1,25	0,20 ⁽⁵⁾	0,20 ⁽⁵⁾
Carichi variabili	favorevoli	γ_{Qi}	0,00	0,00	0,00	0,00	0,00
	sfavorevoli		1,50	1,50	1,30	1,00	0,00
Precompressione	favorevole	γ_P	0,90	1,00	1,00	1,00	1,00
	sfavorevole		1,00 ⁽⁶⁾	1,00 ⁽⁷⁾	1,00	1,00	1,00

Equilibrio che non coinvolga i parametri di deformabilità e resistenza del terreno; altrimenti si applicano i valori di GEO.

(2) Nel caso in cui i carichi permanenti non strutturali (ad es. carichi permanenti portati) siano compiutamente definiti si potranno adottare gli stessi coefficienti validi per le azioni permanenti.

(3) Quando si prevedano variazioni significative del carico dovuto al ballast, se ne dovrà tener conto esplicitamente nelle verifiche.

(4) Le componenti delle azioni da traffico sono introdotte in combinazione considerando uno dei gruppi di carico gr della Tab. 5.2.IV.

(5) Aliquota di carico da traffico da considerare.

(6) 1,30 per instabilità in strutture con precompressione esterna

(7) 1,20 per effetti locali

Si riportano di seguito le combinazioni delle azioni maggiormente significative per la determinazione delle sollecitazioni più gravose.



GENERAL CONTRACTOR 		ALTA SORVEGLIANZA 			
		Progetto	Lotto	Codifica	
		IN17	12	EI2CLSL2300003	A

Tabella 2: Combinazioni di carico SLU (01-05)



	SLU01	SLU02	SLU03	SLU04	SLU05
PP	1.35	1.35	1.35	1.35	1
PERM	1.5	1.5	1.5	1.5	1
SPTSX	1.35	1.35	1	1.35	1.35
SPTDX	1.35	1	1	1.35	1.35
SPTW	1	1.35	1	1.35	1.35
SPACCSX	1.5	1.5	1.5	1.5	1.5
SPACCDX	0	0	1.5	1.5	1.5
ACC_SOLINF	1.5	1.5	1.5	1.5	1.5
SISMA_H	0	0	0	0	0
SPSSX	0	0	0	0	0
SPSDX	0	0	0	0	0

Tabella 3: Combinazioni di carico SLV (01-02)

	SLV01	SLV02
PP	1	1
PERM	1	1
SPTSX	1	1
SPTDX	1	1
SPTW	1	1
SPACCSX	0.2	0.2
SPACCDX	0.2	0.2
ACC_SOLINF	0.2	0.2
SISMA_H	1	1
SPSSX	1	1
SPSDX	1	-1

Tabella 4: Combinazioni di carico SLE

	SLE_RARA01	SLE_RARA02	SLE_FREQ01	SLE_QPERM01
PP	1	1	1	1
PERM	1	1	1	1
SPTSX	1	1	1	1
SPTDX	1	0.8	0.8	1
SPTW	1	1	1	1
SPACCSX	1	1	0.75	0
SPACCDX	1	0	0	0
ACC_SOLINF	1	1	0.75	0
SISMA_H	0	0	0	0
SPSSX	0	0	0	0
SPSDX	0	0	0	0

GENERAL CONTRACTOR 	ALTA SORVEGLIANZA 			
	Progetto IN17	Lotto 12	Codifica EI2CLSL2300003	A

8.4 MODELLAZIONE STRUTTURALE

8.4.1 Codice di calcolo

L'analisi della struttura scatolare è stata condotta con un programma agli elementi finiti (STRAUS7) facendo riferimento agli assi baricentrici degli elementi schematizzati con elementi "beam".

8.4.2 Modello di calcolo

Le analisi sono state condotte per una striscia di struttura di lunghezza unitaria, implementando un modello di calcolo bidimensionale in condizioni di deformazione piana. La struttura è definita sulla base degli assi baricentrici degli elementi. La fondazione è schematizzata come una trave su suolo elastico alla Winkler non reagente a trazione, il calcolo della costante di sottofondo è riportata nel paragrafo 8.4.3.

Lo schema statico della struttura e la relativa numerazione dei nodi e delle aste sono riportati nelle seguenti figure.

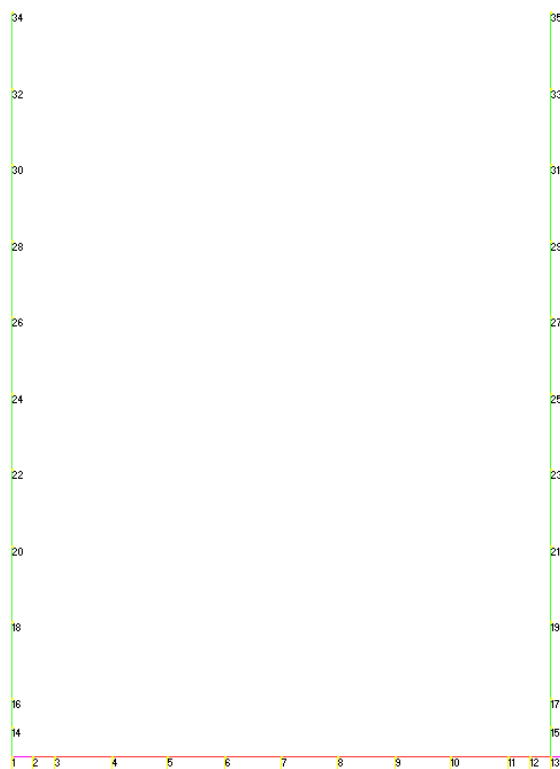




Figura 8.4: Modello F.E.M struttura - numerazione nodi

<p>GENERAL CONTRACTOR</p> 	<p>ALTA SORVEGLIANZA</p> 			
	<p>Progetto</p> <p>IN17</p>	<p>Lotto</p> <p>12</p>	<p>Codifica</p> <p>EI2CLSL2300003</p>	<p>A</p>

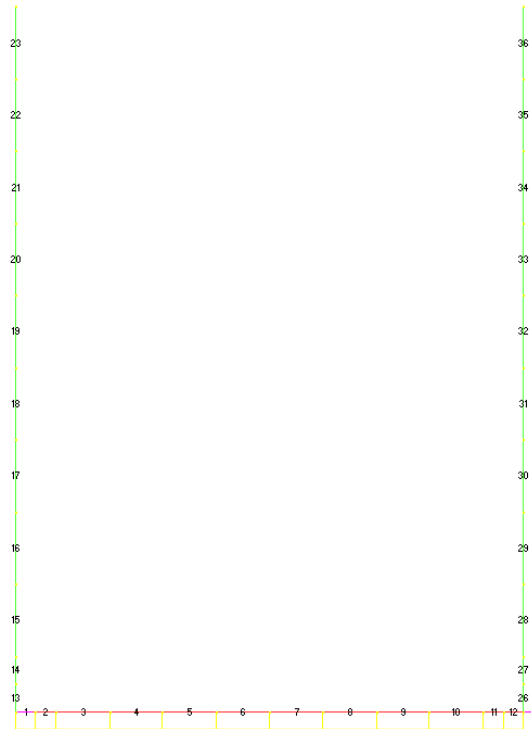


Figura 8.5: Modello F.E.M. struttura – numerazione aste

8.4.3 Interazione terreno-struttura

L'interazione struttura-terreno è simulata mediante l'applicazione sugli elementi interessati di un sistema di molle alla Winkler, definite assumendo cautelativamente un modulo di reazione verticale K_v pari a 8000 kN/m^3 : il calcolo della costante di Winkler è stato condotto applicando il procedimento proposto da Vesic e riportato da Bowles nel testo "Fondazioni", secondo la seguente formulazione:

$$k_s = \frac{E}{B(1-\mu^2)I_s I_F}$$

dove:

E = modulo elastico medio dello spessore di terreno sottostante la fondazione;

B = larghezza della fondazione;

μ = coefficiente di Poisson del terreno di fondazione, assunto pari a 0.3.

Il valore del coefficiente di influenza I_s è stato calcolato attraverso la seguente equazione:



$$I_s = I_1 + \frac{1-2\mu}{1-\mu} I_2$$

dove:

I_1 e I_2 = coefficienti dipendenti dai rapporti H/B' e L/B ;

H = spessore dello strato compressibile, pari a $5B$;

B' = larghezza corrispondente al punto di calcolo assunto coincidente con il centro della fondazione, pari a $B/2$.

<p>GENERAL CONTRACTOR</p> 	<p>ALTA SORVEGLIANZA</p> 			
	<p>Progetto</p> <p>IN17</p>	<p>Lotto</p> <p>12</p>	<p>Codifica</p> <p>EI2CLSL2300003</p>	<p>A</p>

Il valore del coefficiente di influenza IF è stato estrapolato in funzione dei valori dei rapporti L/B e D/B.

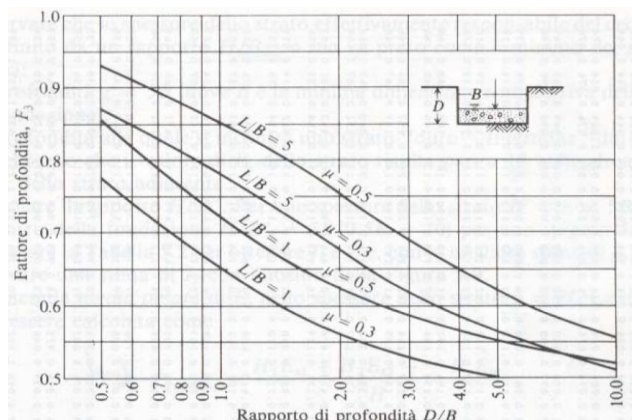


Figura 8.6: Grafico per la determinazione del fattore di profondità F_s

Le tabelle seguenti riportano le grandezze caratteristiche dell'opera.

Larghezza fondazione - B (m)	Profondità fondazione - D (m)	Lunghezza fondazione - L (m)	Modulo elastico - E_s (kPa)
4.10	2.15	11.0	10000

D/B	L/B	H/B'
0.52	2.68	2.50

H	μ
20.5	0.3

La tabella seguente riporta i parametri l_1 , l_2 , l_s e l_f .



l_1	l_2	l_s	l_f
0.326	0.110	0.389	0.8

La tabella seguente riassume il valore calcolato della costante di sottofondo (k_s) e il valore assunto nei calcoli strutturali successivi.

k_s (daN/cm ³)	$k_{s-assunto}$ (daN/cm ³)
0.8620	0.8000

8.5 ANALISI DELLE SOLLECITAZIONI

Nelle seguenti tabelle sono riportati i valori massimi delle caratteristiche delle sollecitazioni ricavati per le sezioni oggetto di verifica, indicate in figura.

<p>GENERAL CONTRACTOR</p> 	<p>ALTA SORVEGLIANZA</p> 			
	<p>Progetto</p> <p>IN17</p>	<p>Lotto</p> <p>12</p>	<p>Codifica</p> <p>EI2CLSL2300003</p>	<p>A</p>

Di seguito è riportato l'involuppo delle sollecitazioni flettenti e taglianti dello stato limite ultimo. Le unità di misura adottate nei diagrammi seguenti sono kN-m.

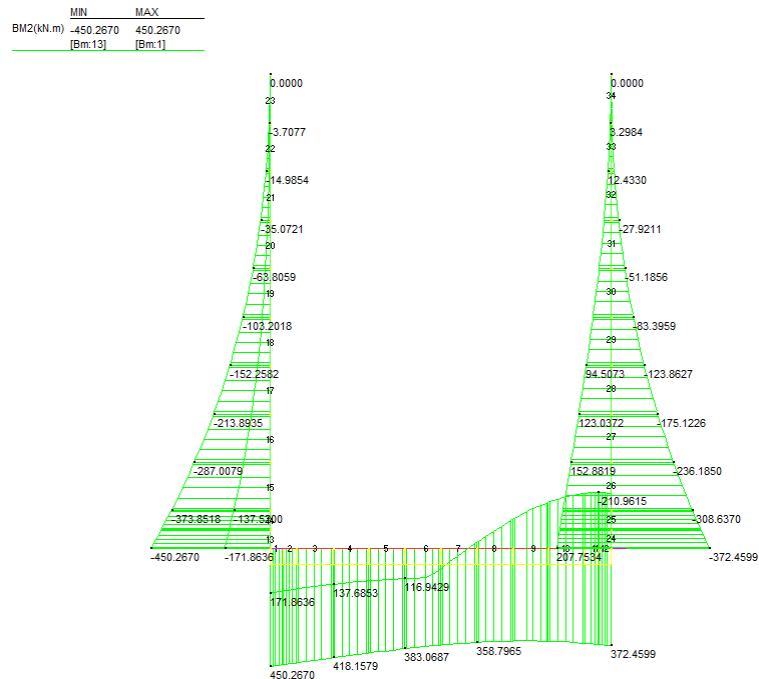


Figura 8.7: Involuppo SLU/Sisma: momenti flettenti

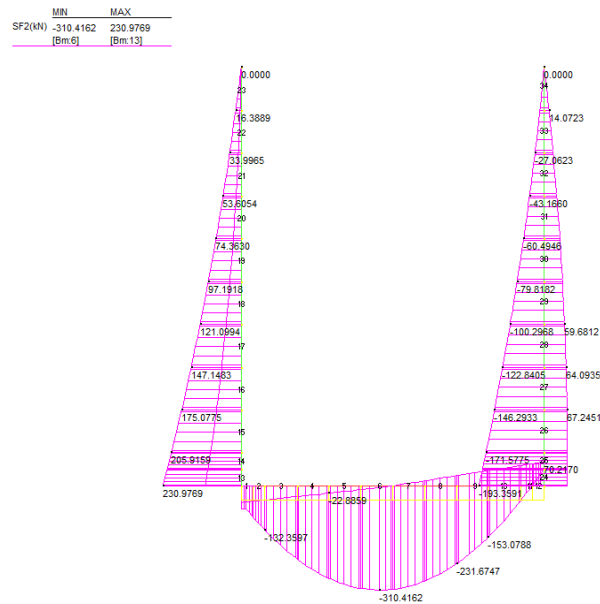




Figura 8.8: Involuppo SLU/Sisma: sollecitazioni taglianti

<p>GENERAL CONTRACTOR</p> 	<p>ALTA SORVEGLIANZA</p> 			
	<p>Progetto IN17</p>	<p>Lotto 12</p>	<p>Codifica EI2CLSL2300003</p>	<p>A</p>

	MIN	MAX
Force(kN)	-73.6670	29.8080
	[Bm.24]	[Bm.1]

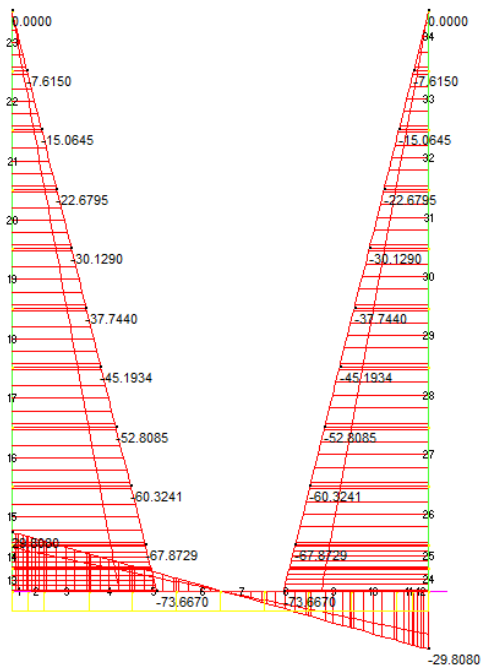


Figura 8.9: Inviluppo SLU/Sisma: sforzo normale

	MIN	MAX
BM2(kN.m)	-152.8532	152.8532
	[Bm.13]	[Bm.1]

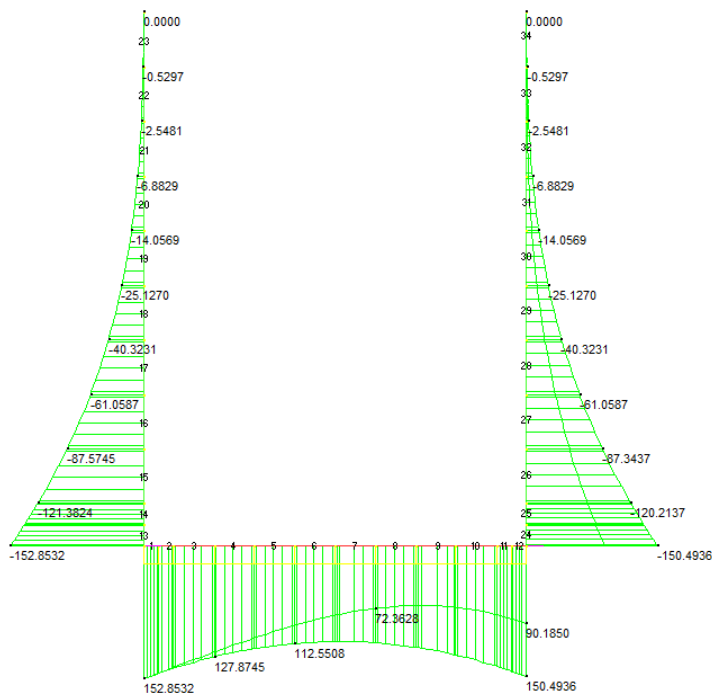




Figura 8.10: Inviluppo SLE: momenti flettenti

<p>GENERAL CONTRACTOR</p> 	<p>ALTA SORVEGLIANZA</p> 			
	<p>Progetto</p> <p>IN17</p>	<p>Lotto</p> <p>12</p>	<p>Codifica</p> <p>EI2CLSL2300003</p>	<p>A</p>

	MIN	MAX
SF2(kN)	-93.5990	97.3078
	[Bm.24]	[Bm.13]

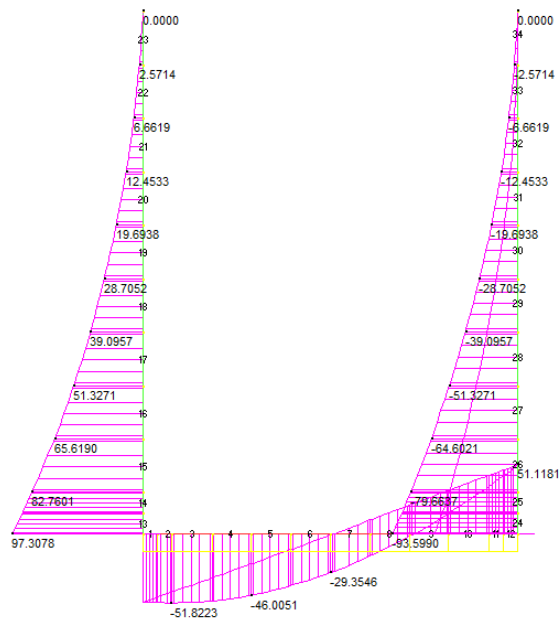




Figura 8.11: Involuppo SLE: sollecitazioni taglianti

Di seguito si riportano i valori delle sollecitazioni per tutte le combinazioni di carico relative a tutte le sezioni di verifica.

FOND MEZZ	N	M _x	V _y
	(KN)	(KNm)	(KNm)
SLU	0	175	60
SLV	0	385	310
SLE RARA	0	115	-
SLE FREQUENTE	0	85	-
SLE QUASI PERM.	0	75	-

FOND INC	N	M _x	V _y
	(KN)	(KNm)	(KNm)
SLU	0	205	70
SLV	0	440	125
SLE RARA	0	145	-
SLE FREQUENTE	0	135	-
SLE QUASI PERM.	0	105	-

PIEDR PIEDE	N	M _x	V _y
	(KN)	(KNm)	(KNm)



GENERAL CONTRACTOR 	ALTA SORVEGLIANZA 			
	Progetto IN17	Lotto 12	Codifica E12CLSL2300003	A

SLU	70	-205	125
SLV	50	-440	220
SLE RARA	50	-145	-
SLE FREQUENTE	50	-135	-
SLE QUASI PERM.	50	-105	-

PIEDR_MEZZ	N	M _x	V _y
	(KN)	(KNm)	(KNm)
SLU	35	-60	45
SLV	25	-115	105
SLE RARA	25	-45	-
SLE FREQUENTE	25	-35	-
SLE QUASI PERM.	25	-25	-

8.6 VERIFICHE DI RESISTENZA ULTIMA E DI ESERCIZIO

Si riassumono di seguito i risultati delle verifiche allo stato limite ultimo per le sollecitazioni di taglio e flessione, relative all'involuppo delle combinazioni di carico. In particolare si riportano le sollecitazioni

<p>GENERAL CONTRACTOR</p> 	<p>ALTA SORVEGLIANZA</p> 			
	Progetto IN17	Lotto 12	Codifica EI2CLSL2300003	A

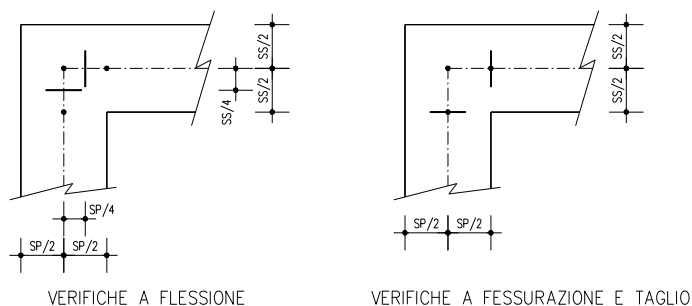
massime per tutte le sezioni di verifica e le combinazioni di carico più gravose (minimo coefficiente di sicurezza), sia per la verifica a flessione sia per la verifica a taglio.

Nelle verifiche della soletta di fondazione, cautelativamente, non si è tenuto in conto del contributo dello sforzo normale.

Le verifiche a flessione in corrispondenza dei nodi tra setti adiacenti sono effettuate rispettivamente:

- nella sezione ubicata a metà fra asse piedritto e sezione d'attacco piedritto-soletta nel caso delle verifiche della soletta;
- nella sezione ubicata a metà fra asse soletta e sezione d'attacco del piedritto nel caso delle verifiche del piedritto.

Le verifiche a fessurazione e a taglio sono eseguite nelle sezioni di attacco soletta-piedritto.



I calcoli di verifica sono effettuati con il metodo degli Stati Limite.



Si riporta di seguito l'armatura degli elementi strutturali nelle sezioni di mezzeria e di incastro.

Elemento	Sezione	Dimensioni [cm]		Flessione		Armatura a taglio	Ripartitori (esterni)
		B	H	Lato terra	Lato interno		
PIEDRITTI	MEZZERIA	100	50	5 ϕ 20	5 ϕ 20	9 ϕ 12/mq	ϕ 16/20
	INCASTRO			10 ϕ 20	5 ϕ 20		
SOLETTA INF.	INCASTRO	100	70	10 ϕ 20	5 ϕ 20	ϕ 12/40x40	ϕ 16/20
	MEZZERIA			5 ϕ 20	5 ϕ 20		

8.6.1 Soletta inferiore – sezione di mezzeria

CARATTERISTICHE DI RESISTENZA DEI MATERIALI IMPIEGATI

CALCESTRUZZO -	Classe:	C32/40
	Resis. compr. di progetto fcd:	18.8 MPa
	Def.unit. max resistenza ec2:	0.0020
	Def.unit. ultima ecu:	0.0035
	Diagramma tensione-deformaz.:	Parabola-Rettangolo

GENERAL CONTRACTOR 	ALTA SORVEGLIANZA 			
	Progetto IN17	Lotto 12	Codifica EI2CLSL2300003	A

Modulo Elastico Normale Ec:	33642.8	MPa
Resis. media a trazione fctm:	3.10	MPa
Coeff. Omogen. S.L.E.:	15.00	
Sc limite S.L.E. comb. Rare:	19.9	MPa
Sc limite S.L.E. comb. Frequenti:	19.9	MPa
Ap.Fessure limite S.L.E. comb. Frequenti:	0.200	mm
Sc limite S.L.E. comb. Q.Permanenti:	14.9	MPa
Ap.Fess.limite S.L.E. comb. Q.Perm.:	0.200	mm

ACCIAIO -	Tipo:	B450C	
	Resist. caratt. snervam. fyk:	450.0	MPa
	Resist. caratt. rottura ftk:	450.0	MPa
	Resist. snerv. di progetto fyd:	391.3	MPa
	Resist. ultima di progetto ftd:	391.3	MPa
	Deform. ultima di progetto Epu:	0.068	
	Modulo Elastico Ef	2000000	daN/cm ²
	Diagramma tensione-deformaz.:	Bilineare finito	
	Coeff. Aderenza istantaneo $\beta_1 \cdot \beta_2$:	1.00	
	Coeff. Aderenza differito $\beta_1 \cdot \beta_2$:	0.50	
	Sf limite S.L.E. Comb. Rare:	360.00	MPa

CARATTERISTICHE DOMINIO CALCESTRUZZO

Forma del Dominio:	Poligonale
Classe Calcestruzzo:	C32/40

N°vertice:	X [cm]	Y [cm]
1	100.0	70.0
2	100.0	0.0
3	0.0	0.0
4	0.0	70.0

DATI BARRE ISOLATE

N°Barra	X [cm]	Y [cm]	DiamØ[mm]
1	91.4	61.4	20
2	91.4	8.6	20
3	8.6	8.6	20
4	8.6	61.4	20



DATI GENERAZIONI LINEARI DI BARRE

N°Gen.	Numero assegnato alla singola generazione lineare di barre			
N°Barra Ini.	Numero della barra iniziale cui si riferisce la generazione			
N°Barra Fin.	Numero della barra finale cui si riferisce la generazione			
N°Barre	Numero di barre generate equidistanti cui si riferisce la generazione			
Ø	Diametro in mm delle barre della generazione			

N°Gen.	N°Barra Ini.	N°Barra Fin.	N°Barre	Ø
1	1	4	3	20
2	3	2	3	20

CALCOLO DI RESISTENZA - SFORZI PER OGNI COMBINAZIONE ASSEGNATA

N	Sforzo normale [kN] applicato nel Baric. (+ se di compressione)
Mx	Momento flettente [kNm] intorno all'asse x princ. d'inerzia con verso positivo se tale da comprimere il lembo sup. della sez.

<p>GENERAL CONTRACTOR</p> 	<p>ALTA SORVEGLIANZA</p> 								
	<table border="1" style="width: 100%;"> <tr> <td style="width: 25%;">Progetto</td> <td style="width: 15%;">Lotto</td> <td style="width: 40%;">Codifica</td> <td style="width: 20%;"></td> </tr> <tr> <td>IN17</td> <td>12</td> <td>EI2CLSL2300003</td> <td>A</td> </tr> </table>	Progetto	Lotto	Codifica		IN17	12	EI2CLSL2300003	A
Progetto	Lotto	Codifica							
IN17	12	EI2CLSL2300003	A						

My Momento flettente [kNm] intorno all'asse y princ. d'inerzia
 con verso positivo se tale da comprimere il lembo destro della sez.
 Vy Componente del Taglio [kN] parallela all'asse princ.d'inerzia y
 Vx Componente del Taglio [kN] parallela all'asse princ.d'inerzia x

N°Comb.	N	Mx	My	Vy	Vx
1	0.00	175.00	0.00	0.00	0.00
2	0.00	385.00	0.00	0.00	0.00

COMB. RARE (S.L.E.) - SFORZI PER OGNI COMBINAZIONE ASSEGNATA

N Sforzo normale [kN] applicato nel Baricentro (+ se di compressione)
 Mx Momento flettente [kNm] intorno all'asse x princ. d'inerzia (tra parentesi Mom.Fessurazione)
 con verso positivo se tale da comprimere il lembo superiore della sezione
 My Momento flettente [kNm] intorno all'asse y princ. d'inerzia (tra parentesi Mom.Fessurazione)
 con verso positivo se tale da comprimere il lembo destro della sezione

N°Comb.	N	Mx	My
1	0.00	115.00	0.00

COMB. FREQUENTI (S.L.E.) - SFORZI PER OGNI COMBINAZIONE ASSEGNATA

N Sforzo normale [kN] applicato nel Baricentro (+ se di compressione)
 Mx Momento flettente [kNm] intorno all'asse x princ. d'inerzia (tra parentesi Mom.Fessurazione)
 con verso positivo se tale da comprimere il lembo superiore della sezione
 My Momento flettente [kNm] intorno all'asse y princ. d'inerzia (tra parentesi Mom.Fessurazione)
 con verso positivo se tale da comprimere il lembo destro della sezione

N°Comb.	N	Mx	My
1	0.00	85.00 (282.17)	0.00 (0.00)

COMB. QUASI PERMANENTI (S.L.E.) - SFORZI PER OGNI COMBINAZIONE ASSEGNATA

N Sforzo normale [kN] applicato nel Baricentro (+ se di compressione)
 Mx Momento flettente [kNm] intorno all'asse x princ. d'inerzia (tra parentesi Mom.Fessurazione)
 con verso positivo se tale da comprimere il lembo superiore della sezione
 My Momento flettente [kNm] intorno all'asse y princ. d'inerzia (tra parentesi Mom.Fessurazione)
 con verso positivo se tale da comprimere il lembo destro della sezione

N°Comb.	N	Mx	My
1	0.00	75.00 (282.17)	0.00 (0.00)



RISULTATI DEL CALCOLO

Sezione verificata per tutte le combinazioni assegnate

Copriferro netto minimo barre longitudinali: 7.6 cm

VERIFICHE DI RESISTENZA IN PRESSO-TENSO FLESSIONE ALLO STATO LIMITE ULTIMO

Ver S = combinazione verificata / N = combin. non verificata
 N Sforzo normale assegnato [kN] nel baricentro B sezione cls.(positivo se di compressione)
 Mx Componente del momento assegnato [kNm] riferito all'asse x princ. d'inerzia
 My Componente del momento assegnato [kNm] riferito all'asse y princ. d'inerzia
 N Res Sforzo normale resistente [kN] nel baricentro B sezione cls.(positivo se di compress.)
 Mx Res Momento flettente resistente [kNm] riferito all'asse x princ. d'inerzia
 My Res Momento flettente resistente [kNm] riferito all'asse y princ. d'inerzia
 Mis.Sic. Misura sicurezza = rapporto vettoriale tra (N r,Mx Res,My Res) e (N,Mx,My)

GENERAL CONTRACTOR 		ALTA SORVEGLIANZA  GRUPPO FERROVIE DELLO STATO ITALIANE			
		Progetto	Lotto	Codifica	
		IN17	12	EI2CLSL2300003	A

As Tesa Verifica positiva se tale rapporto risulta ≥ 1.000
 Area armature trave [cm²] in zona tesa. [Tra parentesi l'area minima ex (4.1.15)NTC]

N°Comb	Ver	N	Mx	My	N Res	Mx Res	My Res	Mis.Sic.	As Tesa
1	N	0.00	175.00	0.00	0.00	388.65	0.00	2.19	31.4(11.0)
2	N	0.00	385.00	0.00	0.00	388.65	0.00	1.02	31.4(11.0)

METODO AGLI STATI LIMITE ULTIMI - DEFORMAZIONI UNITARIE ALLO STATO ULTIMO

ec max Deform. unit. massima del calcestruzzo a compressione
 x/d Rapporto di duttilità [§ 4.1.2.1.2.1 NTC] deve essere < 0.45
 Xc max Ascissa in cm della fibra corrisp. a ec max (sistema rif. X,Y,O sez.)
 Yc max Ordinata in cm della fibra corrisp. a ec max (sistema rif. X,Y,O sez.)
 es min Deform. unit. minima nell'acciaio (negativa se di trazione)
 Xs min Ascissa in cm della barra corrisp. a es min (sistema rif. X,Y,O sez.)
 Ys min Ordinata in cm della barra corrisp. a es min (sistema rif. X,Y,O sez.)
 es max Deform. unit. massima nell'acciaio (positiva se di compress.)
 Xs max Ascissa in cm della barra corrisp. a es max (sistema rif. X,Y,O sez.)
 Ys max Ordinata in cm della barra corrisp. a es max (sistema rif. X,Y,O sez.)

N°Comb	ec max	x/d	Xc max	Yc max	es min	Xs min	Ys min	es max	Xs max	Ys max
1	0.00350	0.105	100.0	70.0	-0.00117	91.4	61.4	-0.02984	8.6	8.6
2	0.00350	0.105	100.0	70.0	-0.00117	91.4	61.4	-0.02984	8.6	8.6

POSIZIONE ASSE NEUTRO PER OGNI COMB. DI RESISTENZA

a, b, c Coeff. a, b, c nell'eq. dell'asse neutro $aX+bY+c=0$ nel rif. X,Y,O gen.
 x/d Rapp. di duttilità (travi e solette)[§ 4.1.2.1.2.1 NTC]: deve essere < 0.45
 C.Rid. Coeff. di riduz. momenti per sola flessione in travi continue

N°Comb	a	b	c	x/d	C.Rid.
1	0.000000000	0.000543077	-0.034515421	0.105	0.700
2	0.000000000	0.000543077	-0.034515421	0.105	0.700



COMBINAZIONI RARE IN ESERCIZIO - MASSIME TENSIONI NORMALI ED APERTURA FESSURE (NTC/EC2)

Ver S = comb. verificata/ N = comb. non verificata
 Sc max Massima tensione (positiva se di compressione) nel calcestruzzo [MPa]
 Xc max, Yc max Ascissa, Ordinata [cm] del punto corrisp. a Sc max (sistema rif. X,Y,O)
 Ss min Minima tensione (negativa se di trazione) nell'acciaio [MPa]
 Xs min, Ys min Ascissa, Ordinata [cm] della barra corrisp. a Ss min (sistema rif. X,Y,O)
 Ac eff. Area di calcestruzzo [cm²] in zona tesa considerata aderente alle barre
 As eff. Area barre [cm²] in zona tesa considerate efficaci per l'apertura delle fessure

N°Comb	Ver	Sc max	Xc max	Yc max	Ss min	Xs min	Ys min	Ac eff.	As eff.
1	S	2.57	100.0	70.0	-130.1	8.6	8.6	1849	15.7

COMBINAZIONI RARE IN ESERCIZIO - APERTURA FESSURE [§ 7.3.4 EC2]

Ver. La sezione viene assunta sempre fessurata anche nel caso in cui la trazione minima del calcestruzzo sia inferiore a f_{ctm}
 Esito della verifica
 e1 Massima deformazione unitaria di trazione nel calcestruzzo (trazione -) valutata in sezione fessurata
 e2 Minima deformazione unitaria di trazione nel calcestruzzo (trazione -) valutata in sezione fessurata
 k1 = 0.8 per barre ad aderenza migliorata [eq.(7.11)EC2]
 kt = 0.4 per comb. quasi permanenti / = 0.6 per comb.frequenti [cfr. eq.(7.9)EC2]
 k2 = 0.5 per flessione; $= (e1 + e2)/(2*e1)$ per trazione eccentrica [eq.(7.13)EC2]
 k3 = 3.400 Coeff. in eq.(7.11) come da annessi nazionali
 k4 = 0.425 Coeff. in eq.(7.11) come da annessi nazionali
 Ø Diametro [mm] equivalente delle barre tese comprese nell'area efficace Ac eff [eq.(7.11)EC2]
 Cf Copriferro [mm] netto calcolato con riferimento alla barra più tesa

GENERAL CONTRACTOR 		ALTA SORVEGLIANZA 			
		Progetto	Lotto	Codifica	
		IN17	12	EI2CLSL2300003	A

e sm - e cm Differenza tra le deformazioni medie di acciaio e calcestruzzo [(7.8)EC2 e (C4.1.7)NTC]
 Tra parentesi: valore minimo = 0.6 Smax / Es [(7.9)EC2 e (C4.1.8)NTC]
 sr max Massima distanza tra le fessure [mm]
 wk Apertura fessure in mm calcolata = sr max*(e_sm - e_cm) [(7.8)EC2 e (C4.1.7)NTC]. Valore limite tra parentesi
 Mx fess. Componente momento di prima fessurazione intorno all'asse X [kNm]
 My fess. Componente momento di prima fessurazione intorno all'asse Y [kNm]

Comb.	Ver	e1	e2	k2	Ø	Cf	e sm - e cm	sr max	wk	Mx fess	My fess
1	S	-0.00077	0.00000	0.500	20.0	76	0.00039 (0.00039)	659	0.257 (990.00)	282.17	0.00

COMBINAZIONI FREQUENTI IN ESERCIZIO - MASSIME TENSIONI NORMALI ED APERTURA FESSURE (NTC/EC2)

N°Comb	Ver	Sc max	Xc max	Yc max	Ss min	Xs min	Ys min	Ac eff.	As eff.
1	S	1.90	100.0	70.0	-96.2	8.6	8.6	1849	15.7

COMBINAZIONI FREQUENTI IN ESERCIZIO - APERTURA FESSURE [§ 7.3.4 EC2]

Comb.	Ver	e1	e2	k2	Ø	Cf	e sm - e cm	sr max	wk	Mx fess	My fess
1	S	-0.00057	0.00000	0.500	20.0	76	0.00029 (0.00029)	659	0.190 (0.20)	282.17	0.00

COMBINAZIONI QUASI PERMANENTI IN ESERCIZIO - MASSIME TENSIONI NORMALI ED APERTURA FESSURE (NTC/EC2)

N°Comb	Ver	Sc max	Xc max	Yc max	Ss min	Xs min	Ys min	Ac eff.	As eff.
1	S	1.68	100.0	70.0	-84.9	8.6	8.6	1849	15.7

COMBINAZIONI QUASI PERMANENTI IN ESERCIZIO - APERTURA FESSURE [§ 7.3.4 EC2]

Comb.	Ver	e1	e2	k2	Ø	Cf	e sm - e cm	sr max	wk	Mx fess	My fess
1	S	-0.00050	0.00000	0.500	20.0	76	0.00025 (0.00025)	659	0.168 (0.20)	282.17	0.00

GENERAL CONTRACTOR



ALTA SORVEGLIANZA



Progetto

Lotto

Codifica

IN17

12

EI2CLSL2300003

A

SEZIONE

b_w	=	100	cm		
h	=	70	cm		
c	=	5	cm		
d	=	$h-c$	=	65	cm

MATERIALI

f_{ywd}	=	391.30	MPa		
R_{ck}	=	40	MPa		
γ_c	=	1.5			
f_{ck}	=	$0.83 \times R_{ck}$	=	33.2	MPa
f_{cd}	=	$0.85 \times f_{ck} / \gamma_c$	=	18.81	MPa

ARMATURE A TAGLIO

\varnothing_{st}	=	12			
braccia	=	2.5			
\varnothing_{st2}	=	0			
braccia	=	0			
passo	=	40	cm		
(A_{sw} / s)	=	7.069	cm^2 / m		
α	=	90	$^\circ$		(90° staffe verticali)

TAGLIO AGENTE	$V_{Ed} =$	310	(KN)
SFORZO NORMALE	$N_{Ed} =$	0	(KN)
	$\alpha_c =$	1.0000	

ELEMENTI CON ARMATURA A TAGLIO**Calcolo di $\cot \theta$**

$$\cot(\theta) = 5.75$$

$$\theta = 9.87^\circ$$

$$\cot \vartheta > 2,5$$

Si assume

$$\vartheta = 21,8^\circ$$



Armatura trasversale

$$V_{Rsd} = 404.52 \text{ (KN)}$$

$$V_{Rcd} = 1897.55 \text{ (KN)}$$

$$V_{Rd} = 405 \text{ (KN)}$$

$$\min(V_{Rsd}, V_{Rcd})$$

GENERAL CONTRACTOR 	ALTA SORVEGLIANZA 			
	Progetto IN17	Lotto 12	Codifica EI2CLSL2300003	A

8.6.2 Soletta inferiore – sezione di incastro

CARATTERISTICHE DI RESISTENZA DEI MATERIALI IMPIEGATI

CALCESTRUZZO -	Classe:	C32/40	
	Resis. compr. di progetto fcd:	18.8	MPa
	Def.unit. max resistenza ec2:	0.0020	
	Def.unit. ultima ecu:	0.0035	
	Diagramma tensione-deformaz.:	Parabola-Rettangolo	
	Modulo Elastico Normale Ec:	33642.8	MPa
	Resis. media a trazione fctm:	3.10	MPa
	Coeff. Omogen. S.L.E.:	15.00	
	Sc limite S.L.E. comb. Rare:	19.9	MPa
	Sc limite S.L.E. comb. Frequenti:	19.9	MPa
	Ap.Fessure limite S.L.E. comb. Frequenti:	0.200	mm
	Sc limite S.L.E. comb. Q.Permanenti:	14.9	MPa
	Ap.Fess.limite S.L.E. comb. Q.Perm.:	0.200	mm
ACCIAIO -	Tipo:	B450C	
	Resist. caratt. snervam. fyk:	450.0	MPa
	Resist. caratt. rottura ftk:	450.0	MPa
	Resist. snerv. di progetto fyd:	391.3	MPa
	Resist. ultima di progetto ftd:	391.3	MPa
	Deform. ultima di progetto Epu:	0.068	
	Modulo Elastico Ef	2000000	daN/cm ²
	Diagramma tensione-deformaz.:	Bilineare finito	
	Coeff. Aderenza istantaneo $\beta_1*\beta_2$:	1.00	
	Coeff. Aderenza differito $\beta_1*\beta_2$:	0.50	
Sf limite S.L.E. Comb. Rare:	360.00	MPa	

CARATTERISTICHE DOMINIO CALCESTRUZZO



Forma del Dominio:	Poligonale	
Classe Calcestruzzo:	C32/40	
N°vertice:	X [cm]	Y [cm]
1	100.0	70.0
2	100.0	0.0
3	0.0	0.0
4	0.0	70.0

DATI BARRE ISOLATE

N°Barra	X [cm]	Y [cm]	DiamØ[mm]
1	91.4	61.4	20
2	91.4	8.6	20
3	8.6	8.6	20
4	8.6	61.4	20

DATI GENERAZIONI LINEARI DI BARRE

N°Gen.	Numero assegnato alla singola generazione lineare di barre			
N°Barra Ini.	Numero della barra iniziale cui si riferisce la generazione			
N°Barra Fin.	Numero della barra finale cui si riferisce la generazione			
N°Barre	Numero di barre generate equidistanti cui si riferisce la generazione			
Ø	Diametro in mm delle barre della generazione			
N°Gen.	N°Barra Ini.	N°Barra Fin.	N°Barre	Ø

<p>GENERAL CONTRACTOR</p> 	<p>ALTA SORVEGLIANZA</p> 			
	Progetto	Lotto	Codifica	
	IN17	12	EI2CLSL2300003	A

1	1	4	3	20
2	3	2	8	20

CALCOLO DI RESISTENZA - SFORZI PER OGNI COMBINAZIONE ASSEGNATA

N	Sforzo normale [kN] applicato nel Baric. (+ se di compressione)
Mx	Momento flettente [kNm] intorno all'asse x princ. d'inerzia con verso positivo se tale da comprimere il lembo sup. della sez.
My	Momento flettente [kNm] intorno all'asse y princ. d'inerzia con verso positivo se tale da comprimere il lembo destro della sez.
Vy	Componente del Taglio [kN] parallela all'asse princ.d'inerzia y
Vx	Componente del Taglio [kN] parallela all'asse princ.d'inerzia x

N°Comb.	N	Mx	My	Vy	Vx
1	0.00	205.00	0.00	0.00	0.00
2	0.00	440.00	0.00	0.00	0.00

COMB. RARE (S.L.E.) - SFORZI PER OGNI COMBINAZIONE ASSEGNATA

N	Sforzo normale [kN] applicato nel Baricentro (+ se di compressione)
Mx	Momento flettente [kNm] intorno all'asse x princ. d'inerzia (tra parentesi Mom.Fessurazione) con verso positivo se tale da comprimere il lembo superiore della sezione
My	Momento flettente [kNm] intorno all'asse y princ. d'inerzia (tra parentesi Mom.Fessurazione) con verso positivo se tale da comprimere il lembo destro della sezione

N°Comb.	N	Mx	My
1	0.00	145.00	0.00

COMB. FREQUENTI (S.L.E.) - SFORZI PER OGNI COMBINAZIONE ASSEGNATA

N	Sforzo normale [kN] applicato nel Baricentro (+ se di compressione)
Mx	Momento flettente [kNm] intorno all'asse x princ. d'inerzia (tra parentesi Mom.Fessurazione) con verso positivo se tale da comprimere il lembo superiore della sezione
My	Momento flettente [kNm] intorno all'asse y princ. d'inerzia (tra parentesi Mom.Fessurazione) con verso positivo se tale da comprimere il lembo destro della sezione

N°Comb.	N	Mx	My
1	0.00	135.00 (303.25)	0.00 (0.00)

COMB. QUASI PERMANENTI (S.L.E.) - SFORZI PER OGNI COMBINAZIONE ASSEGNATA



N	Sforzo normale [kN] applicato nel Baricentro (+ se di compressione)
Mx	Momento flettente [kNm] intorno all'asse x princ. d'inerzia (tra parentesi Mom.Fessurazione) con verso positivo se tale da comprimere il lembo superiore della sezione
My	Momento flettente [kNm] intorno all'asse y princ. d'inerzia (tra parentesi Mom.Fessurazione) con verso positivo se tale da comprimere il lembo destro della sezione

N°Comb.	N	Mx	My
1	0.00	105.00 (303.25)	0.00 (0.00)

RISULTATI DEL CALCOLO

Sezione verificata per tutte le combinazioni assegnate

Copriferro netto minimo barre longitudinali: 7.6 cm

GENERAL CONTRACTOR 		ALTA SORVEGLIANZA  GRUPPO FERROVIE DELLO STATO ITALIANE			
		Progetto	Lotto	Codifica	
		IN17	12	EI2CLSL2300003	A

VERIFICHE DI RESISTENZA IN PRESSO-TENSO FLESSIONE ALLO STATO LIMITE ULTIMO

Ver	S = combinazione verificata / N = combin. non verificata
N	Sforzo normale assegnato [kN] nel baricentro B sezione cls.(positivo se di compressione)
Mx	Componente del momento assegnato [kNm] riferito all'asse x princ. d'inerzia
My	Componente del momento assegnato [kNm] riferito all'asse y princ. d'inerzia
N Res	Sforzo normale resistente [kN] nel baricentro B sezione cls.(positivo se di compress.)
Mx Res	Momento flettente resistente [kNm] riferito all'asse x princ. d'inerzia
My Res	Momento flettente resistente [kNm] riferito all'asse y princ. d'inerzia
Mis.Sic.	Misura sicurezza = rapporto vettoriale tra (N r,Mx Res,My Res) e (N,Mx,My) Verifica positiva se tale rapporto risulta >=1.000
As Tesa	Area armature trave [cm ²] in zona tesa. [Tra parentesi l'area minima ex (4.1.15)NTC]

N°Comb	Ver	N	Mx	My	N Res	Mx Res	My Res	Mis.Sic.	As Tesa
1	N	0.00	205.00	0.00	0.00	714.19	0.00	3.48	31.4(11.0)
2	N	0.00	440.00	0.00	0.00	714.19	0.00	1.62	31.4(11.0)

METODO AGLI STATI LIMITE ULTIMI - DEFORMAZIONI UNITARIE ALLO STATO ULTIMO

ec max	Deform. unit. massima del calcestruzzo a compressione
x/d	Rapporto di duttilità [§ 4.1.2.1.2.1 NTC] deve essere < 0.45
Xc max	Ascissa in cm della fibra corrisp. a ec max (sistema rif. X,Y,O sez.)
Yc max	Ordinata in cm della fibra corrisp. a ec max (sistema rif. X,Y,O sez.)
es min	Deform. unit. minima nell'acciaio (negativa se di trazione)
Xs min	Ascissa in cm della barra corrisp. a es min (sistema rif. X,Y,O sez.)
Ys min	Ordinata in cm della barra corrisp. a es min (sistema rif. X,Y,O sez.)
es max	Deform. unit. massima nell'acciaio (positiva se di compress.)
Xs max	Ascissa in cm della barra corrisp. a es max (sistema rif. X,Y,O sez.)
Ys max	Ordinata in cm della barra corrisp. a es max (sistema rif. X,Y,O sez.)

N°Comb	ec max	x/d	Xc max	Yc max	es min	Xs min	Ys min	es max	Xs max	Ys max
1	0.00350	0.135	100.0	70.0	-0.00012	91.4	61.4	-0.02233	8.6	8.6
2	0.00350	0.135	100.0	70.0	-0.00012	91.4	61.4	-0.02233	8.6	8.6

POSIZIONE ASSE NEUTRO PER OGNI COMB. DI RESISTENZA

a, b, c	Coeff. a, b, c nell'eq. dell'asse neutro aX+bY+c=0 nel rif. X,Y,O gen.
x/d	Rapp. di duttilità (travi e solette)[§ 4.1.2.1.2.1 NTC]: deve essere < 0.45
C.Rid.	Coeff. di riduz. momenti per sola flessione in travi continue

N°Comb	a	b	c	x/d	C.Rid.
1	0.000000000	0.000420720	-0.025950378	0.135	0.700
2	0.000000000	0.000420720	-0.025950378	0.135	0.700



COMBINAZIONI RARE IN ESERCIZIO - MASSIME TENSIONI NORMALI ED APERTURA FESSURE (NTC/EC2)

Ver	S = comb. verificata/ N = comb. non verificata
Sc max	Massima tensione (positiva se di compressione) nel calcestruzzo [MPa]
Xc max, Yc max	Ascissa, Ordinata [cm] del punto corrisp. a Sc max (sistema rif. X,Y,O)
Ss min	Minima tensione (negativa se di trazione) nell'acciaio [MPa]
Xs min, Ys min	Ascissa, Ordinata [cm] della barra corrisp. a Ss min (sistema rif. X,Y,O)
Ac eff.	Area di calcestruzzo [cm ²] in zona tesa considerata aderente alle barre
As eff.	Area barre [cm ²] in zona tesa considerate efficaci per l'apertura delle fessure

N°Comb	Ver	Sc max	Xc max	Yc max	Ss min	Xs min	Ys min	Ac eff.	As eff.
1	S	2.48	0.0	70.0	-84.1	82.2	8.6	1700	31.4

COMBINAZIONI RARE IN ESERCIZIO - APERTURA FESSURE [§ 7.3.4 EC2]

La sezione viene assunta sempre fessurata anche nel caso in cui la trazione minima del calcestruzzo sia inferiore a f_{ctm}

GENERAL CONTRACTOR 		ALTA SORVEGLIANZA 			
		Progetto	Lotto	Codifica	
		IN17	12	EI2CLSL2300003	A

Ver.	Esito della verifica
e1	Massima deformazione unitaria di trazione nel calcestruzzo (trazione -) valutata in sezione fessurata
e2	Minima deformazione unitaria di trazione nel calcestruzzo (trazione -) valutata in sezione fessurata
k1	= 0.8 per barre ad aderenza migliorata [eq.(7.11)EC2]
kt	= 0.4 per comb. quasi permanenti / = 0.6 per comb.frequenti [cfr. eq.(7.9)EC2]
k2	= 0.5 per flessione; $=(e1 + e2)/(2*e1)$ per trazione eccentrica [eq.(7.13)EC2]
k3	= 3.400 Coeff. in eq.(7.11) come da annessi nazionali
k4	= 0.425 Coeff. in eq.(7.11) come da annessi nazionali
Ø	Diametro [mm] equivalente delle barre tese comprese nell'area efficace Ac eff [eq.(7.11)EC2]
Cf	Copriferro [mm] netto calcolato con riferimento alla barra più tesa
e sm - e cm	Differenza tra le deformazioni medie di acciaio e calcestruzzo [(7.8)EC2 e (C4.1.7)NTC] Tra parentesi: valore minimo = 0.6 Smax / Es [(7.9)EC2 e (C4.1.8)NTC]
sr max	Massima distanza tra le fessure [mm]
wk	Apertura fessure in mm calcolata = sr max*(e_sm - e_cm) [(7.8)EC2 e (C4.1.7)NTC]. Valore limite tra parentesi
Mx fess.	Componente momento di prima fessurazione intorno all'asse X [kNm]
My fess.	Componente momento di prima fessurazione intorno all'asse Y [kNm]

Comb.	Ver	e1	e2	k2	Ø	Cf	e sm - e cm	sr max	wk	Mx fess	My fess
1	S	-0.00051	0.00000	0.500	20.0	76	0.00025 (0.00025)	442	0.112 (990.00)	303.25	0.00

COMBINAZIONI FREQUENTI IN ESERCIZIO - MASSIME TENSIONI NORMALI ED APERTURA FESSURE (NTC/EC2)

N°Comb	Ver	Sc max	Xc max	Yc max	Ss min	Xs min	Ys min	Ac eff.	As eff.
1	S	2.30	100.0	70.0	-78.3	17.8	8.6	1700	31.4

COMBINAZIONI FREQUENTI IN ESERCIZIO - APERTURA FESSURE [§ 7.3.4 EC2]



Comb.	Ver	e1	e2	k2	Ø	Cf	e sm - e cm	sr max	wk	Mx fess	My fess
1	S	-0.00047	0.00000	0.500	20.0	76	0.00024 (0.00024)	442	0.104 (0.20)	303.25	0.00

COMBINAZIONI QUASI PERMANENTI IN ESERCIZIO - MASSIME TENSIONI NORMALI ED APERTURA FESSURE (NTC/EC2)

N°Comb	Ver	Sc max	Xc max	Yc max	Ss min	Xs min	Ys min	Ac eff.	As eff.
1	S	1.79	100.0	70.0	-60.9	8.6	8.6	1700	31.4

COMBINAZIONI QUASI PERMANENTI IN ESERCIZIO - APERTURA FESSURE [§ 7.3.4 EC2]

Comb.	Ver	e1	e2	k2	Ø	Cf	e sm - e cm	sr max	wk	Mx fess	My fess
1	S	-0.00037	0.00000	0.500	20.0	76	0.00018 (0.00018)	442	0.081 (0.20)	303.25	0.00

GENERAL CONTRACTOR 		ALTA SORVEGLIANZA 			
		Progetto	Lotto	Codifica	
		IN17	12	EI2CLSL2300003	A

SEZIONE					
b_w	=	100	cm		
h	=	70	cm		
c	=	5	cm		
d	=	$h-c$	=	65	cm
MATERIALI					
f_{ywd}	=	391.30	MPa		
R_{ck}	=	40	MPa		
γ_c	=	1.5			
f_{ck}	=	$0.83 \times R_{ck}$	=	33.2	MPa
f_{cd}	=	$0.85 \times f_{ck} / \gamma_c$	=	18.81	MPa
ARMATURE A TAGLIO					
\varnothing_{st}	=	12			
braccia	=	2.5			
\varnothing_{st2}	=	0			
braccia	=	0			
passo	=	40	cm		
(A_{sw} / s)	=	7.069	cm^2 / m		
α	=	90	$^\circ$	(90° staffe verticali)	
TAGLIO AGENTE		$V_{Ed} =$	125	(KN)	
SFORZO NORMALE		$N_{Ed} =$	0	(KN)	
		$\alpha_c =$	1.0000		
ELEMENTI CON ARMATURA A TAGLIO					
Calcolo di $\cot \theta$					
$\cot(\theta) =$		5.75			
$\theta =$		9.87 $^\circ$			
$\cot \vartheta > 2,5$ Si assume $\vartheta = 21,8^\circ$					
Armatura trasversale					
$V_{Rsd} =$		404.52 (KN)			
$V_{Rcd} =$		1897.55 (KN)			
$V_{Rd} =$		405 (KN)	$\min(V_{Rsd}, V_{Rcd})$		

8.6.3 Piedritti – sezione di incastro

CARATTERISTICHE DI RESISTENZA DEI MATERIALI IMPIEGATI

GENERAL CONTRACTOR



ALTA SORVEGLIANZA



Progetto

Lotto

Codifica

IN17

12

EI2CLSL2300003

A

CALCESTRUZZO -	Classe:	C32/40	
	Resis. compr. di progetto fcd:	18.8	MPa
	Def.unit. max resistenza ec2:	0.0020	
	Def.unit. ultima ecu:	0.0035	
	Diagramma tensione-deformaz.:	Parabola-Rettangolo	
	Modulo Elastico Normale Ec:	33642.8	MPa
	Resis. media a trazione fctm:	3.10	MPa
	Coeff. Omogen. S.L.E.:	15.00	
	Sc limite S.L.E. comb. Rare:	19.9	MPa
	Sc limite S.L.E. comb. Frequenti:	19.9	MPa
	Ap.Fessure limite S.L.E. comb. Frequenti:	0.200	mm
	Sc limite S.L.E. comb. Q.Permanenti:	14.9	MPa
	Ap.Fess.limite S.L.E. comb. Q.Perm.:	0.200	mm

ACCIAIO -	Tipo:	B450C	
	Resist. caratt. snervam. fyk:	450.0	MPa
	Resist. caratt. rottura ftk:	450.0	MPa
	Resist. snerv. di progetto fyd:	391.3	MPa
	Resist. ultima di progetto ftd:	391.3	MPa
	Deform. ultima di progetto Epu:	0.068	
	Modulo Elastico Ef	2000000	daN/cm ²
	Diagramma tensione-deformaz.:	Bilineare finito	
	Coeff. Aderenza istantaneo $\beta_1 \beta_2$:	1.00	
	Coeff. Aderenza differito $\beta_1 \beta_2$:	0.50	
Sf limite S.L.E. Comb. Rare:	360.00	MPa	

CARATTERISTICHE DOMINIO CALCESTRUZZO

Forma del Dominio: Poligonale
Classe Calcestruzzo: C32/40

N° vertice:	X [cm]	Y [cm]
1	100.0	50.0
2	100.0	0.0
3	0.0	0.0
4	0.0	50.0



DATI BARRE ISOLATE

N° Barra	X [cm]	Y [cm]	DiamØ [mm]
1	91.4	41.4	20
2	91.4	8.6	20
3	8.6	8.6	20
4	8.6	41.4	20

DATI GENERAZIONI LINEARI DI BARRE

N° Gen. Numero assegnato alla singola generazione lineare di barre
N° Barra Ini. Numero della barra iniziale cui si riferisce la generazione
N° Barra Fin. Numero della barra finale cui si riferisce la generazione
N° Barre Numero di barre generate equidistanti cui si riferisce la generazione
Ø Diametro in mm delle barre della generazione

N° Gen.	N° Barra Ini.	N° Barra Fin.	N° Barre	Ø
1	1	4	8	20
2	3	2	3	20

<p>GENERAL CONTRACTOR</p> 	<p>ALTA SORVEGLIANZA</p> 			
	<p>Progetto</p> <p>IN17</p>	<p>Lotto</p> <p>12</p>	<p>Codifica</p> <p>EI2CLSL2300003</p>	<p>A</p>

CALCOLO DI RESISTENZA - SFORZI PER OGNI COMBINAZIONE ASSEGNATA

N	Sforzo normale [kN] applicato nel Baric. (+ se di compressione)				
Mx	Momento flettente [kNm] intorno all'asse x princ. d'inerzia con verso positivo se tale da comprimere il lembo sup. della sez.				
My	Momento flettente [kNm] intorno all'asse y princ. d'inerzia con verso positivo se tale da comprimere il lembo destro della sez.				
Vy	Componente del Taglio [kN] parallela all'asse princ.d'inerzia y				
Vx	Componente del Taglio [kN] parallela all'asse princ.d'inerzia x				
N°Comb.	N	Mx	My	Vy	Vx
1	70.00	-205.00	0.00	0.00	0.00
2	50.00	-440.00	0.00	0.00	0.00

COMB. RARE (S.L.E.) - SFORZI PER OGNI COMBINAZIONE ASSEGNATA

N	Sforzo normale [kN] applicato nel Baricentro (+ se di compressione)		
Mx	Momento flettente [kNm] intorno all'asse x princ. d'inerzia (tra parentesi Mom.Fessurazione) con verso positivo se tale da comprimere il lembo superiore della sezione		
My	Momento flettente [kNm] intorno all'asse y princ. d'inerzia (tra parentesi Mom.Fessurazione) con verso positivo se tale da comprimere il lembo destro della sezione		
N°Comb.	N	Mx	My
1	50.00	-145.00	0.00

COMB. FREQUENTI (S.L.E.) - SFORZI PER OGNI COMBINAZIONE ASSEGNATA

N	Sforzo normale [kN] applicato nel Baricentro (+ se di compressione)		
Mx	Momento flettente [kNm] intorno all'asse x princ. d'inerzia (tra parentesi Mom.Fessurazione) con verso positivo se tale da comprimere il lembo superiore della sezione		
My	Momento flettente [kNm] intorno all'asse y princ. d'inerzia (tra parentesi Mom.Fessurazione) con verso positivo se tale da comprimere il lembo destro della sezione		
N°Comb.	N	Mx	My
1	50.00	-135.00 (-161.50)	0.00 (0.00)

COMB. QUASI PERMANENTI (S.L.E.) - SFORZI PER OGNI COMBINAZIONE ASSEGNATA

N	Sforzo normale [kN] applicato nel Baricentro (+ se di compressione)		
Mx	Momento flettente [kNm] intorno all'asse x princ. d'inerzia (tra parentesi Mom.Fessurazione) con verso positivo se tale da comprimere il lembo superiore della sezione		
My	Momento flettente [kNm] intorno all'asse y princ. d'inerzia (tra parentesi Mom.Fessurazione) con verso positivo se tale da comprimere il lembo destro della sezione		
N°Comb.	N	Mx	My
1	50.00	-105.00 (-162.96)	0.00 (0.00)



RISULTATI DEL CALCOLO

Sezione verificata per tutte le combinazioni assegnate

Copriferro netto minimo barre longitudinali: 7.6 cm

VERIFICHE DI RESISTENZA IN PRESSO-TENSO FLESSIONE ALLO STATO LIMITE ULTIMO

Ver S = combinazione verificata / N = combin. non verificata

GENERAL CONTRACTOR 	ALTA SORVEGLIANZA  GRUPPO FERROVIE DELLO STATO ITALIANE			
	Progetto	Lotto	Codifica	
	IN17	12	EI2CLSL2300003	A

N Sforzo normale assegnato [kN] nel baricentro B sezione cls.(positivo se di compressione)
 Mx Componente del momento assegnato [kNm] riferito all'asse x princ. d'inerzia
 My Componente del momento assegnato [kNm] riferito all'asse y princ. d'inerzia
 N Res Sforzo normale resistente [kN] nel baricentro B sezione cls.(positivo se di compress.)
 Mx Res Momento flettente resistente [kNm] riferito all'asse x princ. d'inerzia
 My Res Momento flettente resistente [kNm] riferito all'asse y princ. d'inerzia
 Mis.Sic. Misura sicurezza = rapporto vettoriale tra (N r,Mx Res,My Res) e (N,Mx,My)
 Verifica positiva se tale rapporto risulta >=1.000
 As Tesa Area armature trave [cm²] in zona tesa. [Tra parentesi l'area minima ex (4.1.15)NTC]

N°Comb	Ver	N	Mx	My	N Res	Mx Res	My Res	Mis.Sic.	As Tesa
1	N	70.00	-205.00	0.00	70.02	-480.37	0.00	2.34	31.4(9.0)
2	N	50.00	-440.00	0.00	50.15	-476.95	0.00	1.08	31.4(9.0)

METODO AGLI STATI LIMITE ULTIMI - DEFORMAZIONI UNITARIE ALLO STATO ULTIMO

ec max Deform. unit. massima del calcestruzzo a compressione
 x/d Rapporto di duttilità [§ 4.1.2.1.2.1 NTC] deve essere < 0.45
 Xc max Ascissa in cm della fibra corrisp. a ec max (sistema rif. X,Y,O sez.)
 Yc max Ordinata in cm della fibra corrisp. a ec max (sistema rif. X,Y,O sez.)
 es min Deform. unit. minima nell'acciaio (negativa se di trazione)
 Xs min Ascissa in cm della barra corrisp. a es min (sistema rif. X,Y,O sez.)
 Ys min Ordinata in cm della barra corrisp. a es min (sistema rif. X,Y,O sez.)
 es max Deform. unit. massima nell'acciaio (positiva se di compress.)
 Xs max Ascissa in cm della barra corrisp. a es max (sistema rif. X,Y,O sez.)
 Ys max Ordinata in cm della barra corrisp. a es max (sistema rif. X,Y,O sez.)

N°Comb	ec max	x/d	Xc max	Yc max	es min	Xs min	Ys min	es max	Xs max	Ys max
1	0.00350	0.207	0.0	0.0	-0.00002	8.6	8.6	-0.01343	91.4	41.4
2	0.00350	0.205	0.0	0.0	-0.00005	8.6	8.6	-0.01357	91.4	41.4

POSIZIONE ASSE NEUTRO PER OGNI COMB. DI RESISTENZA

a, b, c Coeff. a, b, c nell'eq. dell'asse neutro $aX+bY+c=0$ nel rif. X,Y,O gen.
 x/d Rapp. di duttilità (travi e solette)[§ 4.1.2.1.2.1 NTC]: deve essere < 0.45
 C.Rid. Coeff. di riduz. momenti per sola flessione in travi continue

N°Comb	a	b	c	x/d	C.Rid.
1	0.00000000	-0.000408855	0.003500000	0.207	0.700
2	0.00000000	-0.000412268	0.003500000	0.205	0.700


COMBINAZIONI RARE IN ESERCIZIO - MASSIME TENSIONI NORMALI ED APERTURA FESSURE (NTC/EC2)

Ver S = comb. verificata/ N = comb. non verificata
 Sc max Massima tensione (positiva se di compressione) nel calcestruzzo [MPa]
 Xc max, Yc max Ascissa, Ordinata [cm] del punto corrisp. a Sc max (sistema rif. X,Y,O)
 Ss min Minima tensione (negativa se di trazione) nell'acciaio [MPa]
 Xs min, Ys min Ascissa, Ordinata [cm] della barra corrisp. a Ss min (sistema rif. X,Y,O)
 Ac eff. Area di calcestruzzo [cm²] in zona tesa considerata aderente alle barre
 As eff. Area barre [cm²] in zona tesa considerate efficaci per l'apertura delle fessure

N°Comb	Ver	Sc max	Xc max	Yc max	Ss min	Xs min	Ys min	Ac eff.	As eff.
1	S	4.84	0.0	0.0	-120.3	91.4	41.4	1150	31.4

COMBINAZIONI RARE IN ESERCIZIO - APERTURA FESSURE [§ 7.3.4 EC2]

Ver. La sezione viene assunta sempre fessurata anche nel caso in cui la trazione minima del calcestruzzo sia inferiore a f_{ctm}
 e1 Esito della verifica
 e2 Massima deformazione unitaria di trazione nel calcestruzzo (trazione -) valutata in sezione fessurata
 e2 Minima deformazione unitaria di trazione nel calcestruzzo (trazione -) valutata in sezione fessurata

GENERAL CONTRACTOR 		ALTA SORVEGLIANZA 			
		Progetto	Lotto	Codifica	
		IN17	12	EI2CLSL2300003	A

k1 = 0.8 per barre ad aderenza migliorata [eq.(7.11)EC2]
 kt = 0.4 per comb. quasi permanenti / = 0.6 per comb.frequenti [cfr. eq.(7.9)EC2]
 k2 = 0.5 per flessione; $= (e1 + e2) / (2 * e1)$ per trazione eccentrica [eq.(7.13)EC2]
 k3 = 3.400 Coeff. in eq.(7.11) come da annessi nazionali
 k4 = 0.425 Coeff. in eq.(7.11) come da annessi nazionali
 Ø Diametro [mm] equivalente delle barre tese comprese nell'area efficace Ac eff [eq.(7.11)EC2]
 Cf Copriferro [mm] netto calcolato con riferimento alla barra più tesa
 e sm - e cm Differenza tra le deformazioni medie di acciaio e calcestruzzo [(7.8)EC2 e (C4.1.7)NTC]
 Tra parentesi: valore minimo = 0.6 Smax / Es [(7.9)EC2 e (C4.1.8)NTC]
 sr max Massima distanza tra le fessure [mm]
 wk Apertura fessure in mm calcolata = sr max * (e_sm - e_cm) [(7.8)EC2 e (C4.1.7)NTC]. Valore limite tra parentesi
 Mx fess. Componente momento di prima fessurazione intorno all'asse X [kNm]
 My fess. Componente momento di prima fessurazione intorno all'asse Y [kNm]

Comb.	Ver	e1	e2	k2	Ø	Cf	e sm - e cm	sr max	wk	Mx fess	My fess
1	S	-0.00080	0.00000	0.500	20.0	76	0.00036 (0.00036)	383	0.138 (990.00)	-161.15	0.00

COMBINAZIONI FREQUENTI IN ESERCIZIO - MASSIME TENSIONI NORMALI ED APERTURA FESSURE (NTC/EC2)

N°Comb	Ver	Sc max	Xc max	Yc max	Ss min	Xs min	Ys min	Ac eff.	As eff.
1	S	4.51	100.0	0.0	-111.5	17.8	41.4	1150	31.4

COMBINAZIONI FREQUENTI IN ESERCIZIO - APERTURA FESSURE [§ 7.3.4 EC2]

Comb.	Ver	e1	e2	k2	Ø	Cf	e sm - e cm	sr max	wk	Mx fess	My fess
1	S	-0.00074	0.00000	0.500	20.0	76	0.00033 (0.00033)	383	0.128 (0.20)	-161.50	0.00

COMBINAZIONI QUASI PERMANENTI IN ESERCIZIO - MASSIME TENSIONI NORMALI ED APERTURA FESSURE (NTC/EC2)

N°Comb	Ver	Sc max	Xc max	Yc max	Ss min	Xs min	Ys min	Ac eff.	As eff.
1	S	3.52	100.0	0.0	-85.0	8.6	41.4	1150	31.4

COMBINAZIONI QUASI PERMANENTI IN ESERCIZIO - APERTURA FESSURE [§ 7.3.4 EC2]

Comb.	Ver	e1	e2	k2	Ø	Cf	e sm - e cm	sr max	wk	Mx fess	My fess
1	S	-0.00057	0.00000	0.500	20.0	76	0.00025 (0.00025)	383	0.098 (0.20)	-162.96	0.00

GENERAL CONTRACTOR



ALTA SORVEGLIANZA



Progetto

Lotto

Codifica

IN17

12

E12CLSL2300003

A

SEZIONE

b_w	=	100	cm		
h	=	50	cm		
c	=	5	cm		
d	=	$h-c$	=	45	cm

MATERIALI

f_{ywd}	=	391.30	MPa		
R_{ck}	=	40	MPa		
γ_c	=	1.5			
f_{ck}	=	$0.83 \times R_{ck}$	=	33.2	MPa
f_{cd}	=	$0.85 \times f_{ck} / \gamma_c$	=	18.81	MPa

ARMATURE A TAGLIO

\varnothing_{st}	=	12			
braccia	=	3			
\varnothing_{st2}	=	0			
braccia	=	0			
passo	=	33	cm		
(A_{sw} / s)	=	10.282	cm^2 / m		
α	=	90	$^\circ$		(90° staffe verticali)

TAGLIO AGENTE	$V_{Ed} =$	220	(KN)
SFORZO NORMALE	$N_{Ed} =$	0	(KN)
	$\alpha_c =$	1.0000	

ELEMENTI CON ARMATURA A TAGLIO**Calcolo di $\cot \theta$**

$$\cot(\theta) = 4.73$$

$$\theta = 11.94^\circ$$

$$\cot \vartheta > 2,5$$

Si assume

$$\vartheta = 21,8^\circ$$



Armatura trasversale

$$V_{Rsd} = 407.35 \text{ (KN)}$$

$$V_{Rcd} = 1313.69 \text{ (KN)}$$

$$V_{Rd} = 407 \text{ (KN)}$$

$$\min(V_{Rsd}, V_{Rcd})$$

<p>GENERAL CONTRACTOR</p> 	<p>ALTA SORVEGLIANZA</p> 			
	Progetto	Lotto	Codifica	
	IN17	12	EI2CLSL2300003	A

8.6.4 Piedritti – sezione mezzeria

CARATTERISTICHE DI RESISTENZA DEI MATERIALI IMPIEGATI

CALCESTRUZZO -	Classe:	C32/40	
	Resis. compr. di progetto fcd:	18.8	MPa
	Def.unit. max resistenza ec2:	0.0020	
	Def.unit. ultima ecu:	0.0035	
	Diagramma tensione-deformaz.:	Parabola-Rettangolo	
	Modulo Elastico Normale Ec:	33642.8	MPa
	Resis. media a trazione fctm:	3.10	MPa
	Coeff. Omogen. S.L.E.:	15.00	
	Sc limite S.L.E. comb. Rare:	19.9	MPa
	Sc limite S.L.E. comb. Frequenti:	19.9	MPa
	Ap.Fessure limite S.L.E. comb. Frequenti:	0.200	mm
	Sc limite S.L.E. comb. Q.Permanenti:	14.9	MPa
	Ap.Fess.limite S.L.E. comb. Q.Perm.:	0.200	mm
ACCIAIO -	Tipo:	B450C	
	Resist. caratt. snervam. fyk:	450.0	MPa
	Resist. caratt. rottura ftk:	450.0	MPa
	Resist. snerv. di progetto fyd:	391.3	MPa
	Resist. ultima di progetto ftd:	391.3	MPa
	Deform. ultima di progetto Epu:	0.068	
	Modulo Elastico Ef	2000000	daN/cm ²
	Diagramma tensione-deformaz.:	Bilineare finito	
	Coeff. Aderenza istantaneo $\beta_1 \cdot \beta_2$:	1.00	
	Coeff. Aderenza differito $\beta_1 \cdot \beta_2$:	0.50	
Sf limite S.L.E. Comb. Rare:	360.00	MPa	

CARATTERISTICHE DOMINIO CALCESTRUZZO



Forma del Dominio:	Poligonale	
Classe Calcestruzzo:	C32/40	
N°vertice:	X [cm]	Y [cm]
1	100.0	50.0
2	100.0	0.0
3	0.0	0.0
4	0.0	50.0

DATI BARRE ISOLATE

N°Barra	X [cm]	Y [cm]	DiamØ[mm]
1	91.4	41.4	20
2	91.4	8.6	20
3	8.6	8.6	20
4	8.6	41.4	20

DATI GENERAZIONI LINEARI DI BARRE

N°Gen.	Numero assegnato alla singola generazione lineare di barre			
N°Barra Ini.	Numero della barra iniziale cui si riferisce la generazione			
N°Barra Fin.	Numero della barra finale cui si riferisce la generazione			
N°Barre	Numero di barre generate equidistanti cui si riferisce la generazione			
Ø	Diametro in mm delle barre della generazione			
N°Gen.	N°Barra Ini.	N°Barra Fin.	N°Barre	Ø

GENERAL CONTRACTOR 	ALTA SORVEGLIANZA 			
	Progetto	Lotto	Codifica	
	IN17	12	E12CLSL2300003	A

1	1	4	3	20
2	3	2	3	20

CALCOLO DI RESISTENZA - SFORZI PER OGNI COMBINAZIONE ASSEGNATA

N	Sforzo normale [kN] applicato nel Baric. (+ se di compressione)
Mx	Momento flettente [kNm] intorno all'asse x princ. d'inerzia con verso positivo se tale da comprimere il lembo sup. della sez.
My	Momento flettente [kNm] intorno all'asse y princ. d'inerzia con verso positivo se tale da comprimere il lembo destro della sez.
Vy	Componente del Taglio [kN] parallela all'asse princ.d'inerzia y
Vx	Componente del Taglio [kN] parallela all'asse princ.d'inerzia x

N°Comb.	N	Mx	My	Vy	Vx
1	35.00	-60.00	0.00	0.00	0.00
2	25.00	-115.00	0.00	0.00	0.00

COMB. RARE (S.L.E.) - SFORZI PER OGNI COMBINAZIONE ASSEGNATA

N	Sforzo normale [kN] applicato nel Baricentro (+ se di compressione)
Mx	Momento flettente [kNm] intorno all'asse x princ. d'inerzia (tra parentesi Mom.Fessurazione) con verso positivo se tale da comprimere il lembo superiore della sezione
My	Momento flettente [kNm] intorno all'asse y princ. d'inerzia (tra parentesi Mom.Fessurazione) con verso positivo se tale da comprimere il lembo destro della sezione

N°Comb.	N	Mx	My
1	25.00	-45.00	0.00

COMB. FREQUENTI (S.L.E.) - SFORZI PER OGNI COMBINAZIONE ASSEGNATA

N	Sforzo normale [kN] applicato nel Baricentro (+ se di compressione)
Mx	Momento flettente [kNm] intorno all'asse x princ. d'inerzia (tra parentesi Mom.Fessurazione) con verso positivo se tale da comprimere il lembo superiore della sezione
My	Momento flettente [kNm] intorno all'asse y princ. d'inerzia (tra parentesi Mom.Fessurazione) con verso positivo se tale da comprimere il lembo destro della sezione

N°Comb.	N	Mx	My
1	25.00	-35.00 (-154.25)	0.00 (0.00)

COMB. QUASI PERMANENTI (S.L.E.) - SFORZI PER OGNI COMBINAZIONE ASSEGNATA



N	Sforzo normale [kN] applicato nel Baricentro (+ se di compressione)
Mx	Momento flettente [kNm] intorno all'asse x princ. d'inerzia (tra parentesi Mom.Fessurazione) con verso positivo se tale da comprimere il lembo superiore della sezione
My	Momento flettente [kNm] intorno all'asse y princ. d'inerzia (tra parentesi Mom.Fessurazione) con verso positivo se tale da comprimere il lembo destro della sezione

N°Comb.	N	Mx	My
1	25.00	-25.00 (-158.36)	0.00 (0.00)

RISULTATI DEL CALCOLO

Sezione verificata per tutte le combinazioni assegnate

Copriferro netto minimo barre longitudinali: 7.6 cm

GENERAL CONTRACTOR 		ALTA SORVEGLIANZA  GRUPPO FERROVIE DELLO STATO ITALIANE			
		Progetto	Lotto	Codifica	
		IN17	12	EI2CLSL2300003	A

VERIFICHE DI RESISTENZA IN PRESSO-TENSO FLESSIONE ALLO STATO LIMITE ULTIMO

Ver	S = combinazione verificata / N = combin. non verificata
N	Sforzo normale assegnato [kN] nel baricentro B sezione cls.(positivo se di compressione)
Mx	Componente del momento assegnato [kNm] riferito all'asse x princ. d'inerzia
My	Componente del momento assegnato [kNm] riferito all'asse y princ. d'inerzia
N Res	Sforzo normale resistente [kN] nel baricentro B sezione cls.(positivo se di compress.)
Mx Res	Momento flettente resistente [kNm] riferito all'asse x princ. d'inerzia
My Res	Momento flettente resistente [kNm] riferito all'asse y princ. d'inerzia
Mis.Sic.	Misura sicurezza = rapporto vettoriale tra (N r,Mx Res,My Res) e (N,Mx,My) Verifica positiva se tale rapporto risulta >=1.000
As Tesa	Area armature trave [cm ²] in zona tesa. [Tra parentesi l'area minima ex (4.1.15)NTC]

N°Comb	Ver	N	Mx	My	N Res	Mx Res	My Res	Mis.Sic.	As Tesa
1	N	35.00	-60.00	0.00	35.09	-265.91	0.00	4.43	31.4(9.0)
2	N	25.00	-115.00	0.00	25.11	-264.15	0.00	2.30	31.4(9.0)

METODO AGLI STATI LIMITE ULTIMI - DEFORMAZIONI UNITARIE ALLO STATO ULTIMO

ec max	Deform. unit. massima del calcestruzzo a compressione
x/d	Rapporto di duttilità [§ 4.1.2.1.2.1 NTC] deve essere < 0.45
Xc max	Ascissa in cm della fibra corrisp. a ec max (sistema rif. X,Y,O sez.)
Yc max	Ordinata in cm della fibra corrisp. a ec max (sistema rif. X,Y,O sez.)
es min	Deform. unit. minima nell'acciaio (negativa se di trazione)
Xs min	Ascissa in cm della barra corrisp. a es min (sistema rif. X,Y,O sez.)
Ys min	Ordinata in cm della barra corrisp. a es min (sistema rif. X,Y,O sez.)
es max	Deform. unit. massima nell'acciaio (positiva se di compress.)
Xs max	Ascissa in cm della barra corrisp. a es max (sistema rif. X,Y,O sez.)
Ys max	Ordinata in cm della barra corrisp. a es max (sistema rif. X,Y,O sez.)

N°Comb	ec max	x/d	Xc max	Yc max	es min	Xs min	Ys min	es max	Xs max	Ys max
1	0.00350	0.158	0.0	0.0	-0.00110	8.6	8.6	-0.01866	91.4	41.4
2	0.00350	0.157	0.0	0.0	-0.00112	8.6	8.6	-0.01876	91.4	41.4

POSIZIONE ASSE NEUTRO PER OGNI COMB. DI RESISTENZA

a, b, c	Coeff. a, b, c nell'eq. dell'asse neutro aX+bY+c=0 nel rif. X,Y,O gen.
x/d	Rapp. di duttilità (travi e solette)[§ 4.1.2.1.2.1 NTC]: deve essere < 0.45
C.Rid.	Coeff. di riduz. momenti per sola flessione in travi continue

N°Comb	a	b	c	x/d	C.Rid.
1	0.000000000	-0.000535360	0.003500000	0.158	0.700
2	0.000000000	-0.000537569	0.003500000	0.157	0.700



COMBINAZIONI RARE IN ESERCIZIO - MASSIME TENSIONI NORMALI ED APERTURA FESSURE (NTC/EC2)

Ver	S = comb. verificata/ N = comb. non verificata
Sc max	Massima tensione (positiva se di compressione) nel calcestruzzo [MPa]
Xc max, Yc max	Ascissa, Ordinata [cm] del punto corrisp. a Sc max (sistema rif. X,Y,O)
Ss min	Minima tensione (negativa se di trazione) nell'acciaio [MPa]
Xs min, Ys min	Ascissa, Ordinata [cm] della barra corrisp. a Ss min (sistema rif. X,Y,O)
Ac eff.	Area di calcestruzzo [cm ²] in zona tesa considerata aderente alle barre
As eff.	Area barre [cm ²] in zona tesa considerate efficaci per l'apertura delle fessure

N°Comb	Ver	Sc max	Xc max	Yc max	Ss min	Xs min	Ys min	Ac eff.	As eff.
1	S	1.94	0.0	0.0	-68.9	70.7	41.4	1250	15.7

COMBINAZIONI RARE IN ESERCIZIO - APERTURA FESSURE [§ 7.3.4 EC2]

La sezione viene assunta sempre fessurata anche nel caso in cui la trazione minima del calcestruzzo sia inferiore a f_{ctm}

GENERAL CONTRACTOR 		ALTA SORVEGLIANZA 			
		Progetto	Lotto	Codifica	
		IN17	12	EI2CLSL2300003	A

Ver.	Esito della verifica
e1	Massima deformazione unitaria di trazione nel calcestruzzo (trazione -) valutata in sezione fessurata
e2	Minima deformazione unitaria di trazione nel calcestruzzo (trazione -) valutata in sezione fessurata
k1	= 0.8 per barre ad aderenza migliorata [eq.(7.11)EC2]
kt	= 0.4 per comb. quasi permanenti / = 0.6 per comb.frequenti [cfr. eq.(7.9)EC2]
k2	= 0.5 per flessione; $=(e1 + e2)/(2*e1)$ per trazione eccentrica [eq.(7.13)EC2]
k3	= 3.400 Coeff. in eq.(7.11) come da annessi nazionali
k4	= 0.425 Coeff. in eq.(7.11) come da annessi nazionali
Ø	Diametro [mm] equivalente delle barre tese comprese nell'area efficace Ac eff [eq.(7.11)EC2]
Cf	Copriferro [mm] netto calcolato con riferimento alla barra più tesa
e sm - e cm	Differenza tra le deformazioni medie di acciaio e calcestruzzo [(7.8)EC2 e (C4.1.7)NTC] Tra parentesi: valore minimo = 0.6 Smax / Es [(7.9)EC2 e (C4.1.8)NTC]
sr max	Massima distanza tra le fessure [mm]
wk	Apertura fessure in mm calcolata = sr max*(e_sm - e_cm) [(7.8)EC2 e (C4.1.7)NTC]. Valore limite tra parentesi
Mx fess.	Componente momento di prima fessurazione intorno all'asse X [kNm]
My fess.	Componente momento di prima fessurazione intorno all'asse Y [kNm]

Comb.	Ver	e1	e2	k2	Ø	Cf	e sm - e cm	sr max	wk	Mx fess	My fess
1	S	-0.00045	0.00000	0.500	20.0	76	0.00021 (0.00021)	529	0.109 (990.00)	-152.05	0.00

COMBINAZIONI FREQUENTI IN ESERCIZIO - MASSIME TENSIONI NORMALI ED APERTURA FESSURE (NTC/EC2)

N°Comb	Ver	Sc max	Xc max	Yc max	Ss min	Xs min	Ys min	Ac eff.	As eff.
1	S	1.51	100.0	0.0	-51.8	50.0	41.4	1250	15.7

COMBINAZIONI FREQUENTI IN ESERCIZIO - APERTURA FESSURE [§ 7.3.4 EC2]

Comb.	Ver	e1	e2	k2	Ø	Cf	e sm - e cm	sr max	wk	Mx fess	My fess
1	S	-0.00034	0.00000	0.500	20.0	76	0.00016 (0.00016)	529	0.082 (0.20)	-154.25	0.00

COMBINAZIONI QUASI PERMANENTI IN ESERCIZIO - MASSIME TENSIONI NORMALI ED APERTURA FESSURE (NTC/EC2)

N°Comb	Ver	Sc max	Xc max	Yc max	Ss min	Xs min	Ys min	Ac eff.	As eff.
1	S	1.08	100.0	0.0	-34.8	50.0	41.4	1250	15.7

COMBINAZIONI QUASI PERMANENTI IN ESERCIZIO - APERTURA FESSURE [§ 7.3.4 EC2]

Comb.	Ver	e1	e2	k2	Ø	Cf	e sm - e cm	sr max	wk	Mx fess	My fess
1	S	-0.00023	0.00000	0.500	20.0	76	0.00010 (0.00010)	529	0.055 (0.20)	-158.36	0.00

GENERAL CONTRACTOR



ALTA SORVEGLIANZA



Progetto

Lotto

Codifica

IN17

12

EI2CLSL2300003

A

SEZIONE

b_w	=	100	cm		
h	=	50	cm		
c	=	5	cm		
d	=	$h-c$	=	45	cm

MATERIALI

f_{ywd}	=	391.30	MPa		
R_{ck}	=	40	MPa		
γ_c	=	1.5			
f_{ck}	=	$0.83 \times R_{ck}$	=	33.2	MPa
f_{cd}	=	$0.85 \times f_{ck} / \gamma_c$	=	18.81	MPa

ARMATURE A TAGLIO

\varnothing_{st}	=	12			
braccia	=	3			
\varnothing_{st2}	=	0			
braccia	=	0			
passo	=	33	cm		
(A_{sw} / s)	=	10.282	cm^2 / m		
α	=	90	$^\circ$		(90° staffe verticali)

TAGLIO AGENTE	$V_{Ed} =$	105	(KN)
SFORZO NORMALE	$N_{Ed} =$	0	(KN)
	$\alpha_c =$	1.0000	

ELEMENTI CON ARMATURA A TAGLIO**Calcolo di $\cot \theta$**

$$\cot(\theta) = 4.73$$

$$\theta = 11.94^\circ$$

$$\cot \vartheta > 2,5$$

Si assume

$$\vartheta = 21,8^\circ$$



Armatura trasversale

$$V_{Rsd} = 407.35 \text{ (KN)}$$

$$V_{Rcd} = 1313.69 \text{ (KN)}$$

$$V_{Rd} = 407 \text{ (KN)}$$

$$\min(V_{Rsd}, V_{Rcd})$$

GENERAL CONTRACTOR 	ALTA SORVEGLIANZA 			
	Progetto IN17	Lotto 12	Codifica EI2CLSL2300003	A

8.7 VERIFICHE GEOTECNICHE

8.7.1 Verifica della capacità portante

La verifica a capacità portante del complesso fondazione – terreno è stata effettuata applicando la combinazione (A1+M1+R3) dell'Approccio 2, tenendo conto dei valori dei coefficienti parziali riportati nelle Tabelle 6.2.I, 6.2.II e 6.4.I delle NTC2008. I coefficienti γ_R sono riportati nella seguente tabella 6.4.I delle NTC08):

Tab. 6.4.I – Coefficienti parziali γ_R per le verifiche agli stati limite ultimi di fondazioni superficiali

Verifica	Coefficiente parziale
	(R3)
Carico limite	$\gamma_R = 2,3$
Scorrimento	$\gamma_R = 1,1$

La pressione limite puo' essere calcolata in base alla formula generale di Brinch Hansen (1970):

$$q_{lim} = 0.5 \cdot \gamma \cdot B N_{\gamma} s_{\gamma} i_{\gamma} b_{\gamma} g_{\gamma} + q \cdot N_q s_q d_q i_q b_q g_q + c N_c s_c d_c i_c b_c g_c$$

(valida in condizioni drenate)

$$q_{lim} = c_U N_c^* d_c^* i_c^* s_c^* b_c^* g_c^* + q$$

(valida in condizioni non drenate)

essendo

N_q, N_c, N_{γ} i fattori di capacità portante in condizioni drenate;

N_c^* il fattore di capacità portante in condizioni non drenate;

$s_{\gamma} s_q s_c$ i fattori di forma della fondazione;

$i_{\gamma} i_q i_c$ i fattori correttivi per l'inclinazione del carico;

$b_{\gamma} b_q b_c$ i fattori correttivi per l'inclinazione della base della fondazione;

$g_{\gamma} g_q g_c$ i fattori correttivi per l'inclinazione del piano campagna;

$d_{\gamma} d_q d_c$ i fattori correttivi per la profondità del piano di posa;

$d_c^* i_c^* s_c^* b_c^* g_c^*$ i fattori correttivi corrispondenti rispettivamente a quanto sopra esposto ma validi in condizioni non drenate.

In condizioni drenate valgono le seguenti espressioni:

$$N_q = \text{tg}^2(45 + \phi' / 2) * e^{(\sigma * \text{tg} \phi')}$$

$$N_c = (N_q - 1) / \text{tg} \phi'$$

$$N_{\gamma} = 1.5(N_q - 1) * \text{tg} \phi'$$

$$i_{\gamma} = \left[1 - \frac{H}{N + B' \cdot c \cdot \cotg \phi'} \right]^{m+1}$$

$$i_{\xi} = i_c = \left[1 - \frac{H}{N + B' \cdot c \cdot \cotg \phi'} \right]^m$$

$$d_q = 1 + 2 \operatorname{tg} \phi' \cdot (1 - \sin \phi')^2 \cdot \frac{D}{B'} \quad \text{per } D/B' \leq 1$$

$$d_q = 1 + 2 \operatorname{tg} \phi' \cdot (1 - \sin \phi')^2 \cdot \operatorname{arctg} \left(\frac{D}{B'} \right) \quad \text{per } D/B' > 1$$

$$d_c = d_q - \frac{1 - d_q}{N_c \operatorname{tg} \phi'}$$

$$s_q = 1 + (B/2) \operatorname{tg} \phi'$$

$$s_{\gamma} = 1 - 0.4B/4$$

$$s_c = 1 + \frac{N_q B}{N_c L}$$

$$g_{\gamma} = g_q = (1 - 0.5 \operatorname{tg} \beta)^5$$

$$g_c = 1 - \beta^{\circ}/147^{\circ}$$

$$b_{\xi} = e^{(-2.7 \operatorname{tg} \phi')}$$

$$b_{\gamma} = e^{(-2.7 \operatorname{tg} \phi')}$$

$$\text{ove } \beta + \eta \leq 90^{\circ} \text{ e } \beta \leq \phi$$

In condizioni non drenate i fattori hanno le seguenti espressioni:

$$N_c^* = (2 + \pi)$$

$$s_c^* = 0.2 + \frac{B}{L}$$



$$i_c^* = \left[1 - \frac{mH}{B' c u N_c} \right]^m$$

$$d_c^* = 0.4 + \frac{D}{B} \quad \text{per } D/B \leq 1$$

$$d_c^* = 0.4 + \frac{\operatorname{tg}^{\wedge} - 1 D}{B} \quad \text{per } D/B > 1$$

$$g_c^* = \beta^{\circ}/147^{\circ}$$

$$b_c^* = \eta^{\circ}/147^{\circ}$$

GENERAL CONTRACTOR 	ALTA SORVEGLIANZA 			
	Progetto IN17	Lotto 12	Codifica EI2CLSL2300003	A

Si sono indicate con:

- q = $\gamma \cdot D$ = pressione verticale totale agente alla quota di imposta della fondazione;
 B' = larghezza efficace equivalente della fondazione;
 γ = peso di volume naturale del terreno;
 c_u = coesione non drenata;
 D = affondamento della fondazione;
 H = carico orizzontale agente.

Per valutare gli effetti dell'eccentricità è necessario inserire nell'equazione della capacità due dimensioni L' e B' ridotte secondo le:

$$L' = L - 2e_x$$



$$B' = B - 2e_y$$

dove B e L sono le reali dimensioni della fondazione e e_x e e_y sono le eccentricità.

Si riporta di seguito la verifica per la condizione più gravosa.

L'azione complessiva trasmessa al terreno dalla fondazione nella condizione più gravosa è pari a circa 330.3 kN per una striscia di larghezza unitaria e $330.3 \times 11.00 = 3633$ kN globalmente per la struttura in esame.

La verifica a capacità portante viene effettuata sia in termini di tensioni efficaci (L.T.) che di tensioni totali (B.T.).

GENERAL CONTRACTOR 		ALTA SORVEGLIANZA  GRUPPO FERROVIE DELLO STATO ITALIANE			
		Progetto	Lotto	Codifica	
		IN17	12	EI2CLSL2300003	A

Fondazioni Dirette
Verifica in tensioni efficaci

$$q_{lim} = c' \cdot N_c \cdot s_c \cdot d_c \cdot i_c \cdot b_c \cdot g_c + q \cdot N_q \cdot s_q \cdot d_q \cdot i_q \cdot b_q \cdot g_q + 0,5 \cdot \gamma \cdot B \cdot N_\gamma \cdot s_\gamma \cdot d_\gamma \cdot i_\gamma \cdot b_\gamma \cdot g_\gamma$$

D = Profondità del piano di appoggio

e_B = Eccentricità in direzione B ($e_B = M_b/N$)

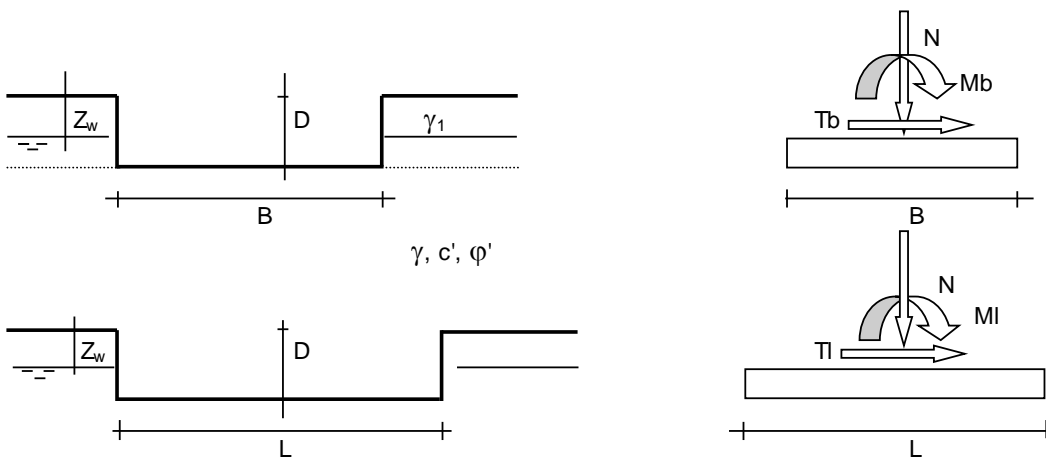
e_L = Eccentricità in direzione L ($e_L = M_l/N$) (per fondazione nastriforme $e_L = 0$; $L^* = L$)

B^* = Larghezza fittizia della fondazione ($B^* = B - 2 \cdot e_B$)

L^* = Lunghezza fittizia della fondazione ($L^* = L - 2 \cdot e_L$)

(per fondazione nastriforme le sollecitazioni agenti sono riferite all'unità di lunghezza)



Metodo di calcolo		azioni		proprietà del terreno		resistenze	
		permanenti	temporanee variabili	$\tan \varphi'$	c'	q_{lim}	scorr
Stato Limite Ultimo	A1+M1+R3	1.30	1.50	1.00	1.00	2.30	1.10
	SISMA	1.00	1.00	1.00	1.00	2.30	1.10
Definiti dal Progettista		1.00	1.00	1.00	1.00	2.30	1.10



(Per fondazione nastriforme $L = 100$ m)

- B = 4.10 (m)
- L = 11.00 (m)
- D = 2.15 (m)



GENERAL CONTRACTOR 	ALTA SORVEGLIANZA 			
	Progetto IN17	Lotto 12	Codifica EI2CLSL2300003	A

AZIONI

	valori di input		Valori di calcolo
	permanenti	temporanee	
N [kN]	3633		3633.30
Mb [kNm]	653		653.40
MI [kNm]	0.00		0.00
Tb [kN]	832		831.60
TI [kN]	0.00		0.00
H [kN]	831.60	0.00	831.60

Peso unità di volume del terreno

$$\gamma_1 = 17.50 \quad (\text{kN/mc})$$

$$\gamma = 17.50 \quad (\text{kN/mc})$$

Valori caratteristici di resistenza del terreno

$$c' = 0.00 \quad (\text{kN/mq})$$

$$\varphi' = 26.00 \quad (^\circ)$$

Valori di progetto

$$c' = 0.00 \quad (\text{kN/mq})$$

$$\varphi' = 26.00 \quad (^\circ)$$

Profondità della falda

$$Z_w = 1.75 \quad (\text{m})$$

$$e_B = 0.18 \quad (\text{m})$$

$$e_L = 0.00 \quad (\text{m})$$

$$B^* = 3.74 \quad (\text{m})$$

$$L^* = 11.00 \quad (\text{m})$$

q : sovraccarico alla profondità D

$$q = 33.63 \quad (\text{kN/mq})$$

γ : peso di volume del terreno di fondazione

$$\gamma = 7.50 \quad (\text{kN/mc})$$

N_c, N_q, N_γ : coefficienti di capacità portante

$$N_q = \tan^2(45 + \varphi'/2) \cdot e^{(\pi \cdot \text{tg} \varphi')}$$



$$N_q = 11.85$$

$$N_c = (N_q - 1) / \tan \varphi'$$

$$N_c = 22.25$$

$$N_\gamma = 2 \cdot (N_q + 1) \cdot \tan \varphi'$$

$$N_\gamma = 12.54$$

<p>GENERAL CONTRACTOR</p> 	<p>ALTA SORVEGLIANZA</p> 			
	<p>Progetto IN17</p>	<p>Lotto 12</p>	<p>Codifica EI2CLSL2300003</p>	<p>A</p>

s_c, s_q, s_γ : fattori di forma

$$s_c = 1 + B^* N_q / (L^* N_c)$$

$$s_c = 1.18$$

$$s_q = 1 + B^* \tan \varphi' / L^*$$

$$s_q = 1.17$$

$$s_\gamma = 1 - 0,4 B^* / L^*$$

$$s_\gamma = 0.86$$

i_c, i_q, i_γ : fattori di inclinazione del carico

$$m_B = (2 + B^* / L^*) / (1 + B^* / L^*) = 1.75 \quad \theta = \arctg(T_b/T_l) = 90.00 \quad (^\circ)$$

$$m_l = (2 + L^* / B^*) / (1 + L^* / B^*) = 1.25 \quad m = 1.75 \quad (-)$$

($m=2$ nel caso di fondazione nastriforme e $m=(m_b \sin^2 \theta + m_l \cos^2 \theta)$ in tutti gli altri casi)

$$i_q = (1 - H / (N + B^* L^* c' \cotg \varphi'))^m$$

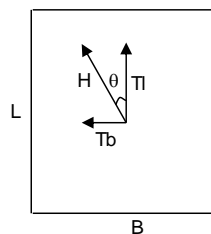
$$i_q = 0.64$$

$$i_c = i_q - (1 - i_q) / (N_q - 1)$$

$$i_c = 0.60$$

$$i_\gamma = (1 - H / (N + B^* L^* c' \cotg \varphi'))^{(m+1)}$$

$$i_\gamma = 0.49$$



d_c, d_q, d_γ : fattori di profondità del piano di appoggio

per $D/B^* \leq 1$; $d_q = 1 + 2 D \tan \varphi' (1 - \sin \varphi)^2 / B^*$

per $D/B^* > 1$; $d_q = 1 + (2 \tan \varphi' (1 - \sin \varphi)^2) * \arctan (D / B^*)$

$$d_q = 1.18$$

$$d_c = d_q - (1 - d_q) / (N_c \tan \varphi)$$

$$d_c = 1.19$$

$$d_\gamma = 1$$

$$d_\gamma = 1.00$$

b_c, b_q, b_γ : fattori di inclinazione base della fondazione

$$b_q = (1 - \beta_f \tan \varphi)^2 \quad \beta_f + \beta_p = 0.00 \quad \beta_f + \beta_p < 45^\circ$$



$$b_q = 1.00$$

$$b_c = b_q - (1 - b_q) / (N_c \tan \varphi)$$

$$b_c = 1.00$$

$$b_\gamma = b_q$$

$$b_\gamma = 1.00$$

GENERAL CONTRACTOR 	ALTA SORVEGLIANZA 			
	Progetto IN17	Lotto 12	Codifica EI2CLSL2300003	A

g_c, g_q, g_γ : fattori di inclinazione piano di campagna

$$g_q = (1 - \tan\beta_p)^2 \qquad \beta_f + \beta_p = \qquad 0.00 \qquad \beta_f + \beta_p < 45^\circ$$

$$g_q = \qquad 1.00$$

$$g_c = g_q - (1 - g_q) / (N_c \tan\varphi')$$

$$g_c = \qquad 1.00$$

$$g_\gamma = g_q$$

$$g_\gamma = \qquad 1.00$$

Carico limite unitario

$$q_{lim} = \qquad 421.79 \qquad (\text{kN/m}^2)$$

Pressione massima agente

$$q = N / B^* L^*$$

$$q = \qquad 88.31 \qquad (\text{kN/m}^2)$$

Verifica di sicurezza capacità portante

$$q_{lim} / \gamma_R = \qquad 183.39 \qquad \geq \qquad q = \qquad 88.31 \quad (\text{kN/m}^2)$$

VERIFICA A SCORRIMENTO

Carico agente

$$H_d = \qquad 831.60 \qquad (\text{kN})$$

Azione Resistente

$$S_d = N \tan(\varphi') + c' B^* L^*$$

$$S_d = \qquad 1772.08 \qquad (\text{kN})$$

Verifica di sicurezza allo scorrimento

$$S_d / \gamma_R = \qquad 1610.98 \qquad \geq \qquad H_d = \qquad 831.60 \quad (\text{kN})$$

Fondazioni Dirette
Verifica in tensioni totali

$$q_{lim} = c_u \cdot N_c \cdot s_c \cdot d_c \cdot i_c \cdot b_c \cdot g_c + q \cdot N_q$$

D = Profondità del piano di appoggio

e_B = Eccentricità in direzione B ($e_B = M_b/N$)

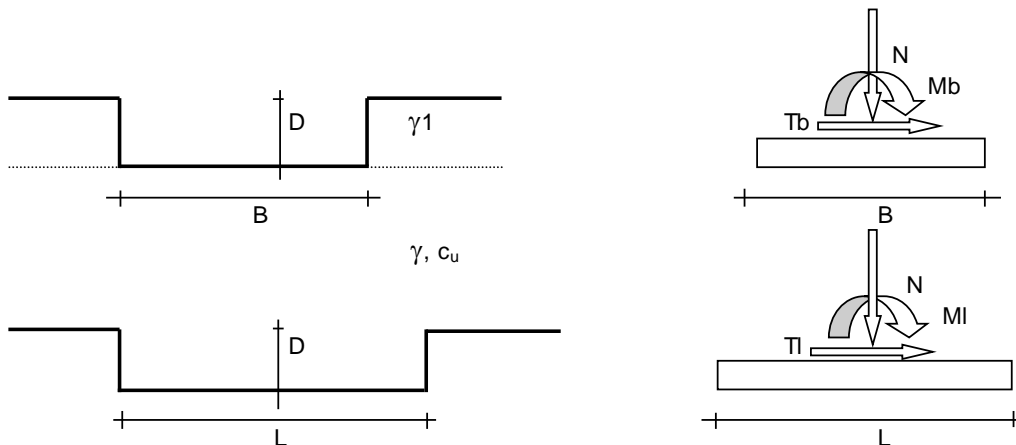
e_L = Eccentricità in direzione L ($e_L = M_l/N$) (per fondazione nastriforme $e_L = 0$; $L^* = L$)

B^* = Larghezza fittizia della fondazione ($B^* = B - 2 \cdot e_B$)

L^* = Lunghezza fittizia della fondazione ($L^* = L - 2 \cdot e_L$)

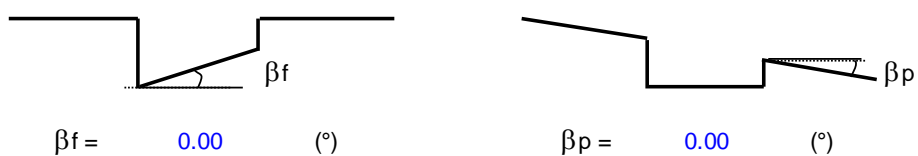
coefficienti parziali



Metodo di calcolo	azioni		proprietà del terreno	resistenze	
	permanenti	temporanee variabili	c_u	q_{lim}	scorr
Stato Limite Ultimo A1+M1+R3	1.30	1.50	1.00	2.30	1.10
SISMA	1.00	1.00	1.00	2.30	1.10
Definiti dal Progettista	1.00	1.00	1.00	2.30	1.10



(Per fondazioni nastriformi $L=100$ m)

- B = 4.10 (m)
- L = 11.00 (m)
- D = 2.15 (m)



GENERAL CONTRACTOR 	ALTA SORVEGLIANZA 			
	Progetto	Lotto	Codifica	
	IN17	12	E12CLSL2300003	A

AZIONI

	valori di input		Valori di calcolo
	permanenti	temporanee	
N [kN]	3633		3633.30
Mb [kNm]	653		653.40
MI [kNm]	0.00		0.00
Tb [kN]	832		831.60
TI [kN]	0.00		0.00
H [kN]	832	0.00	831.60

Peso unità di volume del terreno

$$\gamma_1 = 17.50 \quad (\text{kN/mc})$$

$$\gamma = 17.50 \quad (\text{kN/mc})$$

Valore caratteristico di resistenza del terreno

$$c_u = 33.00 \quad (\text{kN/mq})$$

$$e_B = 0.18 \quad (\text{m})$$

$$e_L = 0.00 \quad (\text{m})$$

Valore di progetto

$$c_u = 33.00 \quad (\text{kN/mq})$$

$$B^* = 3.74 \quad (\text{m})$$

$$L^* = 11.00 \quad (\text{m})$$

q : sovraccarico alla profondità D

$$q = 37.63 \quad (\text{kN/mq})$$

γ : peso di volume del terreno di fondazione

$$\gamma = 17.50 \quad (\text{kN/mc})$$

Nc : coefficiente di capacità portante

$$N_c = 2 + \pi$$

$$N_c = 5.14$$

sc : fattori di forma

$$s_c = 1 + 0,2 B^* / L^*$$

$$s_c = 1.07$$

ic : fattore di inclinazione del carico

$$m_b = (2 + B^* / L^*) / (1 + B^* / L^*) = 1.75$$

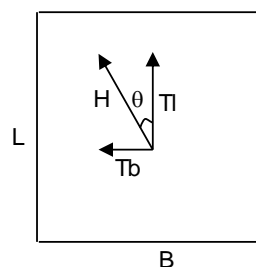
$$m_l = (2 + L^* / B^*) / (1 + L^* / B^*) = 1.25$$



$$\theta = \arctg(T_b/T_I) = 90.00 \quad (^\circ)$$

$$m = 1.75$$

($m=2$ nel caso di fondazione nastriforme e

$m=(m_b \sin^2 \theta + m_l \cos^2 \theta)$ in tutti gli altri casi)



<p>GENERAL CONTRACTOR</p> 	<p>ALTA SORVEGLIANZA</p> 			
	<p>Progetto IN17</p>	<p>Lotto 12</p>	<p>Codifica EI2CLSL2300003</p>	<p>A</p>

$$i_c = (1 - m H / (B^* L^* c_u^* N_c))$$

$$i_c = 0.79$$

d_c : fattore di profondità del piano di appoggio

per $D/B^* \leq 1$; $d_c = 1 + 0,4 D / B^*$

per $D/B^* > 1$; $d_c = 1 + 0,4 \arctan (D / B^*)$

$$d_c = 1.23$$

b_c : fattore di inclinazione base della fondazione

$$b_c = (1 - 2 \beta_f / (\pi + 2))$$

$$\beta_f + \beta_p = 0.00$$

$$\beta_f + \beta_p < 45^\circ$$

$$b_c = 1.00$$

g_c : fattore di inclinazione piano di campagna

$$g_c = (1 - 2 \beta_f / (\pi + 2))$$

$$\beta_f + \beta_p = 0.00$$

$$\beta_f + \beta_p < 45^\circ$$

$$g_c = 1.00$$

Carico limite unitario

$$q_{lim} = 214.07 \quad (\text{kN/m}^2)$$

Pressione massima agente

$$q = N / B^* L^*$$

$$q = 88.31 \quad (\text{kN/m}^2)$$

Verifica di sicurezza capacità portante

$$q_{lim} / \gamma_R = 93.07 \geq q = 88.31 \quad (\text{kN/m}^2)$$

VERIFICA A SCORRIMENTO

Carico agente

$$H_d = 831.60 \quad (\text{kN})$$



Azione Resistente

$$S_d = c_u B^* L^*$$

$$S_d = 1357.74 \quad (\text{kN})$$

Verifica di sicurezza allo scorrimento

$$S_d / \gamma_R = 1234.31 \geq H_d = 831.60 \quad (\text{kN})$$

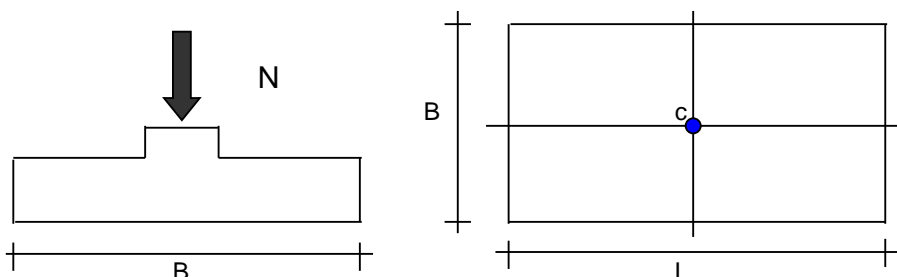
GENERAL CONTRACTOR 	ALTA SORVEGLIANZA 			
	Progetto IN17	Lotto 12	Codifica EI2CLSL2300003	A

8.7.2 Valutazione dei cedimenti

Si esibisce di seguito il calcolo dei cedimenti in fondazione dell'opera in esame.

CEDIMENTI DI UNA FONDAZIONE RETTANGOLARE

LAVORO:



Formulazione Teorica (H.G. Poulos, E.H. Davis; 1974)

$$\Delta\sigma_{zi} = (q/2\pi) * (\tan^{-1}((L/2)(B/2)/(zR_3)) + ((L/2)(B/2)z/R_3)(1/R_1^2 + 1/R_2^2))$$

$$\Delta\sigma_{xi} = (q/2\pi) * (\tan^{-1}((L/2)(B/2)/(zR_3)) - ((L/2)(B/2)z/R_3 R_1^2))$$



$$\Delta\sigma_{yi} = (q/2\pi) * (\tan^{-1}((L/2)(B/2)/(zR_3)) - ((L/2)(B/2)z/R_3 R_2^2))$$

$$R_1 = ((L/2)^2 + z^2)^{0.5}$$

$$R_2 = ((B/2)^2 + z^2)^{0.5}$$

$$R_3 = ((L/2)^2 + (B/2)^2 + z^2)^{0.5}$$

$$\delta_{ot} = \Sigma \delta_i = \Sigma (((\Delta\sigma_{zi} - \nu_i(\Delta\sigma_{xi} + \Delta\sigma_{yi})) \Delta z_i / E_i)$$

GENERAL CONTRACTOR 		ALTA SORVEGLIANZA 			
		Progetto	Lotto	Codifica	
		IN17	12	EI2CLSL2300003	A

DATI DI INPUT:

B = 4.10 (m) (Larghezza della Fondazione)

L = 11.00 (m) (Lunghezza della Fondazione)

N = 2577 (kN) (Carico Verticale Agente)



q = 57.15 (kN/mq) (Pressione Agente (q = N/(B*L)))

ns = 5 (-) (numero strati) (massimo 6)

Strato	Litologia	Spessore	da z _i	a z _{i+1}	Δz _i	E	v	δ _{ci}
(-)	(-)	(m)	(m)	(m)	(m)	(kN/m ²)	(-)	(cm)
1	3b	2.62	0.0	2.6	1.0	10000	0.30	0.65
2	6	5.00	2.6	7.6	1.0	80000	0.30	0.14
3	4	3.00	7.6	10.6	1.0	100000	0.30	0.03
4	2	2.50	10.6	13.1	1.0	30000	0.30	0.07
5	4	14.00	13.1	27.1	1.0	10000	0.30	1.40
-			0.0	0.0				-

$$\delta_{ctot} = 2.29 \text{ (cm)}$$

Il cedimento totale è pari a 2.29 cm.

GENERAL CONTRACTOR 	ALTA SORVEGLIANZA 			
	Progetto IN17	Lotto 12	Codifica EI2CLSL2300003	A

8.7.3 Verifica a sollevamento

In accordo con quanto prescritto nella normativa di riferimento NTC2008-§6.2.3.2, si riporta di seguito la verifica di sollevamento dell'opera, in quanto interessata dalla presenza della sottospinta idraulica (Verifica nei confronti degli stati limite ultimi idraulici).

I coefficienti parziali sulle azioni, per le verifiche di stabilità al sollevamento, sono indicati nella Tabella 6.2.III della normativa NTC2008.



Tabella 6.2.III – Coefficienti parziali sulle azioni per le verifiche nei confronti di stati limite di sollevamento.

CARICHI	EFFETTO	Coefficiente parziale γ_F (o γ_E)	SOLLEVAMENTO (UPL)
Permanenti	Favorevole	γ_{G1}	0,9
	Sfavorevole		1,1
Permanenti non strutturali ⁽¹⁾	Favorevole	γ_{G2}	0,0
	Sfavorevole		1,5
Variabili	Favorevole	γ_Q	0,0
	Sfavorevole		1,5

(1) Nel caso in cui i carichi permanenti non strutturali (ad es. i carichi permanenti portati) siano compiutamente definiti, si potranno adottare gli stessi coefficienti validi per le azioni permanenti.



Risulta quanto segue:

SOLLEVAMENTO (Verifiche nei confronti degli stati limite ultimi idraulici)				
Carico permanente strutturale G1				
Peso soletta fondazione			71.75	kN
Peso piedritti (x2)			46.25	kN
Peso piedritto centrale			0.00	kN
Coefficiente sicurezza			0.90	-
Carico permanente non strutturale G2				
Carico permanente TOT. Portato dalla soletta superiore			0.00	kN
Permanenti portati soletta inferiore			0.00	kN
Coefficiente sicurezza			0.80	-
Azione stabilizzante	PP	=	106.20	kN
Azione dell'acqua				
Quota Falda dalla quota di intradosso della fondazione			1.14	m
Larghezza totale del sottopasso			4.10	m
Sottospinta idraulica	SPW	=	46.74	kN
Coefficiente sicurezza			1.1	

GENERAL CONTRACTOR 	ALTA SORVEGLIANZA 			
	Progetto IN17	Lotto 12	Codifica EI2CLSL2300003	A

Fattore di sicurezza al sollevamento	FS	=	2.06	>	1
				Verificato	

La verifica al sollevamento dell'opera risulta soddisfatta.

GENERAL CONTRACTOR 	ALTA SORVEGLIANZA 			
	Progetto IN17	Lotto 12	Codifica EI2CLSL2300003	A

9 SEZIONE 2

9.1 GEOMETRIA DELLA STRUTTURA

Nel seguito sarà esaminata una striscia della sezione 1 muro ad U avente lunghezza 1.00 m. Si riportano di seguito le dimensioni geometriche della sezione in retto.

Larghezza totale del muro ad U	$L_{tot} =$	3.70 m
Larghezza utile del muro ad U	$L_{int} =$	2.70 m
Larghezza mensola di fondazione sinistra	$L_{msx} =$	0.20 m
Larghezza mensola di fondazione destra	$L_{mdx} =$	0.20 m
Spessore piedritti	$S_p =$	0.50 m
Spessore ritto centrale	$S_{pc} =$	0.00 m
Spessore della soletta di fondazione	$S_f =$	0.60 m
Altezza libera del muro ad U	$H_{int} =$	3.10 m
Altezza totale del muro ad U	$H_{tot} =$	3.70 m
Quota falda da intradosso fondazione	$H_w =$	0.44 m
Larghezza striscia di calcolo	$b =$	1.00 m

9.2 ANALISI DEI CARICHI

Nel seguente paragrafo si descrivono le condizioni di carico elementari assunte per l'analisi delle sollecitazioni e per le verifiche della struttura in esame. Tali condizioni di carico elementari saranno opportunamente combinate secondo quanto previsto dalla normativa vigente.

Per il calcestruzzo armato si assume il seguente peso specifico:

calcestruzzo armato: $\gamma_{c.a.} = 25 \text{ kN/m}^3$.

9.2.1 Condizioni di carico



9.2.1.1 Peso proprio strutturale (PP)

Il peso proprio della soletta e dei piedritti risulta:

Peso soletta di fondazione $P_{si} = 25.00 \times 0.60 = 15.00 \text{ kN/m}$

Peso piedritti $P_p = 25.00 \times 0.50 = 12.50 \text{ kN/m}$

Peso setto centrale $P_{sc} = 25.00 \times 0.00 = 0.00 \text{ kN/m}$

<p>GENERAL CONTRACTOR</p> 	<p>ALTA SORVEGLIANZA</p> 			
	<p>Progetto</p> <p>IN17</p>	<p>Lotto</p> <p>12</p>	<p>Codifica</p> <p>EI2CLSL2300003</p>	<p>A</p>

9.2.1.2 Carichi permanenti portati (PERM)

Sulla soletta di fondazione sono stati considerati i carichi permanenti relativi alla sovrastruttura ciclopedonale:

Spessore medio sovrastruttura ciclopedonale	0.68	m
Peso specifico sovrastruttura ciclopedonale	18.0	kN/m ³
Peso sovrastruttura ciclopedonale	12.24	kN/m

9.2.1.3 Spinta del terreno (SPTSX e SPTDX)

La struttura è stata analizzata nella condizione di spinta a riposo.

$$K_0 = 0.384$$

La pressione del terreno è stata calcolata come:

$$P = (P_b + h_{\text{variabile}} \cdot \gamma_{\text{terreno_piedritto}}) \cdot K_0$$

al di sopra della falda

$$P = [P_b + h_{\text{variabile}} \cdot (\gamma_{\text{terreno_piedritto}} - \gamma_w)] \cdot K_0$$

al di sotto della falda

per cui risulta quanto segue.

Pressione in asse soletta inferiore $P_1 = 25.22$ kN/m

Pressione intradosso soletta inferiore $P_2 = 26.37$ kN/m

Inoltre sono stati considerati, come carichi concentrati nei nodi della fondazione, i contributi delle spinte del terreno esercitate su metà spessore delle soletta di fondazione.

Spinta semispessore soletta di fondazione $P_{H.t.fond} = 7.74$ kN

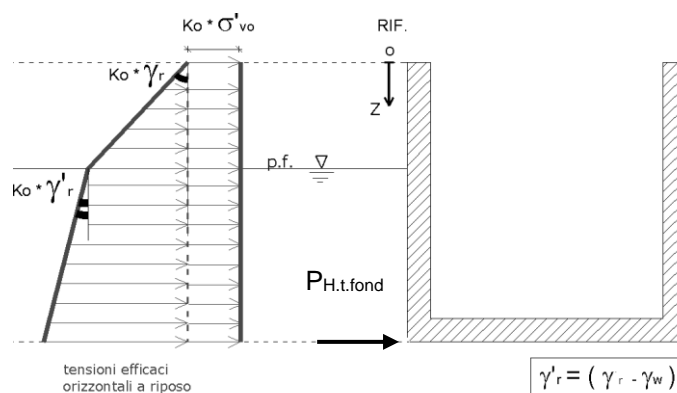




Figura 8.1: SPTSX

9.2.1.4 Azioni della falda (SPTW)

Qualora la falda fosse posizionata al di sopra del piano di posa della fondazione si considera, in aggiunta alla spinta delle terre sopra definita, la spinta idrostatica esercitata dall'acqua sulle pareti

<p>GENERAL CONTRACTOR</p> 	<p>ALTA SORVEGLIANZA</p> 			
	<p>Progetto IN17</p>	<p>Lotto 12</p>	<p>Codifica EI2CLSL2300003</p>	<p>A</p>

verticali, pari a $S_w = \gamma_w \cdot z$, e la sottospinta idraulica diretta verso l'alto sulla soletta inferiore, pari al prodotto del peso specifico dell'acqua, per l'altezza dello scatolare immerso, $P_w = \gamma_w \cdot h_{imm}$.

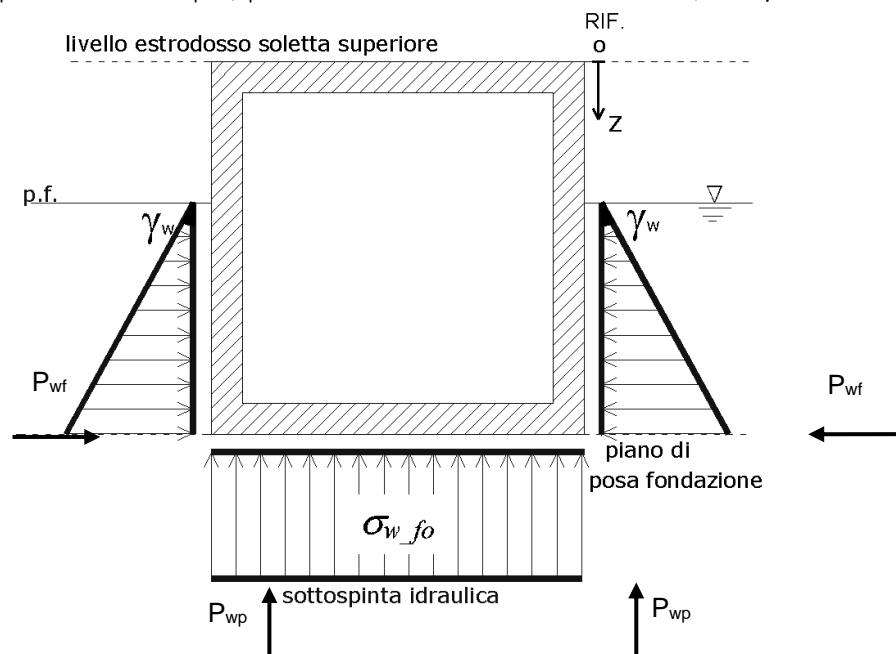


Figura 8.2: SPTW

9.2.1.5 Sovraccarico variabile in condizioni statiche e sismiche (SPACCDX e SPACCSX)

La spinta orizzontale dovuta al sovraccarico variabile è calcolata come

$$P_{qacc} = k_0 \times q$$

con q sovraccarico variabile.

Per le pareti a sostegno delle scarpate dei rilevati, si considera un sovraccarico pari a 10 kN/m^2 , rappresentativo degli eventuali mezzi meccanici adottati nelle operazioni di manutenzione ordinaria e straordinaria che possono transitare sulla scarpata del rilevato.



Nel caso in esame risulta:

$$P_{qacc} = 0.384 \times 10.00 = 3.84 \text{ kN/m}^2$$

Il sovraccarico variabile in condizioni sismiche è assunto nullo.

9.2.1.6 Azioni variabili da traffico (ACC_SOLINF)

Si applica un carico uniformemente distribuito pari a 5 kPa , equivalente allo Schema di Carico 5 del § 5 delle NTC2008 (folla compatta).

GENERAL CONTRACTOR 	ALTA SORVEGLIANZA 			
	Progetto IN17	Lotto 12	Codifica EI2CLSL2300003	A

9.2.2 Azioni sismiche

9.2.2.1 Forze di inerzia:

Per il calcolo dell'azione sismica si è utilizzato il metodo dell'analisi pseudo-statica in cui l'azione sismica è rappresentata da una forza statica equivalente pari al prodotto delle forze di gravità per un opportuno coefficiente sismico k .

Le forze sismiche sono pertanto le seguenti:

$$\text{Forza sismica orizzontale} \quad F_h = k_h \times W$$

$$\text{Forza sismica verticale} \quad F_v = k_v \times W$$

I valori dei coefficienti sismici orizzontale k_h e verticale k_v possono essere valutati mediante le espressioni:

$$k_h = a_{max}/g$$

$$k_v = \pm 0.5 \times k_h$$

Gli effetti dell'azione sismica sono stati valutati tenendo conto delle masse associate ai seguenti carichi gravitazionali:

$$G_1 + G_2 + \psi_{2j} Q_{kj}$$

Si ha:

$$\text{Massa associata al peso proprio piedritti} \quad G_1 = 12.50 \text{ kN/m}$$

$$\text{Massa associata al peso del setto centrale} \quad G_2 = 0.00 \text{ kN/m}$$

9.2.2.2 Forze sismiche orizzontali (SISMA_H)

Forza orizzontale sui piedritti (carico orizzontale uniformemente distribuito applicato ai piedritti):

$$F_h = k_h G_p = 2.73 \text{ kN/m}$$

9.2.2.3 Spinta delle terre in fase sismica (SPSDX e SPSSX)



Le spinte delle terre sono state determinate con la teoria di Wood, secondo la quale la risultante dell'incremento di spinta per effetto del sisma su una parete di altezza H viene determinata con la seguente espressione:

$$\Delta S_E = (a_{max}/g) \cdot \gamma \cdot H^2 = 59.7 \text{ kN/m}$$

con risultante applicata ad un'altezza pari ad $H/2$.

Sisma proveniente da sinistra

Sisma proveniente da destra

GENERAL CONTRACTOR 		ALTA SORVEGLIANZA 			
		Progetto	Lotto	Codifica	
		IN17	12	EI2CLSL2300003	A

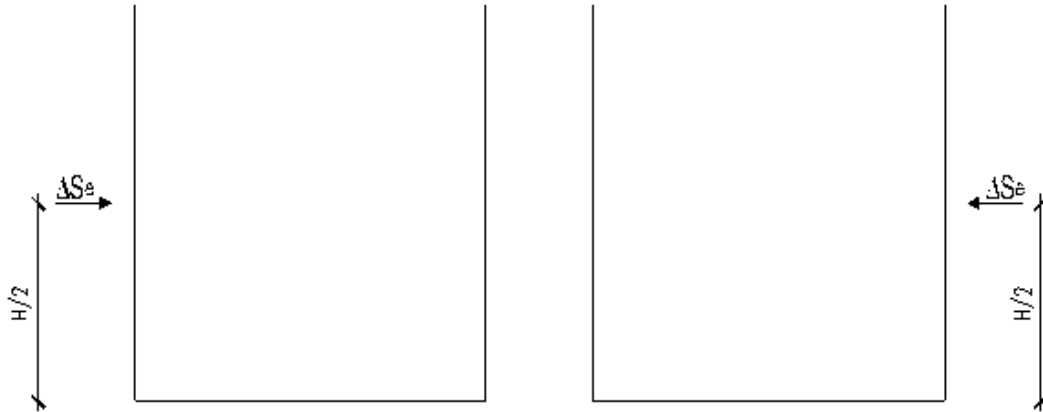


Figura 8.3: Spinta sismica del terreno secondo la teoria di Wood

Nel modello di calcolo si è applicato il valore della forza sismica per unità di superficie agente su un piedritto, pari a:

$$\Delta_{SE} = \Delta_{SE} / H = 16.1 \text{ kN/m}^2$$

9.3 COMBINAZIONI DI CARICO

Ai fini delle verifiche degli stati limite si è fatto riferimento alle seguenti combinazioni delle azioni.

Combinazione fondamentale, generalmente impiegata per gli stati limite ultimi (SLU):

$$\gamma_{G1} \cdot G_1 + \gamma_{G2} \cdot G_2 + \gamma_P \cdot P + \gamma_{Q1} \cdot Q_{k1} + \gamma_{Q2} \cdot \psi_{02} \cdot Q_{k2} + \gamma_{Q3} \cdot \psi_{03} \cdot Q_{k3} + \dots$$

Combinazione caratteristica (rara), generalmente impiegata per gli stati limite di esercizio (SLE) irreversibili:

$$G_1 + G_2 + P + Q_{k1} + \psi_{02} \cdot Q_{k2} + \psi_{03} \cdot Q_{k3} + \dots$$

Combinazione frequente, generalmente impiegata per gli stati limite di esercizio (SLE) reversibili:

$$G_1 + G_2 + P + \psi_{11} \cdot Q_{k1} + \psi_{22} \cdot Q_{k2} + \psi_{23} \cdot Q_{k3} + \dots$$

Combinazione quasi permanente, generalmente impiegata per gli stati limite di esercizio (SLE) a lungo termine:

$$G_1 + G_2 + P + \psi_{21} \cdot Q_{k1} + \psi_{22} \cdot Q_{k2} + \psi_{23} \cdot Q_{k3} + \dots$$

Combinazione sismica, impiegata per gli stati limite ultimi e di esercizio connessi all'azione sismica E:

$$E + G_1 + G_2 + P + \psi_{21} \cdot Q_{k1} + \psi_{22} \cdot Q_{k2} + \dots$$



Dove:

$$E = \pm 1.00 \times E_Y \pm 0.30 \times E_Z \quad \text{oppure} \quad E = \pm 0.30 \times E_Y \pm 1.00 \times E_Z$$

avendo indicato con E_Y e E_Z rispettivamente le componenti orizzontale e verticale dell'azione sismica.

Si ripeta la Tabella 5.2.V delle NTC08 dei coefficienti parziali di sicurezza per le combinazioni di carico SLU:

Tabella 5.2.V: Coefficienti parziali di sicurezza per le combinazioni di carico agli SLU, eccezionali e sismica (da DM 14/01/2008)

GENERAL CONTRACTOR 		ALTA SORVEGLIANZA 			
		Progetto	Lotto	Codifica	
		IN17	12	EI2CLSL2300003	A

		Coefficiente	EQU ⁽¹⁾	A1 STR	A2 GEO	Combinazione eccezionale	Combinazione Sismica
Carichi permanenti	favorevoli	γ_{G1}	0,90	1,00	1,00	1,00	1,00
	sfavorevoli		1,10	1,35	1,00	1,00	1,00
Carichi permanenti non strutturali ⁽²⁾	favorevoli	γ_{G2}	0,00	0,00	0,00	1,00	1,00
	sfavorevoli		1,50	1,50	1,30	1,00	1,00
Ballast ⁽³⁾	favorevoli	γ_B	0,90	1,00	1,00	1,00	1,00
	sfavorevoli		1,50	1,50	1,30	1,00	1,00
Carichi variabili da traffico ⁽⁴⁾	favorevoli	γ_Q	0,00	0,00	0,00	0,00	0,00
	sfavorevoli		1,45	1,45	1,25	0,20 ⁽⁵⁾	0,20 ⁽⁵⁾
Carichi variabili	favorevoli	γ_{Qi}	0,00	0,00	0,00	0,00	0,00
	sfavorevoli		1,50	1,50	1,30	1,00	0,00
Precompressione	favorevole	γ_P	0,90	1,00	1,00	1,00	1,00
	sfavorevole		1,00 ⁽⁶⁾	1,00 ⁽⁷⁾	1,00	1,00	1,00

Equilibrio che non coinvolga i parametri di deformabilità e resistenza del terreno; altrimenti si applicano i valori di GEO.

(2) Nel caso in cui i carichi permanenti non strutturali (ad es. carichi permanenti portati) siano compiutamente definiti si potranno adottare gli stessi coefficienti validi per le azioni permanenti.

(3) Quando si prevedano variazioni significative del carico dovuto al ballast, se ne dovrà tener conto esplicitamente nelle verifiche.

(4) Le componenti delle azioni da traffico sono introdotte in combinazione considerando uno dei gruppi di carico gr della Tab. 5.2.IV.

(5) Aliquota di carico da traffico da considerare.

(6) 1,30 per instabilità in strutture con precompressione esterna

(7) 1,20 per effetti locali

Si riportano di seguito le combinazioni delle azioni maggiormente significative per la determinazione delle sollecitazioni più gravose.



GENERAL CONTRACTOR 		ALTA SORVEGLIANZA 			
		Progetto	Lotto	Codifica	
		IN17	12	EI2CLSL2300003	A

Tabella 5: Combinazioni di carico SLU (01-05)



	SLU01	SLU02	SLU03	SLU04	SLU05
PP	1.35	1.35	1.35	1.35	1
PERM	1.5	1.5	1.5	1.5	1
SPTSX	1.35	1.35	1	1.35	1.35
SPTDX	1.35	1	1	1.35	1.35
SPTW	1	1.35	1	1.35	1.35
SPACCSX	1.5	1.5	1.5	1.5	1.5
SPACCDX	0	0	1.5	1.5	1.5
ACC_SOLINF	1.5	1.5	1.5	1.5	1.5
SISMA_H	0	0	0	0	0
SPSSX	0	0	0	0	0
SPSDX	0	0	0	0	0

Tabella 6: Combinazioni di carico SLV (01-02)

	SLV01	SLV02
PP	1	1
PERM	1	1
SPTSX	1	1
SPTDX	1	1
SPTW	1	1
SPACCSX	0.2	0.2
SPACCDX	0.2	0.2
ACC_SOLINF	0.2	0.2
SISMA_H	1	1
SPSSX	1	1
SPSDX	1	-1

Tabella 7: Combinazioni di carico SLE

	SLE_RARA01	SLE_RARA02	SLE_FREQ01	SLE_QPERM01
PP	1	1	1	1
PERM	1	1	1	1
SPTSX	1	1	1	1
SPTDX	1	0.8	0.8	1
SPTW	1	1	1	1
SPACCSX	1	1	0.75	0
SPACCDX	1	0	0	0
ACC_SOLINF	1	1	0.75	0
SISMA_H	0	0	0	0
SPSSX	0	0	0	0
SPSDX	0	0	0	0

GENERAL CONTRACTOR 	ALTA SORVEGLIANZA 			
	Progetto IN17	Lotto 12	Codifica EI2CLSL2300003	A

9.4 MODELLAZIONE STRUTTURALE

9.4.1 Codice di calcolo

L'analisi della struttura scatolare è stata condotta con un programma agli elementi finiti (STRAUS7) facendo riferimento agli assi baricentrici degli elementi schematizzati con elementi "beam".

9.4.2 Modello di calcolo

Le analisi sono state condotte per una striscia di struttura di lunghezza unitaria, implementando un modello di calcolo bidimensionale in condizioni di deformazione piana. La struttura è definita sulla base degli assi baricentrici degli elementi. La fondazione è schematizzata come una trave su suolo elastico alla Winkler non reagente a trazione, il calcolo della costante di sottofondo è riportata nel paragrafo 8.4.3.

Lo schema statico della struttura e la relativa numerazione dei nodi e delle aste sono riportati nelle seguenti figure.

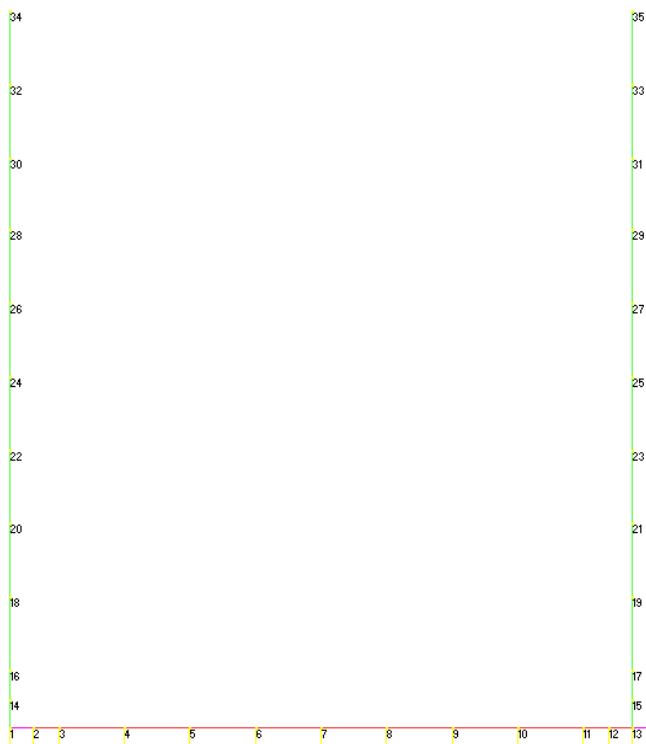




Figura 8.4: Modello F.E.M struttura - numerazione nodi

GENERAL CONTRACTOR 	ALTA SORVEGLIANZA 			
	Progetto IN17	Lotto 12	Codifica EI2CLSL2300003	A

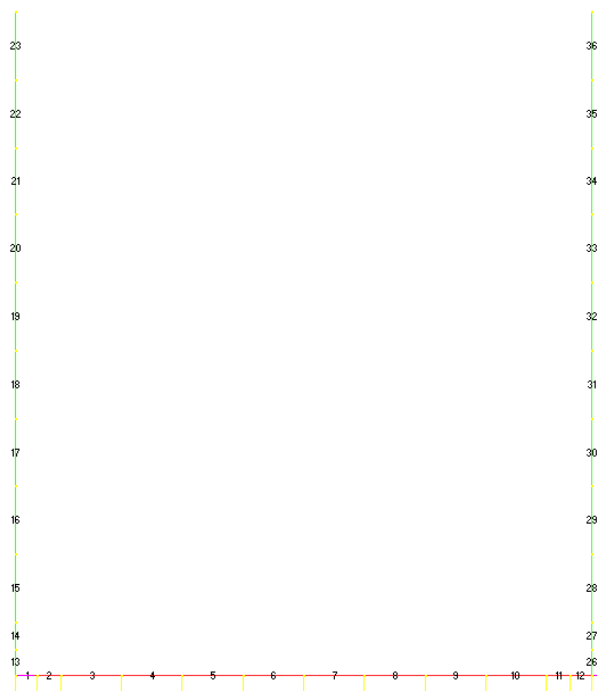


Figura 8.5: Modello F.E.M. struttura – numerazione aste

9.4.3 Interazione terreno-struttura

L'interazione struttura-terreno è simulata mediante l'applicazione sugli elementi interessati di un sistema di molle alla Winkler, definite assumendo cautelativamente un modulo di reazione verticale K_v pari a 8000 kN/m^3 : il calcolo della costante di Winkler è stato condotto applicando il procedimento proposto da Vesic e riportato da Bowles nel testo "Fondazioni", secondo la seguente formulazione:

$$k_s = \frac{E}{B(1-\mu^2)I_S I_F}$$

dove:

E = modulo elastico medio dello spessore di terreno sottostante la fondazione;

B = larghezza della fondazione;

μ = coefficiente di Poisson del terreno di fondazione, assunto pari a 0.3.

Il valore del coefficiente di influenza I_s è stato calcolato attraverso la seguente equazione:



$$I_s = I_1 + \frac{1-2\mu}{1-\mu} I_2$$

dove:

I_1 e I_2 = coefficienti dipendenti dai rapporti H/B' e L/B ;

H = spessore dello strato compressibile, pari a $5B$;

B' = larghezza corrispondente al punto di calcolo assunto coincidente con il centro della fondazione, pari a $B/2$.

GENERAL CONTRACTOR 	ALTA SORVEGLIANZA 			
	Progetto IN17	Lotto 12	Codifica EI2CLSL2300003	A

Il valore del coefficiente di influenza IF è stato estrapolato in funzione dei valori dei rapporti L/B e D/B.

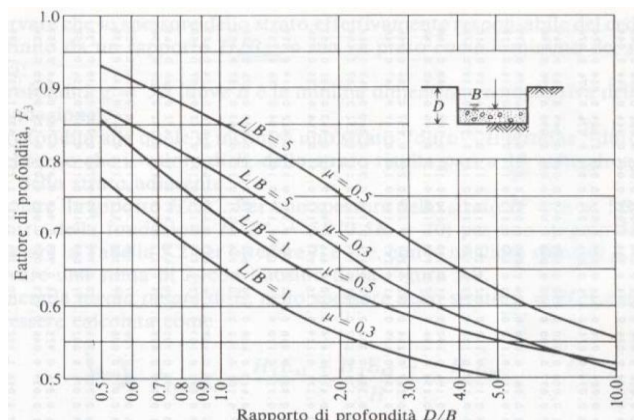


Figura 8.6: Grafico per la determinazione del fattore di profondità F_s

Le tabelle seguenti riportano le grandezze caratteristiche dell'opera.

Larghezza fondazione - B (m)	Profondità fondazione - D (m)	Lunghezza fondazione - L (m)	Modulo elastico - E_s (kPa)
4.10	1.78	11.00	10000

D/B	L/B	H/B'
0.43	2.68	2.50

H	μ
20.5	0.3

La tabella seguente riporta i parametri l_1 , l_2 , l_s e l_f .

l_1	l_2	l_s	l_f
0.326	0.110	0.389	0.82

La tabella seguente riassume il valore calcolato della costante di sottofondo (k_s) e il valore assunto nei calcoli strutturali successivi.

k_s (daN/cm ³)	$k_{s\text{-assunto}}$ (daN/cm ³)
0.8410	0.8000

9.5 ANALISI DELLE SOLLECITAZIONI

Nelle seguenti tabelle sono riportati i valori massimi delle caratteristiche delle sollecitazioni ricavati per le sezioni oggetto di verifica, indicate in figura.

	Progetto	Lotto	Codifica	
	IN17	12	EI2CLSL2300003	A

Di seguito è riportato l'involuppo delle sollecitazioni flettenti e taglianti dello stato limite ultimo. Le unità di misura adottate nei diagrammi seguenti sono kN-m.

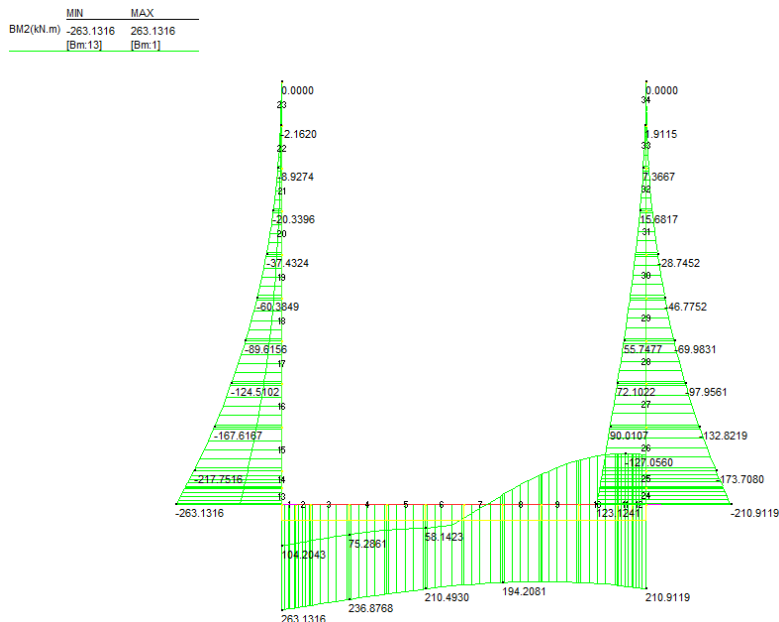


Figura 8.7: Involuppo SLU/Sisma: momenti flettenti

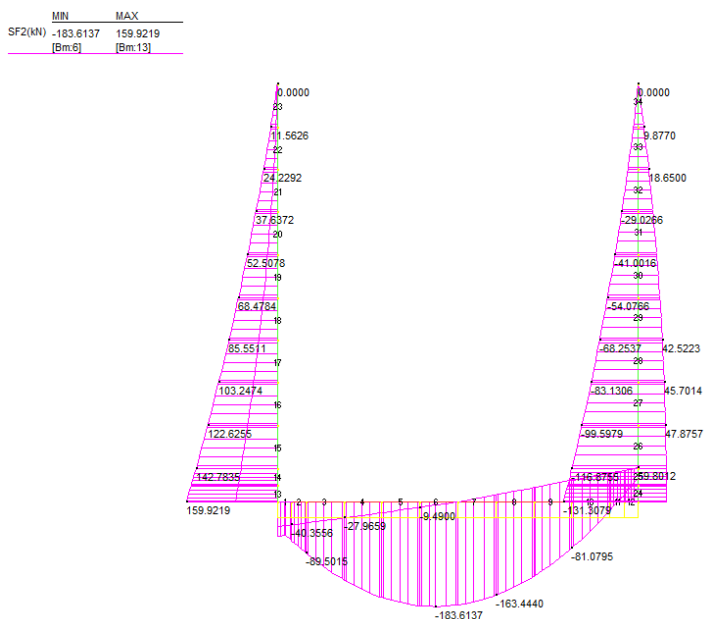


Figura 8.8: Involuppo SLU/Sisma: sollecitazioni taglianti

	MIN	MAX
Forze(kN)	-61.2512	12.5280
	[Bm:13]	[Bm:1]

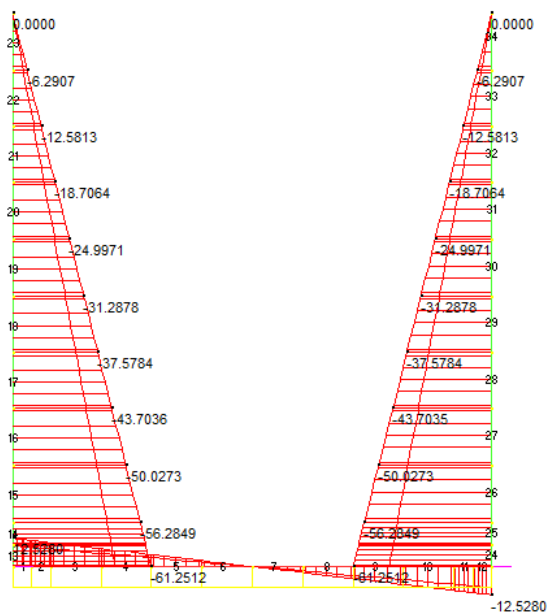


Figura 8.9: Inviluppo SLU/Sisma: sforzo normale

	MIN	MAX
BM2(kN.m)	-91.0619	91.0619
	[Bm:13]	[Bm:1]

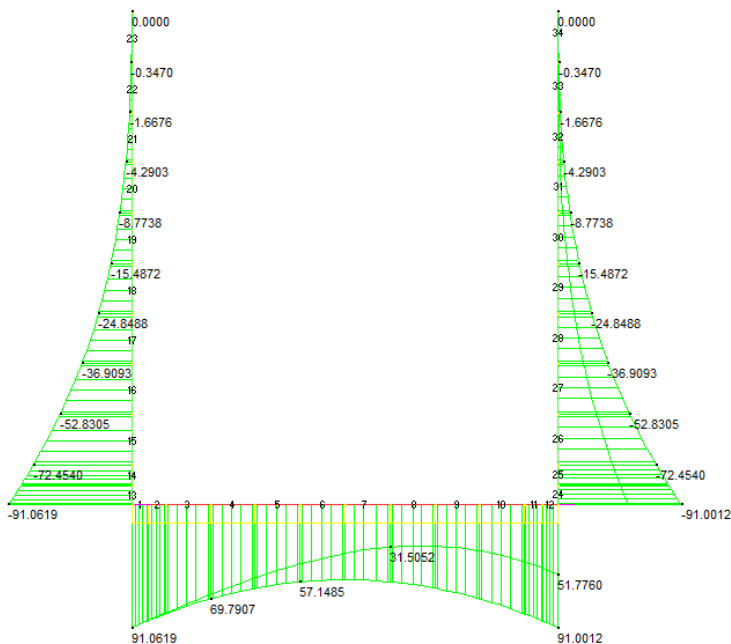




Figura 8.10: Inviluppo SLE: momenti flettenti

<p>GENERAL CONTRACTOR</p> 	<p>ALTA SORVEGLIANZA</p> 			
	<p>Progetto</p> <p>IN17</p>	<p>Lotto</p> <p>12</p>	<p>Codifica</p> <p>EI2CLSL2300003</p>	<p>A</p>

	MIN	MAX
SF2(kN)	-66.4913	66.9113
	[Bm:24]	[Bm:13]

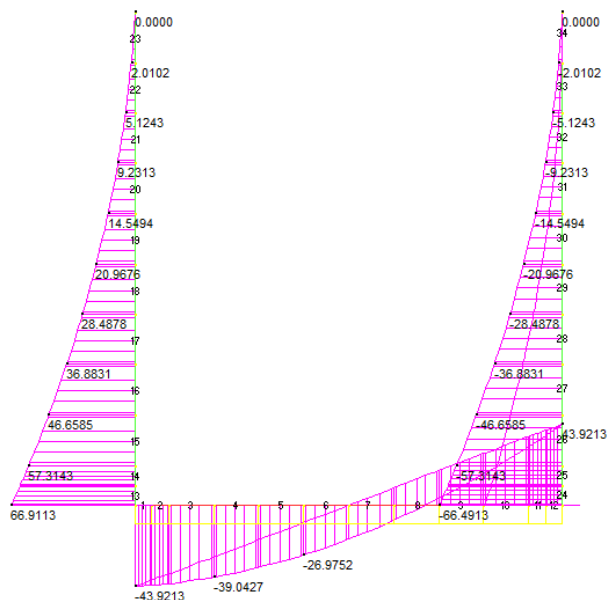




Figura 8.11: Involuppo SLE: sollecitazioni taglianti

Di seguito si riportano i valori delle sollecitazioni per tutte le combinazioni di carico relative a tutte le sezioni di verifica.

FOND MEZZ	N	M _x	V _y
	(kN)	(kNm)	(kNm)
SLU	0	95	40
SLV	0	210	185
SLE RARA	0	60	-
SLE FREQUENTE	0	40	-
SLE QUASI PERM.	0	35	-

FOND INC	N	M _x	V _y
	(kN)	(kNm)	(kNm)
SLU	0	115	50
SLV	0	255	75
SLE RARA	0	80	-
SLE FREQUENTE	0	70	-
SLE QUASI PERM.	0	55	-

PIEDR PIEDE	N	M _x	V _y
	(kN)	(kNm)	(kNm)



GENERAL CONTRACTOR 		ALTA SORVEGLIANZA 		
		Progetto IN17	Lotto 12	Codifica E12CLSL2300003 A

SLU	60	-115	85
SLV	45	-255	150
SLE RARA	45	-80	-
SLE FREQUENTE	45	-75	-
SLE QUASI PERM.	45	-55	-

PIEDR_MEZZ	N	M _x	V _y
	(KN)	(KNm)	(KNm)
SLU	30	-35	40
SLV	20	-85	70
SLE RARA	20	-25	-
SLE FREQUENTE	20	-15	-
SLE QUASI PERM.	20	-10	-

9.6 VERIFICHE DI RESISTENZA ULTIMA E DI ESERCIZIO

Si riassumono di seguito i risultati delle verifiche allo stato limite ultimo per le sollecitazioni di taglio e flessione, relative all'involuppo delle combinazioni di carico. In particolare si riportano le sollecitazioni

GENERAL CONTRACTOR 		ALTA SORVEGLIANZA 			
		Progetto	Lotto	Codifica	
		IN17	12	EI2CLSL2300003	A

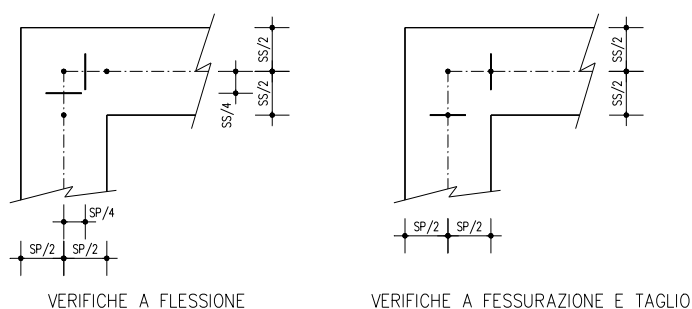
massime per tutte le sezioni di verifica e le combinazioni di carico più gravose (minimo coefficiente di sicurezza), sia per la verifica a flessione sia per la verifica a taglio.

Nelle verifiche della soletta di fondazione, cautelativamente, non si è tenuto in conto del contributo dello sforzo normale.

Le verifiche a flessione in corrispondenza dei nodi tra setti adiacenti sono effettuate rispettivamente:

- nella sezione ubicata a metà fra asse piedritto e sezione d'attacco piedritto-soletta nel caso delle verifiche della soletta;
- nella sezione ubicata a metà fra asse soletta e sezione d'attacco del piedritto nel caso delle verifiche del piedritto.

Le verifiche a fessurazione e a taglio sono eseguite nelle sezioni di attacco soletta-piedritto.



I calcoli di verifica sono effettuati con il metodo degli Stati Limite.


Si riporta di seguito l'armatura degli elementi strutturali nelle sezioni di mezzeria e di incastro.

Elemento	Sezione	Dimensioni [cm]		Flessione		Armatura a taglio	Ripartitori (esterni)
		B	H	Lato terra	Lato interno		
PIEDRITTI	MEZZERIA	100	50	5φ16	5φ16	9φ10/mq	φ12/20
	INCASTRO			10φ16	5φ16		
SOLETTA INF.	INCASTRO	100	60	10φ16	5φ16	φ10/40x40	φ12/20
	MEZZERIA			5φ16	5φ16		

9.6.1 Soletta inferiore – sezione di mezzeria

CARATTERISTICHE DI RESISTENZA DEI MATERIALI IMPIEGATI

CALCESTRUZZO -	Classe:	C32/40
	Resis. compr. di progetto fcd:	18.8 MPa
	Def.unit. max resistenza ec2:	0.0020
	Def.unit. ultima ecu:	0.0035
	Diagramma tensione-deformaz.:	Parabola-Rettangolo

<p>GENERAL CONTRACTOR</p> 	<p>ALTA SORVEGLIANZA</p> 			
	Progetto	Lotto	Codifica	
	IN17	12	EI2CLSL2300003	A

Modulo Elastico Normale Ec:	33642.8	MPa
Resis. media a trazione fctm:	3.10	MPa
Coeff. Omogen. S.L.E.:	15.00	
Sc limite S.L.E. comb. Rare:	19.9	MPa
Sc limite S.L.E. comb. Frequenti:	19.9	MPa
Ap.Fessure limite S.L.E. comb. Frequenti:	0.200	mm
Sc limite S.L.E. comb. Q.Permanenti:	14.9	MPa
Ap.Fess.limite S.L.E. comb. Q.Perm.:	0.200	mm

ACCIAIO -	Tipo:	B450C	
	Resist. caratt. snervam. fyk:	450.0	MPa
	Resist. caratt. rottura ftk:	450.0	MPa
	Resist. snerv. di progetto fyd:	391.3	MPa
	Resist. ultima di progetto ftd:	391.3	MPa
	Deform. ultima di progetto Epu:	0.068	
	Modulo Elastico Ef	2000000	daN/cm ²
	Diagramma tensione-deformaz.:	Bilineare finito	
	Coeff. Aderenza istantaneo $\beta_1 \cdot \beta_2$:	1.00	
	Coeff. Aderenza differito $\beta_1 \cdot \beta_2$:	0.50	
	Sf limite S.L.E. Comb. Rare:	360.00	MPa

CARATTERISTICHE DOMINIO CALCESTRUZZO

Forma del Dominio:	Poligonale
Classe Calcestruzzo:	C32/40

N° vertice:	X [cm]	Y [cm]
1	100.0	60.0
2	100.0	0.0
3	0.0	0.0
4	0.0	60.0

DATI BARRE ISOLATE

N° Barra	X [cm]	Y [cm]	DiamØ [mm]
1	92.0	52.0	16
2	92.0	8.0	16
3	8.0	8.0	16
4	8.0	52.0	16



DATI GENERAZIONI LINEARI DI BARRE

N° Gen.	Numero assegnato alla singola generazione lineare di barre			
N° Barra Ini.	Numero della barra iniziale cui si riferisce la generazione			
N° Barra Fin.	Numero della barra finale cui si riferisce la generazione			
N° Barre	Numero di barre generate equidistanti cui si riferisce la generazione			
Ø	Diametro in mm delle barre della generazione			

N° Gen.	N° Barra Ini.	N° Barra Fin.	N° Barre	Ø
1	1	4	3	16
2	3	2	3	16

CALCOLO DI RESISTENZA - SFORZI PER OGNI COMBINAZIONE ASSEGNATA

N	Sforzo normale [kN] applicato nel Baric. (+ se di compressione)
Mx	Momento flettente [kNm] intorno all'asse x princ. d'inerzia con verso positivo se tale da comprimere il lembo sup. della sez.

<p>GENERAL CONTRACTOR</p> 	<p>ALTA SORVEGLIANZA</p> 								
	<table border="1" style="width: 100%;"> <tr> <td style="width: 25%;">Progetto</td> <td style="width: 15%;">Lotto</td> <td style="width: 40%;">Codifica</td> <td style="width: 20%;"></td> </tr> <tr> <td>IN17</td> <td>12</td> <td>EI2CLSL2300003</td> <td>A</td> </tr> </table>	Progetto	Lotto	Codifica		IN17	12	EI2CLSL2300003	A
Progetto	Lotto	Codifica							
IN17	12	EI2CLSL2300003	A						

My Momento flettente [kNm] intorno all'asse y princ. d'inerzia
con verso positivo se tale da comprimere il lembo destro della sez.
Vy Componente del Taglio [kN] parallela all'asse princ.d'inerzia y
Vx Componente del Taglio [kN] parallela all'asse princ.d'inerzia x

N°Comb.	N	Mx	My	Vy	Vx
1	0.00	95.00	0.00	0.00	0.00
2	0.00	210.00	0.00	0.00	0.00

COMB. RARE (S.L.E.) - SFORZI PER OGNI COMBINAZIONE ASSEGNATA

N Sforzo normale [kN] applicato nel Baricentro (+ se di compressione)
Mx Momento flettente [kNm] intorno all'asse x princ. d'inerzia (tra parentesi Mom.Fessurazione)
con verso positivo se tale da comprimere il lembo superiore della sezione
My Momento flettente [kNm] intorno all'asse y princ. d'inerzia (tra parentesi Mom.Fessurazione)
con verso positivo se tale da comprimere il lembo destro della sezione

N°Comb.	N	Mx	My
1	0.00	60.00	0.00

COMB. FREQUENTI (S.L.E.) - SFORZI PER OGNI COMBINAZIONE ASSEGNATA

N Sforzo normale [kN] applicato nel Baricentro (+ se di compressione)
Mx Momento flettente [kNm] intorno all'asse x princ. d'inerzia (tra parentesi Mom.Fessurazione)
con verso positivo se tale da comprimere il lembo superiore della sezione
My Momento flettente [kNm] intorno all'asse y princ. d'inerzia (tra parentesi Mom.Fessurazione)
con verso positivo se tale da comprimere il lembo destro della sezione

N°Comb.	N	Mx	My
1	0.00	40.00 (201.02)	0.00 (0.00)

COMB. QUASI PERMANENTI (S.L.E.) - SFORZI PER OGNI COMBINAZIONE ASSEGNATA

N Sforzo normale [kN] applicato nel Baricentro (+ se di compressione)
Mx Momento flettente [kNm] intorno all'asse x princ. d'inerzia (tra parentesi Mom.Fessurazione)
con verso positivo se tale da comprimere il lembo superiore della sezione
My Momento flettente [kNm] intorno all'asse y princ. d'inerzia (tra parentesi Mom.Fessurazione)
con verso positivo se tale da comprimere il lembo destro della sezione

N°Comb.	N	Mx	My
1	0.00	35.00 (201.02)	0.00 (0.00)



RISULTATI DEL CALCOLO

Sezione verificata per tutte le combinazioni assegnate

Copriferro netto minimo barre longitudinali: 7.2 cm

VERIFICHE DI RESISTENZA IN PRESSO-TENSO FLESSIONE ALLO STATO LIMITE ULTIMO

Ver S = combinazione verificata / N = combin. non verificata
N Sforzo normale assegnato [kN] nel baricentro B sezione cls.(positivo se di compressione)
Mx Componente del momento assegnato [kNm] riferito all'asse x princ. d'inerzia
My Componente del momento assegnato [kNm] riferito all'asse y princ. d'inerzia
N Res Sforzo normale resistente [kN] nel baricentro B sezione cls.(positivo se di compress.)
Mx Res Momento flettente resistente [kNm] riferito all'asse x princ. d'inerzia
My Res Momento flettente resistente [kNm] riferito all'asse y princ. d'inerzia
Mis.Sic. Misura sicurezza = rapporto vettoriale tra (N r,Mx Res,My Res) e (N,Mx,My)

GENERAL CONTRACTOR 		ALTA SORVEGLIANZA  GRUPPO FERROVIE DELLO STATO ITALIANE			
		Progetto	Lotto	Codifica	
		IN17	12	EI2CLSL2300003	A

As Tesa Verifica positiva se tale rapporto risulta ≥ 1.000
 Area armature trave [cm²] in zona tesa. [Tra parentesi l'area minima ex (4.1.15)NTC]

N°Comb	Ver	N	Mx	My	N Res	Mx Res	My Res	Mis.Sic.	As Tesa
1	N	0.00	95.00	0.00	0.00	219.01	0.00	2.31	20.1(9.3)
2	N	0.00	210.00	0.00	0.00	219.01	0.00	1.04	20.1(9.3)

METODO AGLI STATI LIMITE ULTIMI - DEFORMAZIONI UNITARIE ALLO STATO ULTIMO

ec max Deform. unit. massima del calcestruzzo a compressione
 x/d Rapporto di duttilità [§ 4.1.2.1.2.1 NTC] deve essere < 0.45
 Xc max Ascissa in cm della fibra corrisp. a ec max (sistema rif. X,Y,O sez.)
 Yc max Ordinata in cm della fibra corrisp. a ec max (sistema rif. X,Y,O sez.)
 es min Deform. unit. minima nell'acciaio (negativa se di trazione)
 Xs min Ascissa in cm della barra corrisp. a es min (sistema rif. X,Y,O sez.)
 Ys min Ordinata in cm della barra corrisp. a es min (sistema rif. X,Y,O sez.)
 es max Deform. unit. massima nell'acciaio (positiva se di compress.)
 Xs max Ascissa in cm della barra corrisp. a es max (sistema rif. X,Y,O sez.)
 Ys max Ordinata in cm della barra corrisp. a es max (sistema rif. X,Y,O sez.)

N°Comb	ec max	x/d	Xc max	Yc max	es min	Xs min	Ys min	es max	Xs max	Ys max
1	0.00350	0.099	100.0	60.0	-0.00194	92.0	52.0	-0.03187	8.0	8.0
2	0.00350	0.099	100.0	60.0	-0.00194	92.0	52.0	-0.03187	8.0	8.0

POSIZIONE ASSE NEUTRO PER OGNI COMB. DI RESISTENZA

a, b, c Coeff. a, b, c nell'eq. dell'asse neutro $aX+bY+c=0$ nel rif. X,Y,O gen.
 x/d Rapp. di duttilità (travi e solette)[§ 4.1.2.1.2.1 NTC]: deve essere < 0.45
 C.Rid. Coeff. di riduz. momenti per sola flessione in travi continue

N°Comb	a	b	c	x/d	C.Rid.
1	0.000000000	0.000680108	-0.037306486	0.099	0.700
2	0.000000000	0.000680108	-0.037306486	0.099	0.700



COMBINAZIONI RARE IN ESERCIZIO - MASSIME TENSIONI NORMALI ED APERTURA FESSURE (NTC/EC2)

Ver S = comb. verificata/ N = comb. non verificata
 Sc max Massima tensione (positiva se di compressione) nel calcestruzzo [MPa]
 Xc max, Yc max Ascissa, Ordinata [cm] del punto corrisp. a Sc max (sistema rif. X,Y,O)
 Ss min Minima tensione (negativa se di trazione) nell'acciaio [MPa]
 Xs min, Ys min Ascissa, Ordinata [cm] della barra corrisp. a Ss min (sistema rif. X,Y,O)
 Ac eff. Area di calcestruzzo [cm²] in zona tesa considerata aderente alle barre
 As eff. Area barre [cm²] in zona tesa considerate efficaci per l'apertura delle fessure

N°Comb	Ver	Sc max	Xc max	Yc max	Ss min	Xs min	Ys min	Ac eff.	As eff.
1	S	2.16	100.0	60.0	-124.0	8.0	8.0	1566	10.1

COMBINAZIONI RARE IN ESERCIZIO - APERTURA FESSURE [§ 7.3.4 EC2]

Ver. La sezione viene assunta sempre fessurata anche nel caso in cui la trazione minima del calcestruzzo sia inferiore a f_{ctm}
 Esito della verifica
 e1 Massima deformazione unitaria di trazione nel calcestruzzo (trazione -) valutata in sezione fessurata
 e2 Minima deformazione unitaria di trazione nel calcestruzzo (trazione -) valutata in sezione fessurata
 k1 = 0.8 per barre ad aderenza migliorata [eq.(7.11)EC2]
 kt = 0.4 per comb. quasi permanenti / = 0.6 per comb. frequenti [cfr. eq.(7.9)EC2]
 k2 = 0.5 per flessione; $= (e1 + e2)/(2 * e1)$ per trazione eccentrica [eq.(7.13)EC2]
 k3 = 3.400 Coeff. in eq.(7.11) come da annessi nazionali
 k4 = 0.425 Coeff. in eq.(7.11) come da annessi nazionali
 Ø Diametro [mm] equivalente delle barre tese comprese nell'area efficace Ac eff [eq.(7.11)EC2]
 Cf Copriferro [mm] netto calcolato con riferimento alla barra più tesa

<p>GENERAL CONTRACTOR</p> 	<p>ALTA SORVEGLIANZA</p> 			
	<p>Progetto</p> <p>IN17</p>	<p>Lotto</p> <p>12</p>	<p>Codifica</p> <p>EI2CLSL2300003</p>	<p>A</p>

e sm - e cm Differenza tra le deformazioni medie di acciaio e calcestruzzo [(7.8)EC2 e (C4.1.7)NTC]
Tra parentesi: valore minimo = 0.6 Smax / Es [(7.9)EC2 e (C4.1.8)NTC]
sr max Massima distanza tra le fessure [mm]
wk Apertura fessure in mm calcolata = sr max*(e_sm - e_cm) [(7.8)EC2 e (C4.1.7)NTC]. Valore limite tra parentesi
Mx fess. Componente momento di prima fessurazione intorno all'asse X [kNm]
My fess. Componente momento di prima fessurazione intorno all'asse Y [kNm]

Comb.	Ver	e1	e2	k2	Ø	Cf	e sm - e cm	sr max	wk	Mx fess	My fess
1	S	-0.00074	0.00000	0.500	16.0	72	0.00037 (0.00037)	668	0.249 (990.00)	201.02	0.00

COMBINAZIONI FREQUENTI IN ESERCIZIO - MASSIME TENSIONI NORMALI ED APERTURA FESSURE (NTC/EC2)

N°Comb	Ver	Sc max	Xc max	Yc max	Ss min	Xs min	Ys min	Ac eff.	As eff.
1	S	1.44	100.0	60.0	-82.7	8.0	8.0	1566	10.1

COMBINAZIONI FREQUENTI IN ESERCIZIO - APERTURA FESSURE [§ 7.3.4 EC2]



Comb.	Ver	e1	e2	k2	Ø	Cf	e sm - e cm	sr max	wk	Mx fess	My fess
1	S	-0.00049	0.00000	0.500	16.0	72	0.00025 (0.00025)	668	0.166 (0.20)	201.02	0.00

COMBINAZIONI QUASI PERMANENTI IN ESERCIZIO - MASSIME TENSIONI NORMALI ED APERTURA FESSURE (NTC/EC2)

N°Comb	Ver	Sc max	Xc max	Yc max	Ss min	Xs min	Ys min	Ac eff.	As eff.
1	S	1.26	100.0	60.0	-72.4	8.0	8.0	1566	10.1

COMBINAZIONI QUASI PERMANENTI IN ESERCIZIO - APERTURA FESSURE [§ 7.3.4 EC2]

Comb.	Ver	e1	e2	k2	Ø	Cf	e sm - e cm	sr max	wk	Mx fess	My fess
1	S	-0.00043	0.00000	0.500	16.0	72	0.00022 (0.00022)	668	0.145 (0.20)	201.02	0.00

GENERAL CONTRACTOR 		ALTA SORVEGLIANZA  GRUPPO FERROVIE DELLO STATO ITALIANE			
		Progetto	Lotto	Codifica	
		IN17	12	EI2CLSL2300003	A

SEZIONE					
b_w	=	100	cm		
h	=	60	cm		
c	=	5	cm		
d	=	$h-c$	=	55	cm
MATERIALI					
f_{ywd}	=	391.30	MPa		
R_{ck}	=	40	MPa		
γ_c	=	1.5			
f_{ck}	=	$0.83 \times R_{ck}$	=	33.2	MPa
f_{cd}	=	$0.85 \times f_{ck} / \gamma_c$	=	18.81	MPa
ARMATURE A TAGLIO					
\varnothing_{st}	=	10			
braccia	=	2.5			
\varnothing_{st2}	=	0			
braccia	=	0			
passo	=	40	cm		
(A_{sw} / s)	=	4.909	cm^2 / m		
α	=	90	$^\circ$	(90° staffe verticali)	
TAGLIO AGENTE		$V_{Ed} =$	185	(KN)	
SFORZO NORMALE		$N_{Ed} =$	0	(KN)	
		$\alpha_c =$	1.0000		
ELEMENTI CON ARMATURA A TAGLIO					
Calcolo di $\cot \theta$					
$\cot(\theta) =$		6.93			
$\theta =$		8.22 $^\circ$			
$\cot \vartheta > 2,5$ Si assume $\vartheta = 21,8^\circ$					
Armatura trasversale					
$V_{Rsd} =$		237.70	(KN)		
$V_{Rcd} =$		1605.62	(KN)		
$V_{Rd} =$		238	(KN)	$\min(V_{Rsd}, V_{Rcd})$	

9.6.2 Soletta inferiore – sezione di incastro

CARATTERISTICHE DI RESISTENZA DEI MATERIALI IMPIEGATI

	Progetto	Lotto	Codifica	
	IN17	12	EI2CLSL2300003	A

CALCESTRUZZO -	Classe:	C32/40	
	Resis. compr. di progetto fcd:	18.8	MPa
	Def.unit. max resistenza ec2:	0.0020	
	Def.unit. ultima ecu:	0.0035	
	Diagramma tensione-deformaz.:	Parabola-Rettangolo	
	Modulo Elastico Normale Ec:	33642.8	MPa
	Resis. media a trazione fctm:	3.10	MPa
	Coeff. Omogen. S.L.E.:	15.00	
	Sc limite S.L.E. comb. Rare:	19.9	MPa
	Sc limite S.L.E. comb. Frequenti:	19.9	MPa
	Ap.Fessure limite S.L.E. comb. Frequenti:	0.200	mm
	Sc limite S.L.E. comb. Q.Permanenti:	14.9	MPa
	Ap.Fess.limite S.L.E. comb. Q.Perm.:	0.200	mm

ACCIAIO -	Tipo:	B450C	
	Resist. caratt. snervam. fyk:	450.0	MPa
	Resist. caratt. rottura ftk:	450.0	MPa
	Resist. snerv. di progetto fyd:	391.3	MPa
	Resist. ultima di progetto ftd:	391.3	MPa
	Deform. ultima di progetto Epu:	0.068	
	Modulo Elastico Ef	2000000	daN/cm ²
	Diagramma tensione-deformaz.:	Bilineare finito	
	Coeff. Aderenza istantaneo $\beta_1 \cdot \beta_2$:	1.00	
	Coeff. Aderenza differito $\beta_1 \cdot \beta_2$:	0.50	
	Sf limite S.L.E. Comb. Rare:	360.00	MPa

CARATTERISTICHE DOMINIO CALCESTRUZZO

Forma del Dominio:	Poligonale
Classe Calcestruzzo:	C32/40

N°vertice:	X [cm]	Y [cm]
1	100.0	60.0
2	100.0	0.0
3	0.0	0.0
4	0.0	60.0



DATI BARRE ISOLATE

N°Barra	X [cm]	Y [cm]	DiamØ[mm]
1	92.0	52.0	16
2	92.0	8.0	16
3	8.0	8.0	16
4	8.0	52.0	16

DATI GENERAZIONI LINEARI DI BARRE

N°Gen.	Numero assegnato alla singola generazione lineare di barre			
N°Barra Ini.	Numero della barra iniziale cui si riferisce la generazione			
N°Barra Fin.	Numero della barra finale cui si riferisce la generazione			
N°Barre	Numero di barre generate equidistanti cui si riferisce la generazione			
Ø	Diametro in mm delle barre della generazione			

N°Gen.	N°Barra Ini.	N°Barra Fin.	N°Barre	Ø
1	1	4	3	16
2	3	2	5	16

<p>GENERAL CONTRACTOR</p> 	<p>ALTA SORVEGLIANZA</p> 			
	Progetto	Lotto	Codifica	
	IN17	12	EI2CLSL2300003	A

CALCOLO DI RESISTENZA - SFORZI PER OGNI COMBINAZIONE ASSEGNATA

N	Sforzo normale [kN] applicato nel Baric. (+ se di compressione)				
Mx	Momento flettente [kNm] intorno all'asse x princ. d'inerzia con verso positivo se tale da comprimere il lembo sup. della sez.				
My	Momento flettente [kNm] intorno all'asse y princ. d'inerzia con verso positivo se tale da comprimere il lembo destro della sez.				
Vy	Componente del Taglio [kN] parallela all'asse princ.d'inerzia y				
Vx	Componente del Taglio [kN] parallela all'asse princ.d'inerzia x				

N°Comb.	N	Mx	My	Vy	Vx
1	0.00	115.00	0.00	0.00	0.00
2	0.00	255.00	0.00	0.00	0.00

COMB. RARE (S.L.E.) - SFORZI PER OGNI COMBINAZIONE ASSEGNATA

N	Sforzo normale [kN] applicato nel Baricentro (+ se di compressione)		
Mx	Momento flettente [kNm] intorno all'asse x princ. d'inerzia (tra parentesi Mom.Fessurazione) con verso positivo se tale da comprimere il lembo superiore della sezione		
My	Momento flettente [kNm] intorno all'asse y princ. d'inerzia (tra parentesi Mom.Fessurazione) con verso positivo se tale da comprimere il lembo destro della sezione		

N°Comb.	N	Mx	My
1	0.00	80.00	0.00

COMB. FREQUENTI (S.L.E.) - SFORZI PER OGNI COMBINAZIONE ASSEGNATA

N	Sforzo normale [kN] applicato nel Baricentro (+ se di compressione)		
Mx	Momento flettente [kNm] intorno all'asse x princ. d'inerzia (tra parentesi Mom.Fessurazione) con verso positivo se tale da comprimere il lembo superiore della sezione		
My	Momento flettente [kNm] intorno all'asse y princ. d'inerzia (tra parentesi Mom.Fessurazione) con verso positivo se tale da comprimere il lembo destro della sezione		

N°Comb.	N	Mx	My
1	0.00	70.00 (205.43)	0.00 (0.00)

COMB. QUASI PERMANENTI (S.L.E.) - SFORZI PER OGNI COMBINAZIONE ASSEGNATA

N	Sforzo normale [kN] applicato nel Baricentro (+ se di compressione)		
Mx	Momento flettente [kNm] intorno all'asse x princ. d'inerzia (tra parentesi Mom.Fessurazione) con verso positivo se tale da comprimere il lembo superiore della sezione		
My	Momento flettente [kNm] intorno all'asse y princ. d'inerzia (tra parentesi Mom.Fessurazione) con verso positivo se tale da comprimere il lembo destro della sezione		

N°Comb.	N	Mx	My
1	0.00	55.00 (205.43)	0.00 (0.00)



RISULTATI DEL CALCOLO

Sezione verificata per tutte le combinazioni assegnate

Copriferro netto minimo barre longitudinali: 7.2 cm

VERIFICHE DI RESISTENZA IN PRESSO-TENSO FLESSIONE ALLO STATO LIMITE ULTIMO

Ver S = combinazione verificata / N = combin. non verificata
N Sforzo normale assegnato [kN] nel baricentro B sezione cls.(positivo se di compressione)

GENERAL CONTRACTOR 		ALTA SORVEGLIANZA  GRUPPO FERROVIE DELLO STATO ITALIANE			
		Progetto	Lotto	Codifica	
		IN17	12	EI2CLSL2300003	A

Mx Componente del momento assegnato [kNm] riferito all'asse x princ. d'inerzia
 My Componente del momento assegnato [kNm] riferito all'asse y princ. d'inerzia
 N Res Sforzo normale resistente [kN] nel baricentro B sezione cls.(positivo se di compress.)
 Mx Res Momento flettente resistente [kNm] riferito all'asse x princ. d'inerzia
 My Res Momento flettente resistente [kNm] riferito all'asse y princ. d'inerzia
 Mis.Sic. Misura sicurezza = rapporto vettoriale tra (N r,Mx Res,My Res) e (N,Mx,My)
 Verifica positiva se tale rapporto risulta >=1.000
 As Tesa Area armature trave [cm²] in zona tesa. [Tra parentesi l'area minima ex (4.1.15)NTC]

N°Comb	Ver	N	Mx	My	N Res	Mx Res	My Res	Mis.Sic.	As Tesa
1	N	0.00	115.00	0.00	0.00	290.66	0.00	2.53	24.1(9.3)
2	N	0.00	255.00	0.00	0.00	290.66	0.00	1.14	24.1(9.3)

METODO AGLI STATI LIMITE ULTIMI - DEFORMAZIONI UNITARIE ALLO STATO ULTIMO

ec max Deform. unit. massima del calcestruzzo a compressione
 x/d Rapporto di duttilità [§ 4.1.2.1.2.1 NTC] deve essere < 0.45
 Xc max Ascissa in cm della fibra corrisp. a ec max (sistema rif. X,Y,O sez.)
 Yc max Ordinata in cm della fibra corrisp. a ec max (sistema rif. X,Y,O sez.)
 es min Deform. unit. minima nell'acciaio (negativa se di trazione)
 Xs min Ascissa in cm della barra corrisp. a es min (sistema rif. X,Y,O sez.)
 Ys min Ordinata in cm della barra corrisp. a es min (sistema rif. X,Y,O sez.)
 es max Deform. unit. massima nell'acciaio (positiva se di compress.)
 Xs max Ascissa in cm della barra corrisp. a es max (sistema rif. X,Y,O sez.)
 Ys max Ordinata in cm della barra corrisp. a es max (sistema rif. X,Y,O sez.)

N°Comb	ec max	x/d	Xc max	Yc max	es min	Xs min	Ys min	es max	Xs max	Ys max
1	0.00350	0.108	100.0	60.0	-0.00150	92.0	52.0	-0.02902	8.0	8.0
2	0.00350	0.108	100.0	60.0	-0.00150	92.0	52.0	-0.02902	8.0	8.0

POSIZIONE ASSE NEUTRO PER OGNI COMB. DI RESISTENZA

a, b, c Coeff. a, b, c nell'eq. dell'asse neutro $aX+bY+c=0$ nel rif. X,Y,O gen.
 x/d Rapp. di duttilità (travi e solette)[§ 4.1.2.1.2.1 NTC]: deve essere < 0.45
 C.Rid. Coeff. di riduz. momenti per sola flessione in travi continue

N°Comb	a	b	c	x/d	C.Rid.
1	0.000000000	0.000625382	-0.034022902	0.108	0.700
2	0.000000000	0.000625382	-0.034022902	0.108	0.700


COMBINAZIONI RARE IN ESERCIZIO - MASSIME TENSIONI NORMALI ED APERTURA FESSURE (NTC/EC2)

Ver S = comb. verificata/ N = comb. non verificata
 Sc max Massima tensione (positiva se di compressione) nel calcestruzzo [MPa]
 Xc max, Yc max Ascissa, Ordinata [cm] del punto corrisp. a Sc max (sistema rif. X,Y,O)
 Ss min Minima tensione (negativa se di trazione) nell'acciaio [MPa]
 Xs min, Ys min Ascissa, Ordinata [cm] della barra corrisp. a Ss min (sistema rif. X,Y,O)
 Ac eff. Area di calcestruzzo [cm²] in zona tesa considerata aderente alle barre
 As eff. Area barre [cm²] in zona tesa considerate efficaci per l'apertura delle fessure

N°Comb	Ver	Sc max	Xc max	Yc max	Ss min	Xs min	Ys min	Ac eff.	As eff.
1	S	2.50	100.0	60.0	-119.5	22.0	8.0	1600	14.1

COMBINAZIONI RARE IN ESERCIZIO - APERTURA FESSURE [§ 7.3.4 EC2]

Ver. La sezione viene assunta sempre fessurata anche nel caso in cui la trazione minima del calcestruzzo sia inferiore a f_{ctm}
 e1 Esito della verifica
 e2 Massima deformazione unitaria di trazione nel calcestruzzo (trazione -) valutata in sezione fessurata
 k1 Minima deformazione unitaria di trazione nel calcestruzzo (trazione -) valutata in sezione fessurata
 = 0.8 per barre ad aderenza migliorata [eq.(7.11)EC2]

GENERAL CONTRACTOR 		ALTA SORVEGLIANZA 			
		Progetto	Lotto	Codifica	
		IN17	12	EI2CLSL2300003	A

k_t = 0.4 per comb. quasi permanenti / = 0.6 per comb. frequenti [cfr. eq.(7.9)EC2]
 k_2 = 0.5 per flessione; $= (e_1 + e_2) / (2 * e_1)$ per trazione eccentrica [eq.(7.13)EC2]
 k_3 = 3.400 Coeff. in eq.(7.11) come da annessi nazionali
 k_4 = 0.425 Coeff. in eq.(7.11) come da annessi nazionali
 \emptyset Diametro [mm] equivalente delle barre tese comprese nell'area efficace $A_c \text{ eff}$ [eq.(7.11)EC2]
 C_f Copriferro [mm] netto calcolato con riferimento alla barra più tesa
 $e_{sm} - e_{cm}$ Differenza tra le deformazioni medie di acciaio e calcestruzzo [(7.8)EC2 e (C4.1.7)NTC]
 Tra parentesi: valore minimo = $0.6 S_{max} / E_s$ [(7.9)EC2 e (C4.1.8)NTC]
 $s_r \text{ max}$ Massima distanza tra le fessure [mm]
 w_k Apertura fessure in mm calcolata = $s_r \text{ max} * (e_{sm} - e_{cm})$ [(7.8)EC2 e (C4.1.7)NTC]. Valore limite tra parentesi
 $M_x \text{ fess.}$ Componente momento di prima fessurazione intorno all'asse X [kNm]
 $M_y \text{ fess.}$ Componente momento di prima fessurazione intorno all'asse Y [kNm]

Comb.	Ver	e1	e2	k2	\emptyset	C_f	$e_{sm} - e_{cm}$	$s_r \text{ max}$	wk	$M_x \text{ fess.}$	$M_y \text{ fess.}$
1	S	-0.00072	0.00000	0.500	16.0	72	0.00036 (0.00036)	554	0.199 (990.00)	205.43	0.00

COMBINAZIONI FREQUENTI IN ESERCIZIO - MASSIME TENSIONI NORMALI ED APERTURA FESSURE (NTC/EC2)

N°Comb	Ver	$S_c \text{ max}$	$X_c \text{ max}$	$Y_c \text{ max}$	$S_s \text{ min}$	$X_s \text{ min}$	$Y_s \text{ min}$	$A_c \text{ eff.}$	$A_s \text{ eff.}$
1	S	2.18	0.0	60.0	-104.6	78.0	8.0	1600	14.1

COMBINAZIONI FREQUENTI IN ESERCIZIO - APERTURA FESSURE [§ 7.3.4 EC2]

Comb.	Ver	e1	e2	k2	\emptyset	C_f	$e_{sm} - e_{cm}$	$s_r \text{ max}$	wk	$M_x \text{ fess.}$	$M_y \text{ fess.}$
1	S	-0.00063	0.00000	0.500	16.0	72	0.00031 (0.00031)	554	0.174 (0.20)	205.43	0.00

COMBINAZIONI QUASI PERMANENTI IN ESERCIZIO - MASSIME TENSIONI NORMALI ED APERTURA FESSURE (NTC/EC2)

N°Comb	Ver	$S_c \text{ max}$	$X_c \text{ max}$	$Y_c \text{ max}$	$S_s \text{ min}$	$X_s \text{ min}$	$Y_s \text{ min}$	$A_c \text{ eff.}$	$A_s \text{ eff.}$
1	S	1.72	0.0	60.0	-82.2	92.0	8.0	1600	14.1

COMBINAZIONI QUASI PERMANENTI IN ESERCIZIO - APERTURA FESSURE [§ 7.3.4 EC2]

Comb.	Ver	e1	e2	k2	\emptyset	C_f	$e_{sm} - e_{cm}$	$s_r \text{ max}$	wk	$M_x \text{ fess.}$	$M_y \text{ fess.}$
1	S	-0.00049	0.00000	0.500	16.0	72	0.00025 (0.00025)	554	0.137 (0.20)	205.43	0.00

GENERAL CONTRACTOR



ALTA SORVEGLIANZA



Progetto

Lotto

Codifica

IN17

12

EI2CLSL2300003

A

SEZIONE

b_w	=	100	cm		
h	=	60	cm		
c	=	5	cm		
d	=	$h-c$	=	55	cm

MATERIALI

f_{ywd}	=	391.30	MPa		
R_{ck}	=	40	MPa		
γ_c	=	1.5			
f_{ck}	=	$0.83 \times R_{ck}$	=	33.2	MPa
f_{cd}	=	$0.85 \times f_{ck} / \gamma_c$	=	18.81	MPa

ARMATURE A TAGLIO

\varnothing_{st}	=	10			
braccia	=	2.5			
\varnothing_{st2}	=	0			
braccia	=	0			
passo	=	40	cm		
(A_{sw} / s)	=	4.909	cm^2 / m		
α	=	90	$^\circ$		(90° staffe verticali)

TAGLIO AGENTE	$V_{Ed} =$	75	(KN)
SFORZO NORMALE	$N_{Ed} =$	0	(KN)
	$\alpha_c =$	1.0000	

ELEMENTI CON ARMATURA A TAGLIO**Calcolo di $\cot \theta$**

$$\cot(\theta) = 6.93$$

$$\theta = 8.22^\circ$$

$$\cot \vartheta > 2,5$$

Si assume

$$\vartheta = 21,8^\circ$$



Armatura trasversale

$$V_{Rsd} = 237.70 \text{ (KN)}$$

$$V_{Rcd} = 1605.62 \text{ (KN)}$$

$$V_{Rd} = 238 \text{ (KN)}$$

$$\min(V_{Rsd}, V_{Rcd})$$

<p>GENERAL CONTRACTOR</p> 	<p>ALTA SORVEGLIANZA</p> 			
	Progetto	Lotto	Codifica	
	IN17	12	EI2CLSL2300003	A

9.6.3 Piedritti – sezione di incastro

CARATTERISTICHE DI RESISTENZA DEI MATERIALI IMPIEGATI

CALCESTRUZZO -	Classe:	C32/40	
	Resis. compr. di progetto fcd:	18.8	MPa
	Def.unit. max resistenza ec2:	0.0020	
	Def.unit. ultima ecu:	0.0035	
	Diagramma tensione-deformaz.:	Parabola-Rettangolo	
	Modulo Elastico Normale Ec:	33642.8	MPa
	Resis. media a trazione fctm:	3.10	MPa
	Coeff. Omogen. S.L.E.:	15.00	
	Sc limite S.L.E. comb. Rare:	19.9	MPa
	Sc limite S.L.E. comb. Frequenti:	19.9	MPa
	Ap.Fessure limite S.L.E. comb. Frequenti:	0.200	mm
	Sc limite S.L.E. comb. Q.Permanenti:	14.9	MPa
	Ap.Fess.limite S.L.E. comb. Q.Perm.:	0.200	mm
ACCIAIO -	Tipo:	B450C	
	Resist. caratt. snervam. fyk:	450.0	MPa
	Resist. caratt. rottura ftk:	450.0	MPa
	Resist. snerv. di progetto fyd:	391.3	MPa
	Resist. ultima di progetto ftd:	391.3	MPa
	Deform. ultima di progetto Epu:	0.068	
	Modulo Elastico Ef	2000000	daN/cm ²
	Diagramma tensione-deformaz.:	Bilineare finito	
	Coeff. Aderenza istantaneo $\beta_1 \cdot \beta_2$:	1.00	
	Coeff. Aderenza differito $\beta_1 \cdot \beta_2$:	0.50	
Sf limite S.L.E. Comb. Rare:	360.00	MPa	

CARATTERISTICHE DOMINIO CALCESTRUZZO



Forma del Dominio:	Poligonale	
Classe Calcestruzzo:	C32/40	
N°vertice:	X [cm]	Y [cm]
1	100.0	50.0
2	100.0	0.0
3	0.0	0.0
4	0.0	50.0

DATI BARRE ISOLATE

N°Barra	X [cm]	Y [cm]	DiamØ[mm]
1	92.0	42.0	16
2	92.0	8.0	16
3	8.0	8.0	16
4	8.0	42.0	16

DATI GENERAZIONI LINEARI DI BARRE

N°Gen.	Numero assegnato alla singola generazione lineare di barre			
N°Barra Ini.	Numero della barra iniziale cui si riferisce la generazione			
N°Barra Fin.	Numero della barra finale cui si riferisce la generazione			
N°Barre	Numero di barre generate equidistanti cui si riferisce la generazione			
Ø	Diametro in mm delle barre della generazione			
N°Gen.	N°Barra Ini.	N°Barra Fin.	N°Barre	Ø

<p>GENERAL CONTRACTOR</p> 	<p>ALTA SORVEGLIANZA</p> 			
	Progetto	Lotto	Codifica	
	IN17	12	EI2CLSL2300003	A

1	1	4	8	16
2	3	2	3	16

CALCOLO DI RESISTENZA - SFORZI PER OGNI COMBINAZIONE ASSEGNATA

N	Sforzo normale [kN] applicato nel Baric. (+ se di compressione)
Mx	Momento flettente [kNm] intorno all'asse x princ. d'inerzia con verso positivo se tale da comprimere il lembo sup. della sez.
My	Momento flettente [kNm] intorno all'asse y princ. d'inerzia con verso positivo se tale da comprimere il lembo destro della sez.
Vy	Componente del Taglio [kN] parallela all'asse princ.d'inerzia y
Vx	Componente del Taglio [kN] parallela all'asse princ.d'inerzia x

N°Comb.	N	Mx	My	Vy	Vx
1	60.00	-115.00	0.00	0.00	0.00
2	45.00	-255.00	0.00	0.00	0.00

COMB. RARE (S.L.E.) - SFORZI PER OGNI COMBINAZIONE ASSEGNATA

N	Sforzo normale [kN] applicato nel Baricentro (+ se di compressione)
Mx	Momento flettente [kNm] intorno all'asse x princ. d'inerzia (tra parentesi Mom.Fessurazione) con verso positivo se tale da comprimere il lembo superiore della sezione
My	Momento flettente [kNm] intorno all'asse y princ. d'inerzia (tra parentesi Mom.Fessurazione) con verso positivo se tale da comprimere il lembo destro della sezione

N°Comb.	N	Mx	My
1	45.00	-80.00	0.00

COMB. FREQUENTI (S.L.E.) - SFORZI PER OGNI COMBINAZIONE ASSEGNATA

N	Sforzo normale [kN] applicato nel Baricentro (+ se di compressione)
Mx	Momento flettente [kNm] intorno all'asse x princ. d'inerzia (tra parentesi Mom.Fessurazione) con verso positivo se tale da comprimere il lembo superiore della sezione
My	Momento flettente [kNm] intorno all'asse y princ. d'inerzia (tra parentesi Mom.Fessurazione) con verso positivo se tale da comprimere il lembo destro della sezione

N°Comb.	N	Mx	My
1	45.00	-75.00 (-155.71)	0.00 (0.00)

COMB. QUASI PERMANENTI (S.L.E.) - SFORZI PER OGNI COMBINAZIONE ASSEGNATA



N	Sforzo normale [kN] applicato nel Baricentro (+ se di compressione)
Mx	Momento flettente [kNm] intorno all'asse x princ. d'inerzia (tra parentesi Mom.Fessurazione) con verso positivo se tale da comprimere il lembo superiore della sezione
My	Momento flettente [kNm] intorno all'asse y princ. d'inerzia (tra parentesi Mom.Fessurazione) con verso positivo se tale da comprimere il lembo destro della sezione

N°Comb.	N	Mx	My
1	45.00	-55.00 (-158.73)	0.00 (0.00)

RISULTATI DEL CALCOLO

Sezione verificata per tutte le combinazioni assegnate

Copriferro netto minimo barre longitudinali: 7.2 cm

GENERAL CONTRACTOR 		ALTA SORVEGLIANZA  GRUPPO FERROVIE DELLO STATO ITALIANE			
		Progetto	Lotto	Codifica	
		IN17	12	EI2CLSL2300003	A

VERIFICHE DI RESISTENZA IN PRESSO-TENSO FLESSIONE ALLO STATO LIMITE ULTIMO

Ver	S = combinazione verificata / N = combin. non verificata
N	Sforzo normale assegnato [kN] nel baricentro B sezione cls.(positivo se di compressione)
Mx	Componente del momento assegnato [kNm] riferito all'asse x princ. d'inerzia
My	Componente del momento assegnato [kNm] riferito all'asse y princ. d'inerzia
N Res	Sforzo normale resistente [kN] nel baricentro B sezione cls.(positivo se di compress.)
Mx Res	Momento flettente resistente [kNm] riferito all'asse x princ. d'inerzia
My Res	Momento flettente resistente [kNm] riferito all'asse y princ. d'inerzia
Mis.Sic.	Misura sicurezza = rapporto vettoriale tra (N r,Mx Res,My Res) e (N,Mx,My) Verifica positiva se tale rapporto risulta >=1.000
As Tesa	Area armature trave [cm ²] in zona tesa. [Tra parentesi l'area minima ex (4.1.15)NTC]

N°Comb	Ver	N	Mx	My	N Res	Mx Res	My Res	Mis.Sic.	As Tesa
1	N	60.00	-115.00	0.00	60.22	-330.41	0.00	2.87	30.2(9.0)
2	N	45.00	-255.00	0.00	45.01	-327.62	0.00	1.28	30.2(9.0)

METODO AGLI STATI LIMITE ULTIMI - DEFORMAZIONI UNITARIE ALLO STATO ULTIMO

ec max	Deform. unit. massima del calcestruzzo a compressione
x/d	Rapporto di duttilità [§ 4.1.2.1.2.1 NTC] deve essere < 0.45
Xc max	Ascissa in cm della fibra corrisp. a ec max (sistema rif. X,Y,O sez.)
Yc max	Ordinata in cm della fibra corrisp. a ec max (sistema rif. X,Y,O sez.)
es min	Deform. unit. minima nell'acciaio (negativa se di trazione)
Xs min	Ascissa in cm della barra corrisp. a es min (sistema rif. X,Y,O sez.)
Ys min	Ordinata in cm della barra corrisp. a es min (sistema rif. X,Y,O sez.)
es max	Deform. unit. massima nell'acciaio (positiva se di compress.)
Xs max	Ascissa in cm della barra corrisp. a es max (sistema rif. X,Y,O sez.)
Ys max	Ordinata in cm della barra corrisp. a es max (sistema rif. X,Y,O sez.)

N°Comb	ec max	x/d	Xc max	Yc max	es min	Xs min	Ys min	es max	Xs max	Ys max
1	0.00350	0.156	0.0	0.0	-0.00076	8.0	8.0	-0.01889	92.0	42.0
2	0.00350	0.155	0.0	0.0	-0.00080	8.0	8.0	-0.01908	92.0	42.0

POSIZIONE ASSE NEUTRO PER OGNI COMB. DI RESISTENZA

a, b, c	Coeff. a, b, c nell'eq. dell'asse neutro aX+bY+c=0 nel rif. X,Y,O gen.
x/d	Rapp. di duttilità (travi e solette)[§ 4.1.2.1.2.1 NTC]: deve essere < 0.45
C.Rid.	Coeff. di riduz. momenti per sola flessione in travi continue

N°Comb	a	b	c	x/d	C.Rid.
1	0.000000000	-0.000533078	0.003500000	0.156	0.700
2	0.000000000	-0.000537529	0.003500000	0.155	0.700



COMBINAZIONI RARE IN ESERCIZIO - MASSIME TENSIONI NORMALI ED APERTURA FESSURE (NTC/EC2)

Ver	S = comb. verificata/ N = comb. non verificata
Sc max	Massima tensione (positiva se di compressione) nel calcestruzzo [MPa]
Xc max, Yc max	Ascissa, Ordinata [cm] del punto corrisp. a Sc max (sistema rif. X,Y,O)
Ss min	Minima tensione (negativa se di trazione) nell'acciaio [MPa]
Xs min, Ys min	Ascissa, Ordinata [cm] della barra corrisp. a Ss min (sistema rif. X,Y,O)
Ac eff.	Area di calcestruzzo [cm ²] in zona tesa considerata aderente alle barre
As eff.	Area barre [cm ²] in zona tesa considerate efficaci per l'apertura delle fessure

N°Comb	Ver	Sc max	Xc max	Yc max	Ss min	Xs min	Ys min	Ac eff.	As eff.
1	S	3.12	100.0	0.0	-95.1	17.3	42.0	1200	20.1

COMBINAZIONI RARE IN ESERCIZIO - APERTURA FESSURE [§ 7.3.4 EC2]

La sezione viene assunta sempre fessurata anche nel caso in cui la trazione minima del calcestruzzo sia inferiore a f_{ctm}

<p>GENERAL CONTRACTOR</p> 	<p>ALTA SORVEGLIANZA</p> 								
	<table border="1" style="width: 100%;"> <tr> <td style="width: 25%;">Progetto</td> <td style="width: 25%;">Lotto</td> <td style="width: 25%;">Codifica</td> <td style="width: 25%;"></td> </tr> <tr> <td style="text-align: center;">IN17</td> <td style="text-align: center;">12</td> <td style="text-align: center;">EI2CLSL2300003</td> <td style="text-align: center;">A</td> </tr> </table>	Progetto	Lotto	Codifica		IN17	12	EI2CLSL2300003	A
Progetto	Lotto	Codifica							
IN17	12	EI2CLSL2300003	A						

Ver.	Esito della verifica
e1	Massima deformazione unitaria di trazione nel calcestruzzo (trazione -) valutata in sezione fessurata
e2	Minima deformazione unitaria di trazione nel calcestruzzo (trazione -) valutata in sezione fessurata
k1	= 0.8 per barre ad aderenza migliorata [eq.(7.11)EC2]
kt	= 0.4 per comb. quasi permanenti / = 0.6 per comb.frequenti [cfr. eq.(7.9)EC2]
k2	= 0.5 per flessione; $=(e1 + e2)/(2*e1)$ per trazione eccentrica [eq.(7.13)EC2]
k3	= 3.400 Coeff. in eq.(7.11) come da annessi nazionali
k4	= 0.425 Coeff. in eq.(7.11) come da annessi nazionali
Ø	Diametro [mm] equivalente delle barre tese comprese nell'area efficace Ac eff [eq.(7.11)EC2]
Cf	Copriferro [mm] netto calcolato con riferimento alla barra più tesa
e sm - e cm	Differenza tra le deformazioni medie di acciaio e calcestruzzo [(7.8)EC2 e (C4.1.7)NTC] Tra parentesi: valore minimo = 0.6 Smax / Es [(7.9)EC2 e (C4.1.8)NTC]
sr max	Massima distanza tra le fessure [mm]
wk	Apertura fessure in mm calcolata = sr max*(e_sm - e_cm) [(7.8)EC2 e (C4.1.7)NTC]. Valore limite tra parentesi
Mx fess.	Componente momento di prima fessurazione intorno all'asse X [kNm]
My fess.	Componente momento di prima fessurazione intorno all'asse Y [kNm]

Comb.	Ver	e1	e2	k2	Ø	Cf	e sm - e cm	sr max	wk	Mx fess	My fess
1	S	-0.00061	0.00000	0.500	16.0	72	0.00029 (0.00029)	407	0.116 (990.00)	-155.20	0.00

COMBINAZIONI FREQUENTI IN ESERCIZIO - MASSIME TENSIONI NORMALI ED APERTURA FESSURE (NTC/EC2)

N°Comb	Ver	Sc max	Xc max	Yc max	Ss min	Xs min	Ys min	Ac eff.	As eff.
1	S	2.93	100.0	0.0	-88.5	54.7	42.0	1200	20.1

COMBINAZIONI FREQUENTI IN ESERCIZIO - APERTURA FESSURE [§ 7.3.4 EC2]



Comb.	Ver	e1	e2	k2	Ø	Cf	e sm - e cm	sr max	wk	Mx fess	My fess
1	S	-0.00057	0.00000	0.500	16.0	72	0.00027 (0.00027)	407	0.108 (0.20)	-155.71	0.00

COMBINAZIONI QUASI PERMANENTI IN ESERCIZIO - MASSIME TENSIONI NORMALI ED APERTURA FESSURE (NTC/EC2)



N°Comb	Ver	Sc max	Xc max	Yc max	Ss min	Xs min	Ys min	Ac eff.	As eff.
1	S	2.16	100.0	0.0	-62.0	17.3	42.0	1200	20.1

COMBINAZIONI QUASI PERMANENTI IN ESERCIZIO - APERTURA FESSURE [§ 7.3.4 EC2]

Comb.	Ver	e1	e2	k2	Ø	Cf	e sm - e cm	sr max	wk	Mx fess	My fess
1	S	-0.00040	0.00000	0.500	16.0	72	0.00019 (0.00019)	407	0.076 (0.20)	-158.73	0.00

GENERAL CONTRACTOR 		ALTA SORVEGLIANZA 			
		Progetto	Lotto	Codifica	
		IN17	12	EI2CLSL2300003	A

SEZIONE					
b_w	=	100	cm		
h	=	50	cm		
c	=	5	cm		
d	=	$h-c$	=	45	cm
MATERIALI					
f_{ywd}	=	391.30	MPa		
R_{ck}	=	40	MPa		
γ_c	=	1.5			
f_{ck}	=	$0.83 \times R_{ck}$	=	33.2	MPa
f_{cd}	=	$0.85 \times f_{ck} / \gamma_c$	=	18.81	MPa
ARMATURE A TAGLIO					
\varnothing_{st}	=	10			
braccia	=	3			
\varnothing_{st2}	=	0			
braccia	=	0			
passo	=	33	cm		
(A_{sw} / s)	=	7.140	cm^2 / m		
α	=	90	$^\circ$	(90° staffe verticali)	
TAGLIO AGENTE		$V_{Ed} =$	150	(KN)	
SFORZO NORMALE		$N_{Ed} =$	0	(KN)	
		$\alpha_c =$	1.0000		
ELEMENTI CON ARMATURA A TAGLIO					
Calcolo di $\cot \theta$					
$\cot(\theta) =$		5.72			
$\theta =$		9.92 $^\circ$			
$\cot \vartheta > 2,5$ Si assume $\vartheta = 21,8^\circ$					
Armatura trasversale					
$V_{Rsd} =$		282.88	(KN)		
$V_{Rcd} =$		1313.69	(KN)		
$V_{Rd} =$		283	(KN)	$\min(V_{Rsd}, V_{Rcd})$	

GENERAL CONTRACTOR 	ALTA SORVEGLIANZA 			
	Progetto IN17	Lotto 12	Codifica EI2CLSL2300003	A

9.6.4 Piedritti – sezione mezzeria

CARATTERISTICHE DI RESISTENZA DEI MATERIALI IMPIEGATI

CALCESTRUZZO -	Classe:	C32/40	
	Resis. compr. di progetto fcd:	18.8	MPa
	Def.unit. max resistenza ec2:	0.0020	
	Def.unit. ultima ecu:	0.0035	
	Diagramma tensione-deformaz.:	Parabola-Rettangolo	
	Modulo Elastico Normale Ec:	33642.8	MPa
	Resis. media a trazione fctm:	3.10	MPa
	Coeff. Omogen. S.L.E.:	15.00	
	Sc limite S.L.E. comb. Rare:	19.9	MPa
	Sc limite S.L.E. comb. Frequenti:	19.9	MPa
	Ap.Fessure limite S.L.E. comb. Frequenti:	0.200	mm
	Sc limite S.L.E. comb. Q.Permanenti:	14.9	MPa
	Ap.Fess.limite S.L.E. comb. Q.Perm.:	0.200	mm
ACCIAIO -	Tipo:	B450C	
	Resist. caratt. snervam. fyk:	450.0	MPa
	Resist. caratt. rottura ftk:	450.0	MPa
	Resist. snerv. di progetto fyd:	391.3	MPa
	Resist. ultima di progetto ftd:	391.3	MPa
	Deform. ultima di progetto Epu:	0.068	
	Modulo Elastico Ef	2000000	daN/cm ²
	Diagramma tensione-deformaz.:	Bilineare finito	
	Coeff. Aderenza istantaneo $\beta_1 \cdot \beta_2$:	1.00	
	Coeff. Aderenza differito $\beta_1 \cdot \beta_2$:	0.50	
Sf limite S.L.E. Comb. Rare:	360.00	MPa	

CARATTERISTICHE DOMINIO CALCESTRUZZO



Forma del Dominio:	Poligonale	
Classe Calcestruzzo:	C32/40	
N°vertice:	X [cm]	Y [cm]
1	100.0	50.0
2	100.0	0.0
3	0.0	0.0
4	0.0	50.0

DATI BARRE ISOLATE

N°Barra	X [cm]	Y [cm]	DiamØ[mm]
1	92.0	42.0	16
2	92.0	8.0	16
3	8.0	8.0	16
4	8.0	42.0	16

DATI GENERAZIONI LINEARI DI BARRE

N°Gen.	Numero assegnato alla singola generazione lineare di barre			
N°Barra Ini.	Numero della barra iniziale cui si riferisce la generazione			
N°Barra Fin.	Numero della barra finale cui si riferisce la generazione			
N°Barre	Numero di barre generate equidistanti cui si riferisce la generazione			
Ø	Diametro in mm delle barre della generazione			
N°Gen.	N°Barra Ini.	N°Barra Fin.	N°Barre	Ø

<p>GENERAL CONTRACTOR</p> 	<p>ALTA SORVEGLIANZA</p> 			
	Progetto	Lotto	Codifica	
	IN17	12	EI2CLSL2300003	A

1	1	4	3	16
2	3	2	3	16

CALCOLO DI RESISTENZA - SFORZI PER OGNI COMBINAZIONE ASSEGNATA

N	Sforzo normale [kN] applicato nel Baric. (+ se di compressione)
Mx	Momento flettente [kNm] intorno all'asse x princ. d'inerzia con verso positivo se tale da comprimere il lembo sup. della sez.
My	Momento flettente [kNm] intorno all'asse y princ. d'inerzia con verso positivo se tale da comprimere il lembo destro della sez.
Vy	Componente del Taglio [kN] parallela all'asse princ.d'inerzia y
Vx	Componente del Taglio [kN] parallela all'asse princ.d'inerzia x

N°Comb.	N	Mx	My	Vy	Vx
1	30.00	-35.00	0.00	0.00	0.00
2	20.00	-86.00	0.00	0.00	0.00

COMB. RARE (S.L.E.) - SFORZI PER OGNI COMBINAZIONE ASSEGNATA

N	Sforzo normale [kN] applicato nel Baricentro (+ se di compressione)
Mx	Momento flettente [kNm] intorno all'asse x princ. d'inerzia (tra parentesi Mom.Fessurazione) con verso positivo se tale da comprimere il lembo superiore della sezione
My	Momento flettente [kNm] intorno all'asse y princ. d'inerzia (tra parentesi Mom.Fessurazione) con verso positivo se tale da comprimere il lembo destro della sezione

N°Comb.	N	Mx	My
1	20.00	-25.00	0.00

COMB. FREQUENTI (S.L.E.) - SFORZI PER OGNI COMBINAZIONE ASSEGNATA

N	Sforzo normale [kN] applicato nel Baricentro (+ se di compressione)
Mx	Momento flettente [kNm] intorno all'asse x princ. d'inerzia (tra parentesi Mom.Fessurazione) con verso positivo se tale da comprimere il lembo superiore della sezione
My	Momento flettente [kNm] intorno all'asse y princ. d'inerzia (tra parentesi Mom.Fessurazione) con verso positivo se tale da comprimere il lembo destro della sezione

N°Comb.	N	Mx	My
1	20.00	-15.00 (-157.86)	0.00 (0.00)

COMB. QUASI PERMANENTI (S.L.E.) - SFORZI PER OGNI COMBINAZIONE ASSEGNATA



N	Sforzo normale [kN] applicato nel Baricentro (+ se di compressione)
Mx	Momento flettente [kNm] intorno all'asse x princ. d'inerzia (tra parentesi Mom.Fessurazione) con verso positivo se tale da comprimere il lembo superiore della sezione
My	Momento flettente [kNm] intorno all'asse y princ. d'inerzia (tra parentesi Mom.Fessurazione) con verso positivo se tale da comprimere il lembo destro della sezione

N°Comb.	N	Mx	My
1	20.00	-10.00 (-168.66)	0.00 (0.00)

RISULTATI DEL CALCOLO

Sezione verificata per tutte le combinazioni assegnate

Copriferro netto minimo barre longitudinali: 7.2 cm

GENERAL CONTRACTOR 		ALTA SORVEGLIANZA  GRUPPO FERROVIE DELLO STATO ITALIANE			
		Progetto	Lotto	Codifica	
		IN17	12	EI2CLSL2300003	A

VERIFICHE DI RESISTENZA IN PRESSO-TENSO FLESSIONE ALLO STATO LIMITE ULTIMO

Ver	S = combinazione verificata / N = combin. non verificata
N	Sforzo normale assegnato [kN] nel baricentro B sezione cls.(positivo se di compressione)
Mx	Componente del momento assegnato [kNm] riferito all'asse x princ. d'inerzia
My	Componente del momento assegnato [kNm] riferito all'asse y princ. d'inerzia
N Res	Sforzo normale resistente [kN] nel baricentro B sezione cls.(positivo se di compress.)
Mx Res	Momento flettente resistente [kNm] riferito all'asse x princ. d'inerzia
My Res	Momento flettente resistente [kNm] riferito all'asse y princ. d'inerzia
Mis.Sic.	Misura sicurezza = rapporto vettoriale tra (N r,Mx Res,My Res) e (N,Mx,My) Verifica positiva se tale rapporto risulta >=1.000
As Tesa	Area armature trave [cm ²] in zona tesa. [Tra parentesi l'area minima ex (4.1.15)NTC]

N°Comb	Ver	N	Mx	My	N Res	Mx Res	My Res	Mis.Sic.	As Tesa
1	N	30.00	-35.00	0.00	30.03	-185.19	0.00	5.29	20.1(9.0)
2	N	20.00	-86.00	0.00	19.81	-183.31	0.00	2.13	20.1(9.0)

METODO AGLI STATI LIMITE ULTIMI - DEFORMAZIONI UNITARIE ALLO STATO ULTIMO

ec max	Deform. unit. massima del calcestruzzo a compressione
x/d	Rapporto di duttilità [§ 4.1.2.1.2.1 NTC] deve essere < 0.45
Xc max	Ascissa in cm della fibra corrisp. a ec max (sistema rif. X,Y,O sez.)
Yc max	Ordinata in cm della fibra corrisp. a ec max (sistema rif. X,Y,O sez.)
es min	Deform. unit. minima nell'acciaio (negativa se di trazione)
Xs min	Ascissa in cm della barra corrisp. a es min (sistema rif. X,Y,O sez.)
Ys min	Ordinata in cm della barra corrisp. a es min (sistema rif. X,Y,O sez.)
es max	Deform. unit. massima nell'acciaio (positiva se di compress.)
Xs max	Ascissa in cm della barra corrisp. a es max (sistema rif. X,Y,O sez.)
Ys max	Ordinata in cm della barra corrisp. a es max (sistema rif. X,Y,O sez.)

N°Comb	ec max	x/d	Xc max	Yc max	es min	Xs min	Ys min	es max	Xs max	Ys max
1	0.00350	0.125	0.0	0.0	-0.00185	8.0	8.0	-0.02458	92.0	42.0
2	0.00350	0.124	0.0	0.0	-0.00188	8.0	8.0	-0.02475	92.0	42.0

POSIZIONE ASSE NEUTRO PER OGNI COMB. DI RESISTENZA

a, b, c	Coeff. a, b, c nell'eq. dell'asse neutro $aX+bY+c=0$ nel rif. X,Y,O gen.
x/d	Rapp. di duttilità (travi e solette)[§ 4.1.2.1.2.1 NTC]: deve essere < 0.45
C.Rid.	Coeff. di riduz. momenti per sola flessione in travi continue

N°Comb	a	b	c	x/d	C.Rid.
1	0.000000000	-0.000668579	0.003500000	0.125	0.700
2	0.000000000	-0.000672535	0.003500000	0.124	0.700



COMBINAZIONI RARE IN ESERCIZIO - MASSIME TENSIONI NORMALI ED APERTURA FESSURE (NTC/EC2)

Ver	S = comb. verificata/ N = comb. non verificata
Sc max	Massima tensione (positiva se di compressione) nel calcestruzzo [MPa]
Xc max, Yc max	Ascissa, Ordinata [cm] del punto corrisp. a Sc max (sistema rif. X,Y,O)
Ss min	Minima tensione (negativa se di trazione) nell'acciaio [MPa]
Xs min, Ys min	Ascissa, Ordinata [cm] della barra corrisp. a Ss min (sistema rif. X,Y,O)
Ac eff.	Area di calcestruzzo [cm ²] in zona tesa considerata aderente alle barre
As eff.	Area barre [cm ²] in zona tesa considerate efficaci per l'apertura delle fessure

N°Comb	Ver	Sc max	Xc max	Yc max	Ss min	Xs min	Ys min	Ac eff.	As eff.
1	S	1.27	0.0	0.0	-54.3	92.0	42.0	1262	10.1

COMBINAZIONI RARE IN ESERCIZIO - APERTURA FESSURE [§ 7.3.4 EC2]

La sezione viene assunta sempre fessurata anche nel caso in cui la trazione minima del calcestruzzo sia inferiore a f_{ctm}

GENERAL CONTRACTOR 		ALTA SORVEGLIANZA 			
		Progetto	Lotto	Codifica	
		IN17	12	EI2CLSL2300003	A

Ver.	Esito della verifica
e1	Massima deformazione unitaria di trazione nel calcestruzzo (trazione -) valutata in sezione fessurata
e2	Minima deformazione unitaria di trazione nel calcestruzzo (trazione -) valutata in sezione fessurata
k1	= 0.8 per barre ad aderenza migliorata [eq.(7.11)EC2]
kt	= 0.4 per comb. quasi permanenti / = 0.6 per comb.frequenti [cfr. eq.(7.9)EC2]
k2	= 0.5 per flessione; $=(e1 + e2)/(2*e1)$ per trazione eccentrica [eq.(7.13)EC2]
k3	= 3.400 Coeff. in eq.(7.11) come da annessi nazionali
k4	= 0.425 Coeff. in eq.(7.11) come da annessi nazionali
Ø	Diametro [mm] equivalente delle barre tese comprese nell'area efficace Ac eff [eq.(7.11)EC2]
Cf	Copriferro [mm] netto calcolato con riferimento alla barra più tesa
e sm - e cm	Differenza tra le deformazioni medie di acciaio e calcestruzzo [(7.8)EC2 e (C4.1.7)NTC] Tra parentesi: valore minimo = 0.6 Smax / Es [(7.9)EC2 e (C4.1.8)NTC]
sr max	Massima distanza tra le fessure [mm]
wk	Apertura fessure in mm calcolata = sr max*(e_sm - e_cm) [(7.8)EC2 e (C4.1.7)NTC]. Valore limite tra parentesi
Mx fess.	Componente momento di prima fessurazione intorno all'asse X [kNm]
My fess.	Componente momento di prima fessurazione intorno all'asse Y [kNm]

Comb.	Ver	e1	e2	k2	Ø	Cf	e sm - e cm	sr max	wk	Mx fess	My fess
1	S	-0.00034	0.00000	0.500	16.0	72	0.00016 (0.00016)	586	0.096 (990.00)	-150.16	0.00

COMBINAZIONI FREQUENTI IN ESERCIZIO - MASSIME TENSIONI NORMALI ED APERTURA FESSURE (NTC/EC2)

N°Comb	Ver	Sc max	Xc max	Yc max	Ss min	Xs min	Ys min	Ac eff.	As eff.
1	S	0.76	100.0	0.0	-28.6	8.0	42.0	1214	10.1

COMBINAZIONI FREQUENTI IN ESERCIZIO - APERTURA FESSURE [§ 7.3.4 EC2]



Comb.	Ver	e1	e2	k2	Ø	Cf	e sm - e cm	sr max	wk	Mx fess	My fess
1	S	-0.00018	0.00000	0.500	16.0	72	0.00009 (0.00009)	573	0.049 (0.20)	-157.86	0.00

COMBINAZIONI QUASI PERMANENTI IN ESERCIZIO - MASSIME TENSIONI NORMALI ED APERTURA FESSURE (NTC/EC2)



N°Comb	Ver	Sc max	Xc max	Yc max	Ss min	Xs min	Ys min	Ac eff.	As eff.
1	S	0.49	100.0	0.0	-15.9	71.0	42.0	1164	10.1

COMBINAZIONI QUASI PERMANENTI IN ESERCIZIO - APERTURA FESSURE [§ 7.3.4 EC2]

Comb.	Ver	e1	e2	k2	Ø	Cf	e sm - e cm	sr max	wk	Mx fess	My fess
1	S	-0.00010	0.00000	0.500	16.0	72	0.00005 (0.00005)	560	0.027 (0.20)	-168.66	0.00

GENERAL CONTRACTOR 		ALTA SORVEGLIANZA 			
		Progetto	Lotto	Codifica	
		IN17	12	EI2CLSL2300003	A

SEZIONE					
b_w	=	100	cm		
h	=	50	cm		
c	=	5	cm		
d	=	$h-c$	=	45	cm
MATERIALI					
f_{ywd}	=	391.30	MPa		
R_{ck}	=	40	MPa		
γ_c	=	1.5			
f_{ck}	=	$0.83 \times R_{ck}$	=	33.2	MPa
f_{cd}	=	$0.85 \times f_{ck} / \gamma_c$	=	18.81	MPa
ARMATURE A TAGLIO					
\varnothing_{st}	=	10			
braccia	=	3			
\varnothing_{st2}	=	0			
braccia	=	0			
passo	=	33	cm		
(A_{sw} / s)	=	7.140	cm^2 / m		
α	=	90	°	(90° staffe verticali)	
TAGLIO AGENTE		$V_{Ed} =$	70	(KN)	
SFORZO NORMALE		$N_{Ed} =$	0	(KN)	
		$\alpha_c =$	1.0000		
ELEMENTI CON ARMATURA A TAGLIO					
Calcolo di $\cot \theta$					
$\cot(\theta) =$	5.72				
$\theta =$	9.92 °				
$\cot \vartheta > 2,5$ Si assume $\vartheta = 21,8^\circ$					
Armatura trasversale					
$V_{Rsd} =$	282.88 (KN)				
$V_{Rcd} =$	1313.69 (KN)				
$V_{Rd} =$	283 (KN)				
	$\min(V_{Rsd}, V_{Rcd})$				

GENERAL CONTRACTOR 	ALTA SORVEGLIANZA 			
	Progetto IN17	Lotto 12	Codifica EI2CLSL2300003	A

9.7 VERIFICHE GEOTECNICHE

9.7.1 Verifica della capacità portante

La verifica a capacità portante del complesso fondazione – terreno è stata effettuata applicando la combinazione (A1+M1+R3) dell'Approccio 2, tenendo conto dei valori dei coefficienti parziali riportati nelle Tabelle 6.2.I, 6.2.II e 6.4.I delle NTC2008. I coefficienti γ_R sono riportati nella seguente tabella 6.4.I delle NTC08):

Tab. 6.4.I – Coefficienti parziali γ_R per le verifiche agli stati limite ultimi di fondazioni superficiali

Verifica	Coefficiente parziale
	(R3)
Carico limite	$\gamma_R = 2,3$
Scorrimento	$\gamma_R = 1,1$

La pressione limite puo' essere calcolata in base alla formula generale di Brinch Hansen (1970):

$$q_{lim} = 0.5 \cdot \gamma \cdot B N_{\gamma} s_{\gamma} i_{\gamma} b_{\gamma} g_{\gamma} + q \cdot N_q s_q d_q i_q b_q g_q + c N_c s_c d_c i_c b_c g_c$$

(valida in condizioni drenate)

$$q_{lim} = c_U N_c^* d_c^* i_c^* s_c^* b_c^* g_c^* + q$$

(valida in condizioni non drenate)

essendo

N_q, N_c, N_{γ} i fattori di capacità portante in condizioni drenate;

N_c^* il fattore di capacità portante in condizioni non drenate;

$s_{\gamma} s_q s_c$ i fattori di forma della fondazione;

$i_{\gamma} i_q i_c$ i fattori correttivi per l'inclinazione del carico;

$b_{\gamma} b_q b_c$ i fattori correttivi per l'inclinazione della base della fondazione;

$g_{\gamma} g_q g_c$ i fattori correttivi per l'inclinazione del piano campagna;

$d_{\gamma} d_q d_c$ i fattori correttivi per la profondità del piano di posa;



$d_c^* i_c^* s_c^* b_c^* g_c^*$ i fattori correttivi corrispondenti rispettivamente a quanto sopra esposto ma validi in condizioni non drenate.

In condizioni drenate valgono le seguenti espressioni:

$$N_q = \text{tg}^2(45 + \phi' / 2) * e^{(\sigma * \text{tg} \phi')}$$

$$N_c = (N_q - 1) / \text{tg} \phi'$$

$$N_{\gamma} = 1.5(N_q - 1) * \text{tg} \phi'$$

<p>GENERAL CONTRACTOR</p> 	<p>ALTA SORVEGLIANZA</p> 			
	<p>Progetto IN17</p>	<p>Lotto 12</p>	<p>Codifica EI2CLSL2300003</p>	<p>A</p>

$$i_{\gamma} = \left[1 - \frac{H}{N + B' \cdot c \cdot \cotg \phi'} \right]^{m+1}$$

$$i_{\xi} = i_c = \left[1 - \frac{H}{N + B' \cdot c \cdot \cotg \phi'} \right]^m$$

$$d_q = 1 + 2 \operatorname{tg} \phi' \cdot (1 - \sin \phi')^2 \cdot \frac{D}{B'} \quad \text{per } D/B' \leq 1$$

$$d_q = 1 + 2 \operatorname{tg} \phi' \cdot (1 - \sin \phi')^2 \cdot \operatorname{arctg} \left(\frac{D}{B'} \right) \quad \text{per } D/B' > 1$$

$$d_c = d_q - \frac{1 - d_q}{N_c \operatorname{tg} \phi'}$$

$$s_q = 1 + (B/2) \operatorname{tg} \phi'$$

$$s_{\gamma} = 1 - 0.4B/4$$

$$s_c = 1 + \frac{N_q B}{N_c L}$$

$$g_{\gamma} = g_q = (1 - 0.5 \operatorname{tg} \beta)^5$$

$$g_c = 1 - \beta^{\circ}/147^{\circ}$$

$$b_{\xi} = e^{(-2.7 \operatorname{tg} \phi')}$$

$$b_{\gamma} = e^{(-2.7 \operatorname{tg} \phi')}$$

$$\text{ove } \beta + \eta \leq 90^{\circ} \text{ e } \beta \leq \phi$$

In condizioni non drenate i fattori hanno le seguenti espressioni:

$$N_c^* = (2 + \pi)$$

$$s_c^* = 0.2 + \frac{B}{L}$$



$$i_c^* = \left[1 - \frac{mH}{B' c u N_c} \right]^m$$

$$d_c^* = 0.4 + \frac{D}{B} \quad \text{per } D/B \leq 1$$

$$d_c^* = 0.4 + \frac{\operatorname{tg}^{\eta} - 1 D}{B} \quad \text{per } D/B > 1$$

$$g_c^* = \beta^{\circ}/147^{\circ}$$

$$b_c^* = \eta^{\circ}/147^{\circ}$$

GENERAL CONTRACTOR 	ALTA SORVEGLIANZA 			
	Progetto IN17	Lotto 12	Codifica EI2CLSL2300003	A

Si sono indicate con:

- q = γ^*D = pressione verticale totale agente alla quota di imposta della fondazione;
 B' = larghezza efficace equivalente della fondazione;
 γ = peso di volume naturale del terreno;
 c_u = coesione non drenata;
 D = affondamento della fondazione;
 H = carico orizzontale agente.

Per valutare gli effetti dell'eccentricità è necessario inserire nell'equazione della capacità due dimensioni L' e B' ridotte secondo le:

$$L' = L - 2e_x$$



$$B' = B - 2e_y$$

dove B e L sono le reali dimensioni della fondazione e e_x e e_y sono le eccentricità.

Si riporta di seguito la verifica per la condizione più gravosa.

L'azione complessiva trasmessa al terreno dalla fondazione nella condizione più gravosa è pari a circa 319.5 kN per una striscia di larghezza unitaria e $319.5 \times 11.00 = 3515$ kN globalmente per la struttura in esame.

La verifica a capacità portante viene effettuata sia in termini di tensioni efficaci (L.T.) che di tensioni totali (B.T.).

GENERAL CONTRACTOR 		ALTA SORVEGLIANZA  GRUPPO FERROVIE DELLO STATO ITALIANE			
		Progetto	Lotto	Codifica	
		IN17	12	EI2CLSL2300003	A

Fondazioni Dirette
Verifica in tensioni efficaci

$$q_{lim} = c' \cdot N_c \cdot s_c \cdot d_c \cdot i_c \cdot b_c \cdot g_c + q \cdot N_q \cdot s_q \cdot d_q \cdot i_q \cdot b_q \cdot g_q + 0,5 \cdot \gamma \cdot B \cdot N_\gamma \cdot s_\gamma \cdot d_\gamma \cdot i_\gamma \cdot b_\gamma \cdot g_\gamma$$

D = Profondità del piano di appoggio

e_B = Eccentricità in direzione B ($e_B = Mb/N$)

e_L = Eccentricità in direzione L ($e_L = MI/N$) (per fondazione nastriforme $e_L = 0$; $L^* = L$)

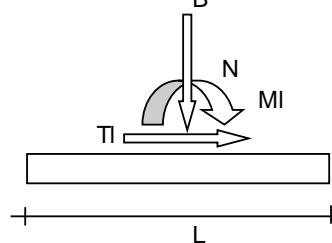
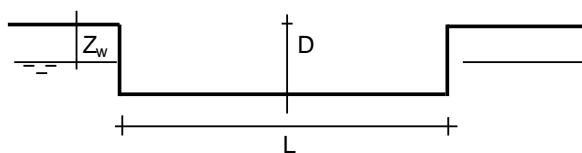
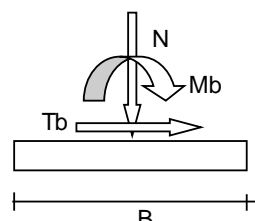
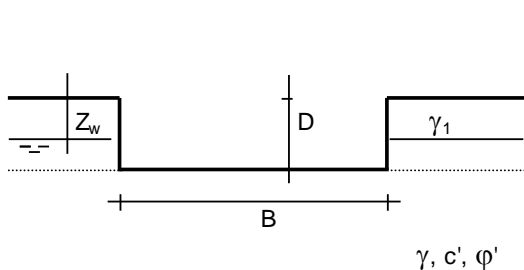
B^* = Larghezza fittizia della fondazione ($B^* = B - 2 \cdot e_B$)

L^* = Lunghezza fittizia della fondazione ($L^* = L - 2 \cdot e_L$)

(per fondazione nastriforme le sollecitazioni agenti sono riferite all'unità di lunghezza)

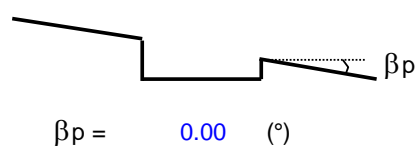
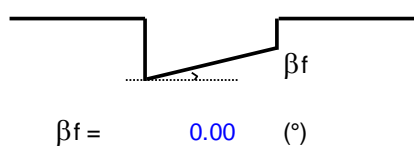
coefficienti parziali



Metodo di calcolo	azioni		proprietà del terreno		resistenze	
	permanenti	temporanee variabili	$\tan \varphi'$	c'	q_{lim}	scorr
Stato Limite Ultimo A1+M1+R3	1.30	1.50	1.00	1.00	2.30	1.10
SISMA	1.00	1.00	1.00	1.00	2.30	1.10
Definiti dal Progettista	1.00	1.00	1.00	1.00	2.30	1.10



(Per fondazione nastriforme $L = 100$ m)

B = 4.10 (m)
L = 11.00 (m)
D = 1.78 (m)



GENERAL CONTRACTOR 		ALTA SORVEGLIANZA 			
		Progetto	Lotto	Codifica	
		IN17	12	EI2CLSL2300003	A

AZIONI

	valori di input		Valori di calcolo
	permanenti	temporanee	
N [kN]	3515		3514.50
Mb [kNm]	435		434.50
MI [kNm]	0.00		0.00
Tb [kN]	463		463.10
TI [kN]	0.00		0.00
H [kN]	463.10	0.00	463.10

Peso unità di volume del terreno

$$\gamma_1 = 17.50 \quad (\text{kN/mc})$$

$$\gamma = 17.50 \quad (\text{kN/mc})$$

Valori caratteristici di resistenza del terreno

$$c' = 0.00 \quad (\text{kN/mq})$$

$$\varphi' = 26.00 \quad (^\circ)$$

Valori di progetto

$$c' = 0.00 \quad (\text{kN/mq})$$

$$\varphi' = 26.00 \quad (^\circ)$$

Profondità della falda

$$Z_w = 1.75 \quad (\text{m})$$

$$e_B = 0.12 \quad (\text{m})$$

$$e_L = 0.00 \quad (\text{m})$$

$$B^* = 3.85 \quad (\text{m})$$

$$L^* = 11.00 \quad (\text{m})$$

q : sovraccarico alla profondità D

$$q = 30.85 \quad (\text{kN/mq})$$

γ : peso di volume del terreno di fondazione

$$\gamma = 7.50 \quad (\text{kN/mc})$$

N_c, N_q, N_γ : coefficienti di capacità portante

$$N_q = \tan^2(45 + \varphi'/2) \cdot e^{(\pi \cdot \text{tg} \varphi')}$$



$$N_q = 11.85$$

$$N_c = (N_q - 1) / \tan \varphi'$$

$$N_c = 22.25$$

$$N_\gamma = 2 \cdot (N_q + 1) \cdot \tan \varphi'$$

$$N_\gamma = 12.54$$

<p>GENERAL CONTRACTOR</p> 	<p>ALTA SORVEGLIANZA</p> 			
	<p>Progetto IN17</p>	<p>Lotto 12</p>	<p>Codifica EI2CLSL2300003</p>	<p>A</p>

Sc, Sq, Sy : fattori di forma

$$s_c = 1 + B \cdot N_q / (L \cdot N_c)$$

$$s_c = 1.19$$

$$s_q = 1 + B \cdot \tan(\varphi') / L^*$$

$$s_q = 1.17$$

$$s_\gamma = 1 - 0,4 \cdot B^* / L^*$$

$$s_\gamma = 0.86$$

ic, iq, iy : fattori di inclinazione del carico

$$m_b = (2 + B^* / L^*) / (1 + B^* / L^*) = 1.74$$

$$\theta = \arctg(T_b/T_l) = 90.00 \quad (^\circ)$$

$$m_l = (2 + L^* / B^*) / (1 + L^* / B^*) = 1.26$$

$$m = 1.74 \quad (-)$$

(m=2 nel caso di fondazione nastroforme e m=(m_bsin²θ+m_lcos²θ) in tutti gli altri casi)

$$i_q = (1 - H/(N + B \cdot L^* \cdot c' \cdot \cotg(\varphi')))^m$$

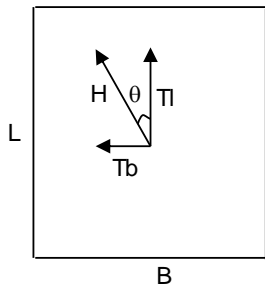
$$i_q = 0.78$$

$$i_c = i_q - (1 - i_q)/(N_q - 1)$$

$$i_c = 0.76$$

$$i_\gamma = (1 - H/(N + B \cdot L^* \cdot c' \cdot \cotg(\varphi')))^{(m+1)}$$

$$i_\gamma = 0.68$$



dc, dq, dy : fattori di profondità del piano di appoggio

per $D/B^* \leq 1$; $d_q = 1 + 2 D \tan(\varphi') (1 - \sin(\varphi'))^2 / B^*$

per $D/B^* > 1$; $d_q = 1 + (2 \tan(\varphi') (1 - \sin(\varphi'))^2) \cdot \arctan(D / B^*)$



$$d_q = 1.14$$

$$d_c = d_q - (1 - d_q) / (N_c \tan(\varphi'))$$

$$d_c = 1.16$$

$$d_\gamma = 1$$

$$d_\gamma = 1.00$$

GENERAL CONTRACTOR 	ALTA SORVEGLIANZA 			
	Progetto IN17	Lotto 12	Codifica EI2CLSL2300003	A

b_c, b_q, b_γ : fattori di inclinazione base della fondazione

$$b_q = (1 - \beta_f \tan\varphi')^2 \qquad \beta_f + \beta_p = 0.00 \qquad \beta_f + \beta_p < 45^\circ$$

$$b_q = 1.00$$

$$b_c = b_q - (1 - b_q) / (N_c \tan\varphi')$$

$$b_c = 1.00$$

$$b_\gamma = b_q$$

$$b_\gamma = 1.00$$

g_c, g_q, g_γ : fattori di inclinazione piano di campagna

$$g_q = (1 - \tan\beta_p)^2 \qquad \beta_f + \beta_p = 0.00 \qquad \beta_f + \beta_p < 45^\circ$$

$$g_q = 1.00$$

$$g_c = g_q - (1 - g_q) / (N_c \tan\varphi')$$

$$g_c = 1.00$$

$$g_\gamma = g_q$$

$$g_\gamma = 1.00$$

Carico limite unitario

$$q_{lim} = 488.18 \quad (\text{kN/m}^2)$$



Pressione massima agente

$$q = N / B^* L^*$$

$$q = 82.93 \quad (\text{kN/m}^2)$$

Verifica di sicurezza capacità portante

$$q_{lim} / \gamma_R = 212.25 \geq q = 82.93 \quad (\text{kN/m}^2)$$

GENERAL CONTRACTOR 	ALTA SORVEGLIANZA 			
	Progetto IN17	Lotto 12	Codifica E12CLSL2300003	A

VERIFICA A SCORRIMENTO

Carico agente

$$Hd = 463.10 \quad (\text{kN})$$



Azione Resistente

$$Sd = N \tan(\varphi') + c' B^* L^*$$

$$Sd = 1714.14 \quad (\text{kN})$$

Verifica di sicurezza allo scorrimento

$$Sd / \gamma_R = 1558.31 \geq Hd = 463.10 \quad (\text{kN})$$

GENERAL CONTRACTOR 		ALTA SORVEGLIANZA 			
		Progetto	Lotto	Codifica	
		IN17	12	EI2CLSL2300003	A

Fondazioni Dirette
Verifica in tensioni totali

$$q_{lim} = c_u \cdot N_c \cdot s_c \cdot d_c \cdot i_c \cdot b_c \cdot g_c + q \cdot N_q$$

D = Profondità del piano di appoggio

e_B = Eccentricità in direzione B ($e_B = M_b/N$)

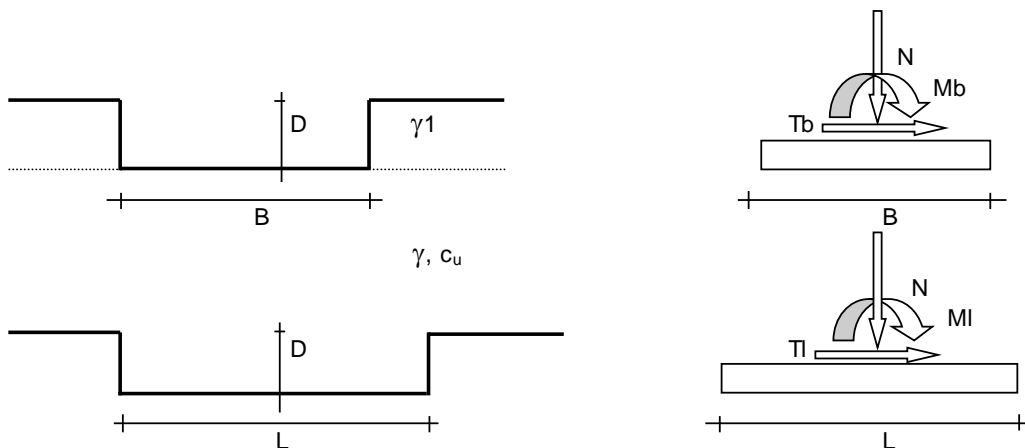
e_L = Eccentricità in direzione L ($e_L = M_l/N$) (per fondazione nastriforme $e_L = 0$; $L^* = L$)

B^* = Larghezza fittizia della fondazione ($B^* = B - 2 \cdot e_B$)

L^* = Lunghezza fittizia della fondazione ($L^* = L - 2 \cdot e_L$)

coefficienti parziali



Metodo di calcolo	azioni		proprietà del terreno	resistenze	
	permanenti	temporanee variabili	c_u	q_{lim}	scorr
Stato Limite Ultimo A1+M1+R3	1.30	1.50	1.00	2.30	1.10
SISMA	1.00	1.00	1.00	2.30	1.10
Definiti dal Progettista	1.00	1.00	1.00	2.30	1.10



(Per fondazioni nastriformi $L=100$ m)

- B = 4.10 (m)
- L = 11.00 (m)
- D = 1.78 (m)



<p>GENERAL CONTRACTOR</p> 	<p>ALTA SORVEGLIANZA</p> 			
	Progetto	Lotto	Codifica	
	IN17	12	EI2CLSL2300003	A

AZIONI

	valori di input		Valori di calcolo
	permanenti	temporanee	
N [kN]	3515		3514.50
Mb [kNm]	435		434.50
MI [kNm]	0.00		0.00
Tb [kN]	463		463.10
TI [kN]	0.00		0.00
H [kN]	463	0.00	463.10

Peso unità di volume del terreno

$\gamma_1 = 17.50$ (kN/mc)

$\gamma = 17.50$ (kN/mc)

Valore caratteristico di resistenza del terreno

$c_u = 33.00$ (kN/mq)

$e_B = 0.12$ (m)

$e_L = 0.00$ (m)

Valore di progetto

$c_u = 33.00$ (kN/mq)

$B^* = 3.85$ (m)

$L^* = 11.00$ (m)

q : sovraccarico alla profondità D

$q = 31.15$ (kN/mq)

γ : peso di volume del terreno di fondazione

$\gamma = 17.50$ (kN/mc)

Nc : coefficiente di capacità portante

$N_c = 2 + \pi$

$N_c = 5.14$

s_c : fattori di forma

$s_c = 1 + 0,2 B^* / L^*$

$s_c = 1.07$

i_c: fattore di inclinazione del carico

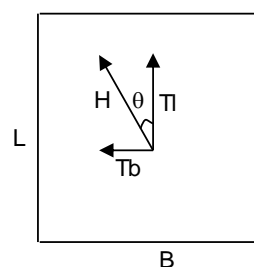
$m_b = (2 + B^* / L^*) / (1 + B^* / L^*) = 1.74$



$m_l = (2 + L^* / B^*) / (1 + L^* / B^*) = 1.26$

$\theta = \arctg(T_b/T_I) = 90.00$ (°)

$m = 1.74$

($m=2$ nel caso di fondazione nastriforme e $m=(m_b \sin^2\theta + m_l \cos^2\theta)$ in tutti gli altri casi)



<p>GENERAL CONTRACTOR</p> 	<p>ALTA SORVEGLIANZA</p> 			
	<p>Progetto IN17</p>	<p>Lotto 12</p>	<p>Codifica EI2CLSL2300003</p>	<p>A</p>

$$i_c = (1 - m H / (B^* L^* c_u N_c))$$

$$i_c = 0.89$$

d_c : fattore di profondità del piano di appoggio

per $D/B^* \leq 1$; $d_c = 1 + 0,4 D / B^*$

per $D/B^* > 1$; $d_c = 1 + 0,4 \arctan (D / B^*)$

$$d_c = 1.18$$

b_c : fattore di inclinazione base della fondazione

$$b_c = (1 - 2 \beta_f / (\pi + 2))$$

$$\beta_f + \beta_p = 0.00$$

$$\beta_f + \beta_p < 45^\circ$$

$$b_c = 1.00$$

g_c : fattore di inclinazione piano di campagna

$$g_c = (1 - 2 \beta_f / (\pi + 2))$$

$$\beta_f + \beta_p = 0.00$$

$$\beta_f + \beta_p < 45^\circ$$

$$g_c = 1.00$$

Carico limite unitario

$$q_{lim} = 222.08 \quad (\text{kN/m}^2)$$

Pressione massima agente

$$q = N / B^* L^*$$

$$q = 82.93 \quad (\text{kN/m}^2)$$

Verifica di sicurezza capacità portante

$$q_{lim} / \gamma_R = 96.56 \geq q = 82.93 \quad (\text{kN/m}^2)$$

VERIFICA A SCORRIMENTO

Carico agente

$$H_d = 463.10 \quad (\text{kN})$$



Azione Resistente

$$S_d = c_u B^* L^*$$

$$S_d = 1398.54 \quad (\text{kN})$$

Verifica di sicurezza allo scorrimento

$$S_d / \gamma_R = 1271.4 \geq H_d = 463.10 \quad (\text{kN})$$

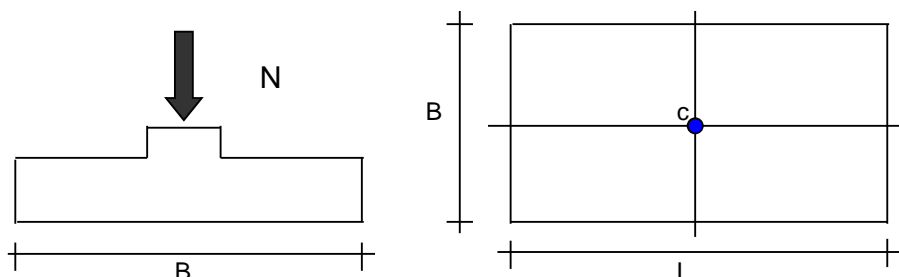
GENERAL CONTRACTOR 	ALTA SORVEGLIANZA 			
	Progetto IN17	Lotto 12	Codifica EI2CLSL2300003	A

9.7.2 Valutazione dei cedimenti

Si esibisce di seguito il calcolo dei cedimenti in fondazione dell'opera in esame.

CEDIMENTI DI UNA FONDAZIONE RETTANGOLARE

LAVORO:



Formulazione Teorica (H.G. Poulos, E.H. Davis; 1974)

$$\Delta\sigma_{zi} = (q/2\pi) * (\tan^{-1}((L/2)(B/2)/(zR_3)) + ((L/2)(B/2)z/R_3)(1/R_1^2 + 1/R_2^2))$$

$$\Delta\sigma_{xi} = (q/2\pi) * (\tan^{-1}((L/2)(B/2)/(zR_3)) - ((L/2)(B/2)z/R_3 R_1^2))$$



$$\Delta\sigma_{yi} = (q/2\pi) * (\tan^{-1}((L/2)(B/2)/(zR_3)) - ((L/2)(B/2)z/R_3 R_2^2))$$

$$R_1 = ((L/2)^2 + z^2)^{0.5}$$

$$R_2 = ((B/2)^2 + z^2)^{0.5}$$

$$R_3 = ((L/2)^2 + (B/2)^2 + z^2)^{0.5}$$

$$\delta_{ot} = \Sigma \delta_i = \Sigma (((\Delta\sigma_{zi} - \nu_i(\Delta\sigma_{xi} + \Delta\sigma_{yi})) \Delta z_i / E_i)$$

GENERAL CONTRACTOR 		ALTA SORVEGLIANZA 			
		Progetto	Lotto	Codifica	
		IN17	12	EI2CLSL2300003	A

DATI DI INPUT:

B = 4.10 (m) (Larghezza della Fondazione)

L = 11.00 (m) (Lunghezza della Fondazione)

N = 2484 (kN) (Carico Verticale Agente)



q = 55.07 (kN/mq) (Pressione Agente (q = N/(B*L)))

ns = 5 (-) (numero strati) (massimo 6)

Strato	Litologia	Spessore	da z _i	a z _{i+1}	Δz _i	E	v	δ _{ci}
(-)	(-)	(m)	(m)	(m)	(m)	(kN/m ²)	(-)	(cm)
1	3b	3.32	0.0	3.3	1.0	10000	0.30	0.93
2	6	5.00	3.3	8.3	1.0	80000	0.30	0.11
3	4	3.00	8.3	11.3	1.0	100000	0.30	0.03
4	2	2.50	11.3	13.8	1.0	30000	0.30	0.04
5	4	14.00	13.8	27.8	1.0	10000	0.30	1.35
-			0.0	0.0				-

$$\delta_{ctot} = 2.46 \text{ (cm)}$$

Il cedimento totale è pari a 2.46 cm.

GENERAL CONTRACTOR 	ALTA SORVEGLIANZA 			
	Progetto IN17	Lotto 12	Codifica EI2CLSL2300003	A

9.7.3 Verifica a sollevamento

In accordo con quanto prescritto nella normativa di riferimento NTC2008-§6.2.3.2, si riporta di seguito la verifica di sollevamento dell'opera, in quanto interessata dalla presenza della sottospinta idraulica (Verifica nei confronti degli stati limite ultimi idraulici).

I coefficienti parziali sulle azioni, per le verifiche di stabilità al sollevamento, sono indicati nella Tabella 6.2.III della normativa NTC2008.



Tabella 6.2.III – Coefficienti parziali sulle azioni per le verifiche nei confronti di stati limite di sollevamento.

CARICHI	EFFETTO	Coefficiente parziale γ_F (o γ_E)	SOLLEVAMENTO (UPL)
Permanenti	Favorevole	γ_{G1}	0,9
	Sfavorevole		1,1
Permanenti non strutturali ⁽¹⁾	Favorevole	γ_{G2}	0,0
	Sfavorevole		1,5
Variabili	Favorevole	γ_Q	0,0
	Sfavorevole		1,5

(1) Nel caso in cui i carichi permanenti non strutturali (ad es. i carichi permanenti portati) siano compiutamente definiti, si potranno adottare gli stessi coefficienti validi per le azioni permanenti.



Risulta quanto segue:

SOLLEVAMENTO (Verifiche nei confronti degli stati limite ultimi idraulici)				
Carico permanente strutturale G1				
Peso soletta fondazione			61.50	kN
Peso piedritti (x2)			38.75	kN
Peso piedritto centrale			0.00	kN
Coefficiente sicurezza			0.90	-
Carico permanente non strutturale G2				
Carico permanente TOT. Portato dalla soletta superiore			0.00	kN
Permanenti portati soletta inferiore			0.00	kN
Coefficiente sicurezza			0.80	-
Azione stabilizzante	PP	=	90.22	kN
Azione dell'acqua				
Quota Falda dalla quota di intradosso della fondazione			0.44	m
Larghezza totale del sottopasso			4.10	m
Sottospinta idraulica	SPW	=	18.04	kN
Coefficiente sicurezza			1.1	

GENERAL CONTRACTOR 	ALTA SORVEGLIANZA 			
	Progetto IN17	Lotto 12	Codifica EI2CLSL2300003	A

Fattore di sicurezza al sollevamento	FS	=	4.54	>	1
				Verificato	

La verifica al sollevamento dell'opera risulta soddisfatta.

GENERAL CONTRACTOR 	ALTA SORVEGLIANZA 			
	Progetto IN17	Lotto 12	Codifica E12CLSL2300003	A

10 DICHIARAZIONE SECONDO NTC2008 (§ 10.2)

Nel presente paragrafo si procede al controllo dei risultati derivanti dal modello di calcolo verificando che il momento agente al nodo fra piedritto e fondazione della sezione di calcolo 1 in condizione SLE corrisponda al valore che si ottiene dal calcolo di una mensola, considerando un vincolo di incastro alla base.

Sollecitazioni base piedritto		
Spinta statica terre (valore del carico triangolare alla base della mensola)	30.3	kN/m
Spinta sovraccarico variabile	3.8	kN/m

H piedritto	4.45	m
-------------	------	---

MEd	138.0	kNm
-----	-------	-----

Sollecitazioni base piedritto modello di calcolo		
Med	145.0	kNm

	MIN	MAX
BM2(kN.m)	-152.8532	152.8532
	[Bm.13]	[Bm.1]

